

10•2009

РАДИО

АУДИО•ВИДЕО•СВЯЗЬ•ЭЛЕКТРОНИКА•КОМПЬЮТЕРЫ



50!
лет

Краснодарскому радиотелевизионному
передающему центру
радиотелевизионному

ISSN-0033-765X



9 770033 765009 >



- AVIS – новая информационная система
- Высотомер
- Дистанционное управление компьютером
- Управление замками дверей автомобиля

...и еще 19 конструкций

10
2009

Министерство связи СССР

434

22 октября 1959

50 лет регулярному телевизионному вещанию на Кубани

В октябре 2009 г. исполняется 50 лет регулярному телевизионному вещанию на Кубани. Приказом Министерства связи РСФСР № 434 от 22.10.1959 г. строящийся в соответствии с Постановлением Совета Министров СССР от 15 сентября 1955 г. «О мерах по дальнейшему развитию телевизионного вещания в СССР» Краснодарский телевизионный центр был введен в постоянную эксплуатацию 15 октября 1959 г. Эта дата — день основания Краснодарского краевого радиотелевизионного передающего центра (Краснодарского КРТПЦ).

(см. статью на с. 4)



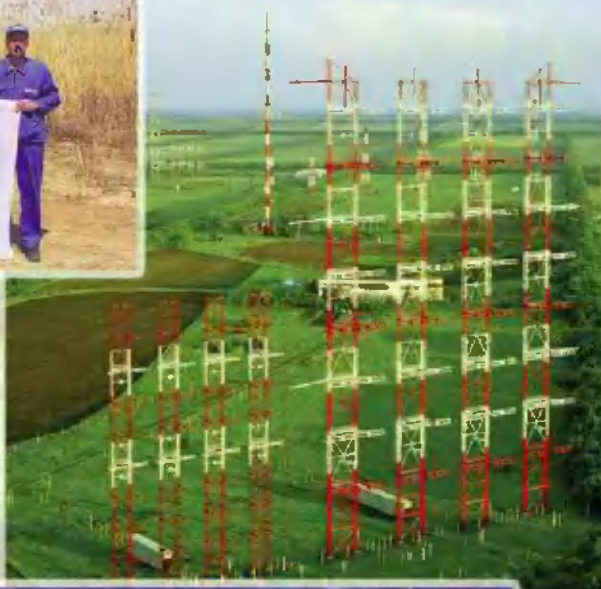
Валерий Иванович Булах — исполнительный директор Федерального государственного унитарного предприятия «Российская телевизионная и радиовещательная сеть» по филиалу «Краснодарский краевой радиотелевизионный передающий центр».

▼ Радиотелевизионная передающая станция г. Краснодара.



QSL карточка экспедиции на Каспийском море.

Кубанский радиоцентр, станица Тбилисская. Антenna система кв диапазона СГД-8/8 РАЖ.



ТЕЛЕВИДЕНИЕ И РАДИО РОССИИ
КРАСНОДАРСКИЙ КРАЕВОЙ РАДИОТЕЛЕВИЗИОННЫЙ ТЕРРЕНАЖОВЫЙ ЦЕНТР
Russian Television and Radio Broadcasting Network
Television and Radio Transmitting Centre of Krasnodar Territory

R6SRR

Special Event Station commemorating 50 years of membership in the IARU (Soviet Radioljubitelei Rossiya - National Amateur Radio Union) 10 years of membership in the IARU

Команда RZ6AZZ

В. Булах. 50 ЛЕТ РЕГУЛЯРНОМУ ТЕЛЕВИЗИОННОМУ ВЕЩАНИЮ НА КУБАНИ . . . 4

ВЫСТАВКИ 8

Д. Меркулов, В. Меркулов. СеBIT 2009 в ГАННОВЕРЕ: ИЗОБРЕТАТЕЛЬНЫЕ РЕШЕНИЯ 8

ВИДЕОТЕХНИКА 11

В. Дворкович, А. Дворкович, В. Иртюга. AVIS — НОВАЯ АУДИОВИЗУАЛЬНАЯ ИНФОРМАЦИОННАЯ СИСТЕМА 11

ЗВУКОТЕХНИКА 13

А. Сырица. ОСОБЕННОСТИ ИСПОЛЬЗОВАНИЯ УМЗЧ-ИТ С ДИНАМИЧЕСКИМИ ГРОМКОГОВОРИТЕЛЯМИ 13

Д. Горшенин, И. Рогов. СРАВНЕНИЕ КОНДЕНСАТОРОВ В КРОССОВЕРЕ АС 16

РАДИОПРИЕМ 19

П. Михайлов. НОВОСТИ ВЕЩАНИЯ 19

ИЗМЕРЕНИЯ 20

А. Бутов. ДВА ЗВУКОВЫХ ПРОБНИКА 20

ИСТОЧНИКИ ПИТАНИЯ 23

Г. Гаджиев. ЭЛЕКТРОННО-РЕЛЕЙНЫЙ РЕГУЛЯТОР НАПРЯЖЕНИЯ 23

КОМПЬЮТЕРЫ 24

Н. Хлопин. ИК ПРИЕМНИК ДЛЯ ДИСТАНЦИОННОГО УПРАВЛЕНИЯ КОМПЬЮТЕРОМ 24

МИКРОПРОЦЕССОРНАЯ ТЕХНИКА 26

П. Высочанский. ЕЩЕ РАЗ О ПРОВЕРКЕ HEX-ФАЙЛОВ 26

РАДИОЛЮБИТЕЛЬСКАЯ ТЕХНОЛОГИЯ 28

М. Сытник. СПОСОБ РЕМОНТА УЗЛА ПОДСВЕТКИ ЭКРАНА НЕКОТОРЫХ TFT МОНИТОРОВ И ПАНЕЛЕЙ НоУТБУКОВ 28

А. Горячкин. ВОССТАНОВЛЕНИЕ РАБОТОСПОСОБНОСТИ ВЕНТИЛЯТОРОВ 28

ПРИКЛАДНАЯ ЭЛЕКТРОНИКА 29

А. Шерстнев. GSM-“СТОРОЖ” 29

В. Суров. СИГНАЛИЗАТОР ДЛЯ ХОЛОДИЛЬНИКА 31

Д. Алхимов. БАРОМЕТРИЧЕСКИЙ ВЫСОТОМЕР 32

В. Костицын. ПРЕОБРАЗОВАТЕЛЬ ОДНОФАЗНОГО СЕТЕВОГО НАПРЯЖЕНИЯ В ТРЕХФАЗНОЕ ЧАСТОТОЙ 50..400 Гц 35

В. Марков. СНОВА ПРОЕКТ “НЕЗАБУДКА” 37

ЭЛЕКТРОНИКА ЗА РУЛЕМ 41

С. Байков. УПРАВЛЕНИЕ ЭЛЕКТРОЗАМКАМИ ДВЕРЕЙ АВТОМОБИЛЯ 41

В. Горбатых. ОСВЕЩЕНИЕ САЛОНА СВЕРХЪЯРКИМИ СВЕТОДИОДАМИ 43

“РАДИО” – НАЧИНАЮЩИМ 45

А. Пахомов. ПРОСТОЙ АВТОМАТ СВЕТОВЫХ ЭФФЕКТОВ НА МИКРОКОНТРОЛЛЕРЕ 45

А. Лечкин. МОДЕРНИЗАЦИЯ НОВОГОДНЕЙ ЕЛОЧКИ 46

А. Озюбикин. ПРОСТОЙ ТАЙМЕР ДЛЯ ЗУБНОЙ ЩЕТКИ 49

Д. Мамичев. ИГРУШКА “СПЕЦСИГНАЛ” 50

Д. Мамичев. КОЛОКОЛЬНЫЙ ЗВОН... ИЗ ЖЕСТКИХ ДИСКОВ 52

“РАДИО” – О СВЯЗИ 53

АЛЕКСАНДРУ СТЕПАНОВИЧУ ПОПОВУ ПОСВЯЩЕННЫЕ... 53

ИТОГИ СОРЕВНОВАНИЙ НА ДИАПАЗОНЕ 160 МЕТРОВ 54

А. Гаврилов. РАДИОМАЯК 55

А. Проскуряков. ЗАЩИТА АППАРАТУРЫ ОТ ПРЕВЫШЕНИЯ НАПРЯЖЕНИЯ ПИТАНИЯ 57

НАША “УКВ” ИСТОРИЯ 58

В. Васильев. ПОЛОСКОВЫЙ ДЕЛИТЕЛЬ МОЩНОСТИ С ЛИЦЕВОЙ СВЯЗЬЮ 59

НА ЛЮБИТЕЛЬСКИХ ДИАПАЗОНАХ 59

А. Голышко. ШАГИ В БУДУЩЕЕ: ВНОВЬ ОТКРЫВШИЕСЯ ОБСТОЯТЕЛЬСТВА 60

НАША КОНСУЛЬТАЦИЯ (с. 63). ОБМЕН ОПЫТОМ (с. 18, 27, 28). НА КНИЖНОЙ ПОЛКЕ (с. 44).
ДОСКА ОБЪЯВЛЕНИЙ (с. 1, 3, 16, 18, 22, 23, 28, 31, 34, 40, 44, 64).

На нашей обложке. Радиотелевизионная передающая станция г. Новороссийска (см. статью на с. 4).

**ЧИТАЙТЕ
В СЛЕДУЮЩЕМ
НОМЕРЕ:**

**УСИЛИТЕЛЬ ДЛЯ ДОМАШНЕГО ТЕАТРА
ГЕНЕРАТОР ЧАСТОТ ПРЯМОГО СИНТЕЗА
ДВУХКАНАЛЬНЫЙ ТЕРМОМЕТР-ТЕРМОСТАТ
МАРШРУТНЫЙ КОМПЬЮТЕР**

смотрели и жители г. Новороссийска через ретранслятор, установленный на перевале Главного Кавказского хребта.

Во второй половине октября 1959 г. часть нагрузки "Малого" телецентра была передана "Большому", и они стали работать поочередно. А 25 октября 1959 г. "Малый" телецентр прекратил свое существование, передав эстафету "Большому". Начался новый этап в развитии телевидения на Кубани — этап распространения телевизионного вещания по всей территории Краснодарского края.

Краснодарский КРТПЦ — этапы становления и развития

На момент пуска в постоянную эксплуатацию "Большого" телецентра в г. Краснодаре уже осуществляли вещание в Краснодарском крае мощный телецентр в г. Сочи, принятый в эксплуатацию приказом Министерства связи РСФСР № 178 от 28.04.1959 г., и любительский телецентр в г. Армавире.

учитывая то, что основным способом доставки программ являлся эфирный переприем, ретрансляторы устанавливались на труднодоступных площадках высоко в горах.

Уже к началу 1970 г., по инициативе городских и районных властей Краснодарского края и специалистов Краснодарского телецентра, были установлены 14 телевизионных ретрансляторов и программных телецентров в крупных городах и станицах Краснодарского края: в Новороссийске, Кропоткине и Темрюке — в 1961 г., Тихорецке и Майкопе — 1962 г., Анапе — 1963 г., ст. Отрадной — 1964 г., Лабинске (п. Красный Кут) — 1965 г., Ейске (п. Александровка) и Приморско-Ахтарске — 1967 г., ст. Каневской и п. Псебай — 1968 г., ст. Октябрьской — 1968 г., Геленджике — 1969 г.

В 1965 г. в г. Краснодаре была введена в эксплуатацию телевизионная передающая станция второй программы.

Развитие магистральных и зоновых радиорелейных линий (РРЛ) и создание

В Краснодарский край по магистральным РРЛ из Москвы были поданы две программы цветного телевидения. В это время за счет средств краевого бюджета построены мощные радиотелевизионные станции в ст. Каневской в 1978 г. и в г. Майкопе в 1980 г. с основными РРЛ из Краснодара. Большиной темпами осуществлялось строительство микроретрансляторов с присменными космическими станциями "Москва".

К началу 90-х годов Краснодарский КРТПЦ имел в эксплуатации 210 телевизионных, 24 радиовещательных передатчиков и 138 приемных космических станций "Москва".

Краснодарский КРТПЦ сегодня — инновационная стратегия и социальная направленность

В настоящее время Краснодарский КРТПЦ — крупнейшее подразделение в составе Федерального государственного унитарного предприятия "Российская



Радиотелевизионная передающая станция г. Сочи, вид со стороны порта.

История строительства телецентра в г. Сочи и развития передающей сети телевидения в горных районах Кубани и Черноморского побережья Краснодарского края — это отдельные страницы летописи создания телевидения в крае.

Достаточно сказать, что из-за сложного горного рельефа Черноморского побережья телевизионные ретрансляторы приходилось устанавливать фактически в каждом населенном пункте. А

космических каналов распределения программ по системе "Москва" в 70—80 гг. позволило значительно увеличить темпы развития передающих телевизионных сетей в стране, в частности и на Кубани.



Радиотелевизионная станция п. Красный Кут Мостовского района.

Радиотелевизионная передающая станция г. Новороссийска, антенная часть.



телевизионная и радиовещательная сеть".

Здесь трудятся 653 человека, большинство из которых — инженерно-технические работники. В эксплуатации находятся 624 телевизионных и радиовещательных передатчиков всех диапазонов: ДВ, СВ, КВ, УКВ, МВ, ДМВ и СВЧ (частоты от 1/1 кГц до 15 ГГц) мощностью от 1 Вт до 1200 кВт. Для организации каналов связи подачи телевизионных и радиовещательных программ на передающие станции Краснодарского КРТПЦ используются более 2500 км внутrizоновых РРЛ связи и около 360 наземных приемных космических станций цифрового стандарта, а также первая на Юге России распределительная спутниковая телерадиовещательная сеть с использованием ресурса ИСЗ "Интелсат-904" и земная станция спутниковой связи (ЗССС) "Краснодар".

Краснодарский КРТПЦ представляет собой территориально-распределенную структуру с подразделениями, расположенными на всей территории края от поселка Красная Поляна и городокурорта Сочи на Черноморском побережье до г. Ейска на побережье Азовского моря, от Отрадненского района в предгорьях Северного Кавказа до п. Тамань на западе и ст. Кущевская на севере Кубани. Для обеспечения населения Краснодарского края приемом телевизионных и радиовещательных программ в составе передающей сети функционируют более 170 радиопередающих станций, которые расположены и в крупных городах, и в маленьких горных и удаленных поселках.

В состав Краснодарского КРТПЦ также входят два уникальных объекта — Кубанский радиоцентр в Тбилисском районе (см. **фото на 2-й с. обложки**) и мощная радиотелевизионная передающая станция (РТПС) г. Новороссийска.

Кубанский радиоцентр — крупнейший в России передающий комплекс, обеспечивающий дальнее коротковолновое радиовещание на зарубежные страны Юго-Восточной Азии, Среднего и Ближнего Востока, Африки, Европы и

ление Краснодарским КРТПЦ целевой краевой "Программы развития государственной передающей сети телерадиовещания Краснодарского края" позволили обеспечить все население края уверенным приемом краевой телевизионной программы "Новое телевидение Кубани" ("НТК") и двух краевых стереофонических радиовещательных программ в ОВЧ-ЧМ (FM) диапазоне. С



"Винтокрылый монтажник" — монтаж антенной опоры радиотелевизионной передающей станции ст. Кущевская.

использованием самых современных технологий, в том числе космических, краевое телевидение и радио пришли в самые отдаленные, а также горные населенные пункты, где люди никогда не видели передач Краснодарского краевого телевидения и не слышали позывных краевого радио.

За время осуществления Программы построены 225 объектов телерадиовещания, установлены более 240 телевизионных и радиовещательных передатчиков мощностью от 1 Вт до 5 кВт, построена ЗССС в г. Краснодаре, установлены около 300 приемных космических станций цифрового вещания.

В процессе реализации краевой "Программы развития государственной передающей сети телерадиовещания Краснодарского края" Краснодарскому КРТПЦ при обеспечении финансирования со стороны ОАО "Южная телекоммуникационная компания" и поддержке Департамента по транспорту и связи Администрации Краснодарского края удалось решить вопрос развития сети эфирного вещания государственной программы "Радио России" с врезками радиостанции "Кубань". За короткий период выполнены работы по проектированию и установке на сети вещания "Радио России" дополнительно 24 ОВЧ-ЧМ передатчиков мощностью от 100 Вт до 1 кВт с использованием цифрового космического канала распределения радиовещательной программы на передающие станции, что позволило обеспечить гарантированный прием государственной программы более 95 % населения края.

С учетом прекращения вещания программы "Радио России" мощным радиовещательным передатчиком Кубанского радиоцентра в средневолновом диапазоне и значительно сокращения абонентской базы сетей проводного радиовещания эфирная сеть ОВЧ-ЧМ вещания стала единственным источником государственного радиовещания в регионе.

Дальнейшие перспективы развития эфирного телерадиовещания в Краснодарском крае (как и во всей Российской Федерации) связаны только с модернизацией действующей сети телерадиовещания и переводом телевизионной сети на цифровое вещание стандарта DVB-T, а радиовещательных сетей — на цифровое вещание стандарта DRM.

Созданная и функционирующая в Краснодарском крае уникальная передающая сеть телерадиовещания — эффективная платформа для перехода от аналогового телерадиовещания к цифровому. В настоящее время Краснодарский КРТПЦ осуществляет интенсивную подготовку к модернизации телевизионных и радиовещательных сетей — проводятся работы по созданию и обследованию опытных зон цифрового вещания синхронных одночастотных сетей в условиях горной местности, региональной коротковолновой сети цифрового радиовещания стандарта DRM, осуществляются интенсив-

ные мероприятия по подготовке персонала.

Весомый вклад в эффективное развитие Краснодарского КРТПЦ вносят радиолюбители — специалисты, для

Телевизионный микроретранслятор ст. Ярославская Мостовского района.



которых радио является и работой, и увлечением, и образом жизни. Руководство Краснодарского КРТПЦ уделяет значительное внимание подготовке молодого поколения — для детей специалистов Кубанского радиоцентра созданы и уже более 15 лет успешно функционируют классы производственного обучения по специальностям "монтажник радиоэлектронной аппаратуры и приборов" и "оператор ПЭВМ". Дети из подшефной школы проходят обучение по этим специальностям, начиная с 7-го класса и до окончания средней школы, со сдачей экзаменов и получением удостоверения.

На базе класса по подготовке монтажников создана и активно работает детская коллективная радиостанция РКБАУМ.

Гордость Краснодарского КРТПЦ — еще одна коллективная радиостанция — RZ6AZZ, занимающая второе место в России по рейтингу Союза Радиолюбителей России и ежегодно являющаяся победителем многих международных соревнований.

Успех радиостанции обеспечивает команда мастеров — на RZ6AZZ подготовлены 5 мастеров спорта России международного класса, 5 мастеров

спорта России и 2 кандидата в мастера спорта России.

С 2002 г. команда RZ6AZZ (см. **фото на 2-й с. обложки**) Краснодарского КРТПЦ приняла участие в 49 российских и 42 международных соревнованиях по радиосвязи на КВ и УКВ диапазонах и трижды занимала первое место в мире в международных соревнованиях Мира Мир CQ-M International DX Contest. Неоднократно RZ6AZZ занимала призовые места в кубках и чемпионатах Российской Федерации по радиосвязи на КВ телефоном и телеграфом, а в 2007 г. заняла первое место в национальных соревнованиях RUSSIAN DX Contest.

В июле 2009 г. команда Краснодарского КРТПЦ заняла второе место на первом очном чемпионате Российской Федерации по радиосвязи на УКВ в г. Орле.

Регулярно RZ6AZZ проводит экспедиции по программе IOTA на острова Черного, Азовского, Каспийского и Белого морей.

Контест позиция RZ6AZZ представляет собой загородный коротковолновый радиоцентр, обеспеченный гарантированным электропитанием, антенным парком на пяти свободностоящих башнях и двух мачтах высотой от 20 до 115 м, скоростным Интернетом, условиями для проживания и отдыха и т. д. Радиоцентр позволяет осуществлять работу одновременно с трех рабочих мест в круглосуточном режиме.

Главная ценность Краснодарского КРТПЦ — люди. Коллектив КРТПЦ складывался десятилетиями, квалификация специалистов наращивалась в процессе выполнения работ. И сегодня одна из главных мотиваций персонала Краснодарского КРТПЦ — возможность непрерывного повышения квалификации в условиях производства. Сложные решаемые задачи, рабочие места, оснащенные самым совершенным оборудованием, коллектизм и ответственность за порученное дело позволяют выращивать Краснодарскому КРТПЦ высококвалифицированных специалистов. В коллективе работают 6 "Мастеров связи РФ", 35 "Почетных радиостроителей СССР" и "Почетных радиостроителей России", 20 "Заслуженных работников связи Кубани" и один "Заслуженный работник связи России".

Телевидение и радиовещание представляют собой жизненно важную составляющую гражданского общества, и в связи с этим коллектив специалистов Краснодарского КРТПЦ прилагает максимум усилий для развития и эффективного эксплуатационного обслуживания передающей сети телерадиовещания Краснодарского края с целью ее соответствия уровню современных общественных требований.

Редакция поздравляет коллектив Краснодарского КРТПЦ с юбилеем и желает дальнейших творческих успехов!

CeBIT
3-8 MARCH 2009
HANNOVER
GERMANY

CeBIT 2009 в Ганновере: изобретательные решения

Д. МЕРКУЛОВ, В. МЕРКУЛОВ, г. Москва

Вводная часть. Очередная выставка CeBIT (Центр офисных и информационных технологий) состоялась 3–8 марта 2009 г. в столице германской земли Нижняя Саксония. Участвовать в ней пожелали 4300 компаний из 69 в основном европейских и азиатских стран. В пятерку государств-лидеров по числу присутствовавших фирм вошли Германия, Китай, Тайвань, Южная Корея и США. Выставку посетили порядка 400 тыс. специалистов и любителей электронной техники, из которых примерно 20 % — из-за рубежа.

Выступая на открытии, канцлер Германии А. Меркель заявила, что во время разразившегося кризиса проведение очередной Ганноверской выставки весьма кстати. По ее мнению, экспозиция посодействует своевременному продвижению в эксплуатацию новейших информационно-коммуникационных технологий (ИКТ), завершению в 2010 г. строительно-монтажных работ по подводке волоконно-оптических линий связи (ВОЛС) скоростного Интернета ко всем домам (730 тыс.) страны, укреплению экономики Германии и других государств.

В этом году обязанности партнера CeBIT принял на себя американский штат Калифорния, экономика которого по объему занимает восьмое место в мире. Ранее в этой роли побывали Франция, Россия, Индия, США (в лице всех штатов). Губернатор штата А. Шварценеггер также отметил актуальность и совместимость с кризисом научно-технической выставки. Он одобриительно высказался о полезности проведения уроков школьного образования посредством видеоканалов в Интернете. Следует напомнить, что впервые о передаче изображений по телефонным линиям в 1896 г. написал русский писатель А. И. Куприн (1870–1938) в повести "Молох": "Скоро мы будем видеть друг друга по проволоке на расстоянии сотен и тысяч верст!". Вместе с губернатором в Ганновер прибыли 50 ведущих калифорнийских компаний.

Участникам CeBIT заранее сообщили о пяти основных девизах выставки: 1. Webociety (словообразование от www и society, в переводе с англ. — вебсообщество) — бизнес-проекты и промышленные продукты, ориентированные на Интернет; 2. Mobility — новая генерация телефонных аппаратов, ноут- и нетбуков и навигационных систем, наиболее приспособленных для мобильного взаимодействия с Ин-

тернетом; 3. Security — информационная безопасность цифровых данных, циркулирующих в проводных и эфирных сетях; 4. EHealth — эффективные решения в здравоохранении; 5. Green IT — максимально возможное (до 90 %) применение в технических изделиях материалов, подлежащих переработке, не содержащих ртути при одновременном сокращении потребления ими электроэнергии. Каждому девизу по отбору экспонатов соответствовали около 10 тем, апробированных еще на предыдущей выставке [1].



Рис. 1



Рис. 2

германским семинаром "Поиск и подбор партнеров для международного сотрудничества" руководил председатель "Международного союза приборостроителей и специалистов по ИКТ", академик РАН, Н. А. Кузнецов, на одной из пресс-конференций российский министр связи и массовых коммуникаций И. О. Щеголев беседовал с иностранными журналистами (рис. 1).

Следует отметить, что активное участие в выставке 36-ти российских научно-технических центров предопределено высоким уровнем образования, исследовательских и опытно-конструкторских работ, сложившимся в стране еще в первой половине XX века и позднее, до сих пор оказывающим влияние на развитие в сфере полупроводниковиков, микрэлектроники и программирования. Достижнутые результаты, важнейшие события в истории радиоэлектроники России были рассмотрены на научно-практической конференции "60 лет отечественному транзистору", состоявшейся 4 июня 2009 г. в Московском НПП Пульсар [2]. Выступавшие отмечали, что начало применению полупроводников положили работы российского ученого и военного инженера А. С. Попова по созданию 110 лет назад первого детекторного радиоприемника. 14 июля 1899 г. считается официальной датой подачи А. С. Поповым прошения о выдаче патента на разработанный им приемник детепш с детектором звуковых колебаний и головными телефонами.

Сейчас в мире транзисторы выпускают (дискретно или интегрально, т. е. в составе микросхем) в количестве примерно 15 млрд штук на душу населения ежегодно. Первоплановой успехом полупроводниковых технологий стал созданный в 1971 г. микропроцессор [1] и его усложненная версия — микроконтроллер. Сегодня практически все передовые области человеческой деятельности не могут обойтись без разработок на основе микроконтроллеров. Все больше средств на

создание более совершенных микросхем с использованием нанотехнологий направляют развитые государства.

На CeBIT 2009 демонстрировали много интересных изделий потребительской электроники. Рассмотрим наиболее примечательные из них.

Российские государственные и коммерческие организации, университеты участвовали в CeBIT 16-й раз (при поддержке Минобрнауки и Минкомсвязи). Известные ученые и руководители проводили семинары-презентации и пресс-конференции. Например, российско-

Телевидение. Нидерландский концерн PHILIPS показал и стал позже выпускать очередной оригинальный FULL HD LCD телевизор "PHILIPS

"Motion" компенсации "зазубренных" линий и "дрожания" картинки. По мнению специалистов PHILIPS, качество ее повышается до уровня, обеспечивающего OLED (Organic Light-Emitting Diode) технологией [3].

Телевизор содержит УЗЧ с выходной мощностью 2x15 Вт, нагруженный четырьмя встроенными динамическими головками и двумя сабвуферами. Аппарат можно подключить к Интернету через предусмотренный интерфейс Ethernet (разъем RJ-45). Как и другие подобные фирменные модели, на прилегающей стене устройство создает меняющееся фоновое освещение "Ambilight Spectra" [4]. Изделие богато оснащено различными разъемами для соединения с другой цифровой и аналоговой медиатехникой. Потребляемая от электросети мощность — 201 Вт, габариты — 103x63x10,8 см, масса — 27,6 кг.

Еще PHILIPS приступил к серийному изготовлению ЖК монитора с диагональю экрана 56 см (22"), отличающегося дополнительной подсветкой голубого цвета по периметру экрана (рис. 3). Такая рекомендация получена от психолого-исследовательского центра одного из старейших в Нидерландах Университета Гронингена, основанного в 1614 г. Ученые подмечено, что световое обрамление помогает лучшей сосредоточенности внимания, снижает нагрузку на зрение. На экран монитора нанесено антибликовое покрытие. Разрешение экрана — 1680x1050 пкс, время отклика — 5 мс, габариты (с подставкой) — 52x43x20 см, масса — 4,88 кг.

В современные плоскопанельные ЖК и плазменные телевизоры устанавливаются соответственно уменьшенные динамические головки, способные не на очень качественное звуковое сопровождение. В японском объединении SHARP решили исправить это, сконструировав дополнительную акустическую систему (AC) в тумбке (подставке) под телевизором

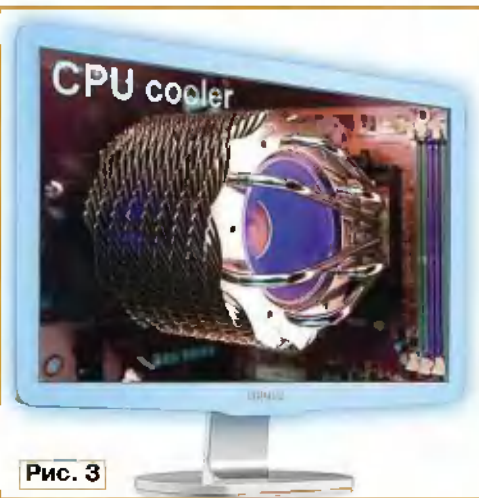


Рис. 3



Рис. 4

42PFL9803H LED LUX" с диагональю экрана 107 см (42") и задней подсветкой светодиодами LED (Light Emitting Diodes), объединенными по девять штук в 128 сегментов (рис. 2). В зависимости от светоотдачи какой-нибудь группы элементов экранной панели специализированный микропроцессор регулирует яркость свечения соответствующего сегмента, а также любого из девяти составляющих его светодиодов. Селективная подсветка привносит более тщательную проработку черного цвета и всей гаммы цветовых оттенков изображения. После выставки многие фирмы стали применять в своих аппаратах такую подсветку. Даже появился новый термин "LED TV". Кроме того, в аппарате залействована технология "Perfect Natural



(рис. 4). В результате получился компактный домашний кинотеатр (ДКТ) "Sharp AN-AR510", непохожий на изделия с разнесенными в пространстве звуковыми колонками (ЗК). В подставку вмонтирован усилитель, в ее середину — центральные динамические головки, под ними — сабвуфер. На рис. 5 показаны направления распространения звуковых волн от ЗК к слушателю. Суммарная выходная (пиковая) мощность АС — 485 Вт (сабвуфера — 230 Вт).

Подставка допускает размещение на полках дополнительной аппаратуры, соединяемой с УЗЧ посредством предусмотренных цифровых входов. Помещаемый сверху телевизор с экраном по диагонали 132 см (52") имеет встроенный плеер Blu-ray, совместимый с DVD.

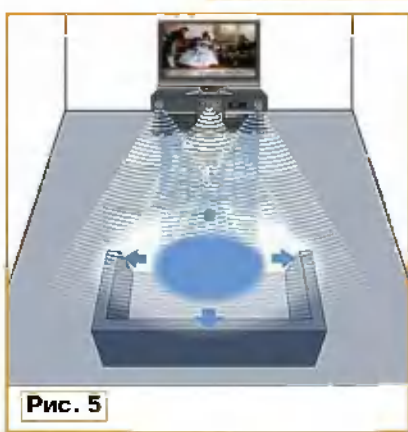


Рис. 6

a)



Рис. 7



Рис. 8

Запись с оптических дисков воспроизводится через АС подставки или телевизора (или совместно). Пульт ДУ рассчитан на подачу команд всем составляющим ДКТ. В объединении выпускают также комплект "Sharp AN-AR410" с АС пониженной мощности и меньшими габаритами для телевизора с диагональю экрана 107 см (42") и менее.

Более радикально повысить качество воспроизведения звука телевизионных программ и записей на Blu-ray, DVD и HDD носителях помогает соединение телевизора с отдельным внешним А/У усилителем. Многообразие выпускаемых серийно устройств велико. Среди них обращает внимание производимый японской компанией ONKYO относительно недорогой семиканальный ресивер (A/V УЗЧ вместе с УКВ приемником) "ONKYO HT-S5100". В комплект входят семь ЗК, сабвуфер, крепл-подставка под iPod и микрофон для подстройки АС к акустическому оформлению комнаты прослушивания (рис. 6). Ресивер обеспечивает суммарную выходную мощность 1200 Вт и коммутирует сигналов ТВВЧ качества FULL HD.

Южнокорейское объединение LG отметилось Blu-ray ДКТ "LG HB954TB" с усилителем, имеющим суммарную выходную мощность 1000 Вт и рассчитанным на присоединение к нему пяти ЗК и сабвуфера (рис. 7). Помимо воспроизведения с оптических дисков, ДКТ без использования компьютера можно подключить к Интернету для просмотра, например, множества фильмов и клипов американского видеосервиса "You Tube" (основанного в феврале 2005 г. и сейчас занимающего третье место в мире по посещаемости). С А/У комплектом этого ДКТ предусмотрено прямое соединение всех моделей "Apple iPhone/iPod".

Заметим, что многим экспертам не кажется многообещающим появление технологии Blu-ray на замену DVD и CD в домашней технике. В ближайшие годы с ней смогут конкурировать карты твердой памяти, которые все более массово применяют благодаря быстрому снижению различных цен. Они позволяют оперативно "скачивать" фильмы из бесплатных и платных цифровых хранилищ в Интернете.

Тайваньское объединение CHI MEI Optoelectronics впервые в мире демонстрировало ЖК панель QFHD (Quad Full HD) сверхвысокой четкости с экраном по диагонали 143 см (56") и разрешением 3840x2160 пикселей (рис. 8). Отметим, что и раньше на выставках с такими панелями, но меньшей площади, выступали специализированные компании из Японии.

Другая тайваньская компания COLLEVO показывала возможности использования сенсорной ЖК панели "i65" размером 166 см (65") по диагонали для применения в учебном процессе (рис. 9). На стенде панель поливали водой, чтобы показать надежность функци-



Рис. 9

ционирования ее не только в сухих помещениях, но и в уличных условиях, а также в ванных комнатах (на стене, потолке).

Еще большее сенсорное ЖК полотно с диагональю 254 см (100") демонстрировали сотрудники американской корпорации MICROSOFT (рис. 10). Устройство также адресуют как для учебного процесса, так и для заседаний и симпозиумов для отображения иллюстративной и текстовой информации.

Британская фирма AQUAVISION специально для ванных и душевых комнат наладила выпуск LCD телевизоров (стандарт HD) двойного назначения с диагоналями экранов от 26 (10,4") до 102 (40") см и толщиной не более 120 мм. Они оснащены УКВ тюнером и устройством подогрева,

устраняющим запотевание. В результате после выключения экран телевизора становится зеркалом.

Специалисты по микроэлектронике немецкого Фраунгофера института разработали и демонстрировали на СеBIT вариант сенсорного зеркала для ванной. Прикоснувшись к нему пальцем, можно получить на нем календарь значимательных дат и список ежедневных гигиенических и лечебных процедур, отрегулировать температуру водопроводной воды, управлять освещением в комнате.

Примечательным событием года в США стал полный переход на цифровое телевизионное вещание. Первоначально планировали аналоговое телевидение выключить 17 февраля. Однако из-за финансовых трудностей сделать это смогли 12 июня. Цифровые преобразователи (приставки) к действующим аналоговым телевизорам большинство американских семей получили бесплатно или по пониженной цене благодаря розданным ваучерам стоимостью 40 долл. США. Многомесячная эпопея вызвала повышенный спрос населения на современные цифровые телевизоры.

В Европе (и в России тоже) завершил полный переход на цифровое телевещание предполагают к 2015 г. в соответствии с соглашением, которое утвердили 104 страны в 2006 г. на специальной конференции Международного союза электросвязи в Женеве (Швейцария). Пока на континенте полностью в цифровом формате работает телевидение Финляндии.

В текущем году в США завершена еще одна значительная научно-техническая работа. Инженеры Лаборатории реактивных перемещений NASA (Национальное агентство по аэронавтике и исследованию космического пространства) совместно с партнерами из министерства промышленности и экономики Японии посредством спутниковой съемки отсняли миллионы кадров земной поверхности и сопоставили их с имеющимися в архивах материалами. После чего они впервые составили самую подробную карту Земли в электронном цифровом виде (Global Digital Elevation Map). Она охватывает часть сферы от 83° с. ш. до 83° ю. ш. (99% поверхности Земли, равной 510 072 тыс. км²). В цветном виде на 3D виртуальной карте фактически возможно разглядеть перепады высоты до 5 м, хотя формально ее разрешение объявлено равным 30 м. В Интернете карта доступна всем интересующимся.

ЛИТЕРАТУРА

- Меркулов Д., Меркулов В. СеBIT 2008: микропроцессоры INTEL — поступят технологии. — Радио, 2008, № 5, с. 4—8.
- Очерки истории российской электроники. Вып. 1. "60 лет отечественному транзистору", под ред. В. М. Пролейко. — М.: Техносфера, 2009.

- Меркулов В. CES 2008: цифровые реалии завтрашнего дня. — Радио, 2008, № 6, с. 6—10; № 7, с. 6—10.

- Меркулов В. IFA 2008 в Берлине: интересного много. — Радио, 2009, № 1, с. 6—9; № 2, с. 7—9.

(Окончание следует)

AVIS — новая аудиовизуальная информационная система

В. ДВОРКОВИЧ, доктор техн. наук; А. ДВОРКОВИЧ, В. ИРТЮГА,
г. Москва

В настоящее время в большинстве стран мира происходит весьма активный переход от аналоговых радио- и телевещания к цифровым. Цифровые технологии обеспечивают не только экономию ограниченного частотного ресурса, но и дают существенный выигрыш в номенклатуре и качестве беспроводной связи и вещания.

Россия не находится в стороне от этого магистрального направления. Как известно, Федеральной целевой программой "Развитие цифрового телерадиовещания в Российской Федерации на 2009—2015 годы" намечен повсеместный переход на "цифру" к 2015 г.

Но-нибудь постигло разочарование. Например, мобильное телевидение (DVB-H), представляющее собой разновидность стационарного и приспособленное для сотовых телефонов или специально сконструированных мобильных приемных устройств, имеет значительные ограничения при использовании в городе. Возможно, этот недостаток со временем будет устранен, если мобильное телевидение начнут развивать в России. Но на сегодняшний день никаких официальных документов по его внедрению (постановлений Правительства, решений ГКРЧ) еще не принимали.



Рис. 1

Уже давно определено, какие цифровое телевидение и радио нам нужны. Из возможных вариантов выбор пал на европейскую систему эфирного телевидения DVB-T, для которой отведены интервалы частот 174...230 МГц МВ и 470...862 МГц ДМВ, и на стандарт радиовещания DRM для ДВ, СВ и КВ.

Такое решение было непростым, так как на указанных частотах обеспечивается вещание аналогового телевидения, а в некоторых регионах, в том числе и Московском, работают системы транкинговой связи, используемой городским хозяйством, правоохранительными структурами и другими службами.

Очевидно, что для решения частотных вопросов без ущерба для всех заинтересованных сторон нужно время. Между тем население и бизнес с нетерпением ждут момента "цифровой истины" в виде качественно новых услуг и новых дивидендов, и не хочется, чтобы

следует отметить также, что при разработке цифрового телевидения исследовательские и вещательные организации не озабочились в полной мере проблемами цифровизации каналов стереофонического звукового радиовещания. Ведь интервал частот 87,5...108 МГц использован для так называемого FM-вещания (УКВ-2), а в интервале 66...74 МГц в России и странах СНГ применена разработанная еще в СССР система ЧМ-вещания (УКВ-1). С позиции использования радиочастот это представляется очень неэффективным и большим недостатком. Цель его устранения поставила перед собой группа российских ученых, которая впервые в мире предложила реализовать уникальную аудиовизуальную информационную систему AVIS.

Первые результаты по системе были закреплены патентом Российской Федерации № 2219676 с приоритетом от 08.11.2000. В нем рассмотрена возможность трансляции информационного телевидения, включающего дина-

мические цветные изображения со стереофоническим звуковым сопровождением.

На прошедшем в марте 2006 г. в Женеве конференции 6-й Исследовательской комиссии (ИК) МСЭ-Р на Рабочих группах (РГ) 6М и 6Е от России был представлен доклад "Повышение эффективности использования ОВЧ-диапазона частот" (док. МСЭ-Р 6Е/336-Е, 6М/133-Е). В нем и была описана система мобильного узкополосного мультимедийного вещания, получившая название AudioVisual Information System (AVIS). В документе указано, что она позволяет повысить эффективность использования диапазона ОВЧ (МВ), в частности, радиовещательных интервалов 66...74 и 87...108 МГц, предоставляя возможность в одном канале шириной всего 250 кГц передавать до 17 программ стереозвука высокого качества или видеопрограмму со стереофоническим звуковым сопровождением. Для сравнения отметим, что такой показатель эффективности использования частотных полос находится на уровне перспективных мобильных систем связи нового поколения. В результате AVIS оказывается в разы экономичнее аналоговых систем телевидения и радиовещания.

Как показали испытания, в условиях современной городской застройки при использовании радиоканала с шириной полосы 250 кГц система AVIS обеспечивает устойчивый мобильный прием.

Приоритет России в разработке этой информационной системы был зафиксирован в официальном документе конференции 6-й ИК МСЭ-Р в Сеуле (Южная Корея) в августе 2006 г. (док. МСЭ-Р 6М/150-Е), а также на конференции РГ 6Е 6-й МСЭ-Р в мае 2008 г. Описание AVIS было внесено в новую редакцию отчета МСЭ-Р BT.2049-2.

Система обладает характеристиками, которые указаны на 4-й с. обложки. Очевидно, что в интервале 66...74 МГц может быть размещено до 32-х каналов системы AVIS, а в интервале 87,5...108 МГц — до 82-х.

В своих поисках авторы использовали результаты теоретических и экспериментальных исследований, проведенных в начале 90-х годов прошлого века сибирскими учеными и касающихся особенностей распространения МВ в городских условиях с плотной застройкой. Исследователями были открыты закономерности работы подвижных систем связи при нестабильных характеристиках сигнала, которым относят затухание вдоль трассы, статистику распределения амплитуд, многолучевость, временные задержки, размытие спектра, доплеровский сдвиг.

Для передачи сигнала в системе AVIS применен метод OFDM (Orthogonal frequency division multiplex), принцип которого состоит в формировании спектра сигнала из множества ортогональных несущих, каждая из которых представляет собой отдельный информационный канал. Передача информации по каждому такому каналу обеспечивается модуляцией амплитуды и

фазы несущей частоты. Сигнал представляет собой последовательность символов OFDM, образующих кадры. Символы несут полезную нагрузку и выполняют защитные функции, т. е. содержат дополнительную информацию, не зависящую от полезных сведений. Дополнительная информация служит для оценки канала и коррекции возможных искажений амплитуды и фазы радиосигнала, а также для синхронизации в приемнике.

С целью обеспечения эффективности системы передачи необходимо сжатие аудио- и видеосигналов. В AVIS использованы собственные реализации передовых стандартов аудио- и видеокомпрессии: HE-AAC и AVC соответственно. Так, благодаря применению стандарта аудиокомпрессии HE-AAC удалось добиться передачи по низкоскоростным каналам какmono-, так и стереофонического звукового сигнала высокого качества, сравнимого с записями на компакт-диске (CD). Вариант видеокомпрессии AVC оказался лучшим из стандартизованных. При этом благодаря использованию ряда новых технологий и модифицированных старых методов удалось улучшить эффективность компрессии на 30...50 %. При создании видеокодера были разработаны новые специальные алгоритмы быстрой обработки видеоинформации.

В результате при скорости передачи звуковой информации 24 кбит/с качество воспроизведения звука получается не ниже качества радиовещания на УКВ, воспроизведение же цветных динамических изображений — на уровне качества домашнего видеомагнитофона VHS при цифровом потоке около 400 кбит/с. При этом вместе с видеоинформацией или вместо нее можно передавать несколько стереофонических звуковых программ.

Интервалы частот, используемые в AVIS, позволяют на одной и той же частоте в разных городах передавать различные программы. При этом радиус уверенного приема сигнала передатчика остается довольно большим. Это необходимо для обслуживания удаленных пунктов, где невозможно обеспечить вещание другим способом.

Следует указать, что в системе можно применить технологию иерархической модуляции. Она обеспечивает передачу основной и уточняющей информации. При этом прием основной информации происходит всегда, даже если дополнительная информация не может быть принята из-за большого уровня помех в канале. Очевидно, что основной информацией служат звуковые и видеосигналы, а дополнитель-

ной — уточняющая информация для повышения качества воспроизведения изображений.

С целью повышения эффективности вполне целесообразно применить способ разнесенного приема. Установка нескольких штыревых антенн на движущемся транспорте не представляет никаких проблем, тем более что используются радиоволны длиной от 3 до 4,5 м.

Для практической проверки основных характеристик системы AVIS были разработаны и собраны блоки пере-

На 4-й с. обложки показаны передатчик и спектроанализатор с измерителем мощности, по которым контролировали параметры передаваемого сигнала.

Приемный комплекс системы разместили в легковой автомашине (рис. 3), на крыше которой находилась штыревая антенна длиной 43 см. Маршрут движения автомобиля проходил по Садовому кольцу Москвы с выездом в Подмосковье и фиксировался установленной в машине системой глобального позиционирования GPS.

В результате для реализованного режима работы удалось добиться высокого качества изображения, воспроизводимого на экране приемного устройства. При этом максимально удаленная точка устойчивого приема находилась на расстоянии 21,5 км от передатчика.

Следовательно, можно сделать обоснованный вывод о том, что AVIS обладает большими возможностями по передаче видео- и звуковой информации. Кроме того, получается существенная экономия ограниченного частотного ресурса, что представляется большим преимуществом при создании и внедрении новых цифровых систем в диапазоне МВ.

Резюмируя, можно утверждать, что новая система позволяет обеспечить информационное телевещание и многопрограммное звуковое стереовещание на мобильные приемные устройства как в сложных условиях города, так и в горной местности или густых лесных массивах. При минимальных капитальных и эксплуатационных затратах с уже существующим частотным распределением возможны создание высококачественных систем интерактивного цифрового телевидения, принципиально новых интерактивных систем изучения общественного мнения, обеспечение органов государственной власти каналами оповещения, организацию доступа в Интернет для городских и сельских школ и др. Во внедрении подобных систем могут быть заняты различные организации: от операторов стереофонического радиовещания до силовых ведомств, банковских структур, предприятий городского и междугородного транспорта.

Остается только окончательно разработать и изготовить аппаратуру для серийного выпуска и внедрить отечественную систему.

Редактор — А. Михайлов,
иллюстрации предоставлены авторами

Рис. 2

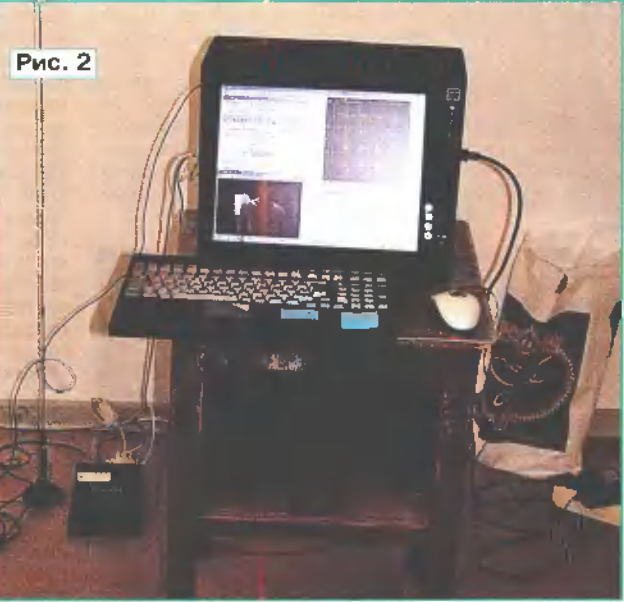


Рис. 3



Особенности использования УМЗЧ-ИТ с динамическими громкоговорителями

А. СЫРИЦО, г. Москва

Многими аудиофилами отмечается улучшение качества звукоизведения динамическими громкоговорителями при возбуждении их от усилителя с повышенным выходным сопротивлением. В ряде статей нашего журнала были предложены усилители с высоким или регулируемым выходным сопротивлением. В предлагаемой автором статье представлены способы достижения токового управления громкоговорителем, в том числе с оригинальной мостовой схемой комбинации усилителей с низким и высоким выходным сопротивлением. Простой вариант вполне пригоден для многих радиолюбительских конструкций, более сложный — для мощных усилителей высокой эффективности.

Несмотря на достоинства усилителей мощности с высоким выходным сопротивлением — источников тока (УМЗЧ-ИТ) в улучшении качества звукоизведения динамическими громкоговорителями [1], они не получили заметного распространения. Этому также способствовали и мнения в нецелесообразности их использования совместно с высококачественными электродинамическими головками (ЭДГ), отличающимися малыми нели-

нейственными искажениями тока через звуковую катушку [2]. Однако практика автора подтверждает высокую эффективность применения УМЗЧ-ИТ и с такими головками, так как в этом случае заметное улучшение качества звукоизведения достигается за счет существенного уменьшения противоЖС звуковой катушки ЭДГ в цепи общей ООС.

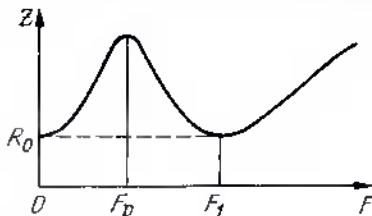


Рис. 1

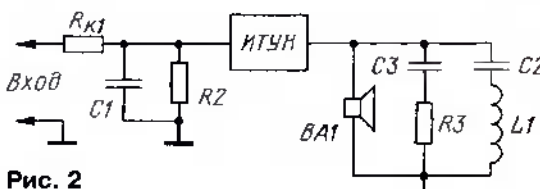


Рис. 2

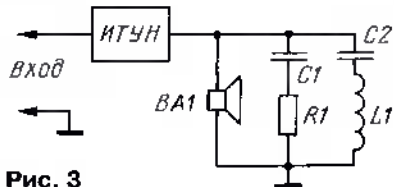


Рис. 3

нейными искажениями тока через звуковую катушку [2]. Однако практика автора подтверждает высокую эффективность применения УМЗЧ-ИТ и с такими головками, так как в этом случае заметное улучшение качества звукоизведения достигается за счет существенного уменьшения противоЖС звуковой катушки ЭДГ в цепи общей ООС.

Для анализа возможных вариантов коррекции целесообразно воспользоваться известной типовой зависимостью импеданса Z головки от частоты, показанной на рис. 1, где F_p — резонансная частота; F_1 — частота минимального импеданса звуковой катушки ЭДГ.

На основании рис. 1 можно выделить две необходимые частотные области коррекции: на НЧ — для частот $F < F_1$; на ВЧ — для частот $F > F_1$. Эта коррекция в усилителе возможна различными способами — как с применением дополнитель-

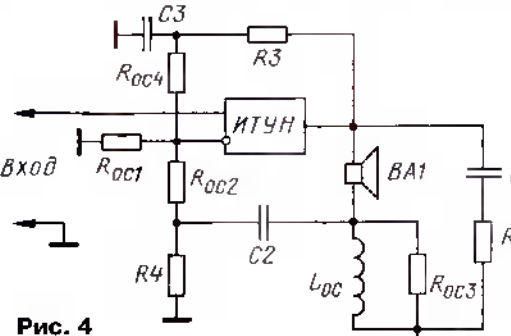


Рис. 4

ной ООС, так и без нее. В качестве примера на рис. 2 и 3 приведены два варианта коррекции на выходе ИТУН. Общим для них является включение

параллельно ЭДГ (BA1) последовательного колебательного контура $L1C2$, который обеспечивает одновременно и необходимую коррекцию АЧХ на частотах ниже F_1 , и демпфирование ЭДГ. Цепь $R3C3$ в схеме рис. 2 ограничивает усиление за границами диапазона звуковых частот. Схемы на рис. 2 и 3 отличаются местом включения корректирующего фильтра АЧХ — на входе ФНЧ ($R1R2C1$ на рис. 2) или на выходе ($R1C1$ на рис. 3). Существенный недостаток обоих вариантов — значительное снижение эффективности использования ИТУН на частотах ниже F_1 из-за отбора значительной части выходного тока через фильтр $L1C2$. Кроме того, коррекция по схеме рис. 2 отличается увеличенным уровнем шумов и нелинейных искажений на частотах выше F_1 , а схема рис. 3 — значительным снижением эффективности использования ИТУН на частотах выше F_1 из-за цепи $R1C1$. Вследствие указанных недостатков эти схемы коррекции находят весьма ограниченное применение.

Существенно лучше результат достигается с более сложными схемами коррекции, при использовании комбинации цепей ООС по току и напряжению. В качестве примера на рис. 4 показан усилитель как ИТУН, для которого ООС по току образована звеном $L_{OC}R_{OC3}$ и ФВЧ ($C2R4, R_{OC2}, R_{OC1}$), а цепь ООС по напряжению — ФНЧ ($R3, C3$) и R_{OC4}, R_{OC1} . Резистор R_{OC1} является общим для всех цепей ООС. Элементы $R1C1$ здесь выполняют те же функции, что и в схеме рис. 3. Функции ООС в схеме рис. 4 распределены следующим образом: ООС по току корректирует АЧХ на частотах выше F_1 , а ООС по

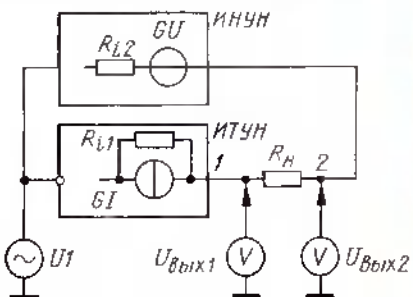


Рис. 5

напряжению снижает выходное сопротивление усилителя на частотах ниже F_1 , обеспечивая одновременно коррекцию АЧХ и демпфирование ЭДГ.

Применение УМЗЧ-ИТ с цепями коррекции по рис. 4 обеспечивает высокое качество звучания даже с недорогими ЭДГ [1], поэтому она может быть рекомендована к самому широкому применению.

Обычно при частотной коррекции УМЗЧ-ИТ по схемам рис. 2—4 в них используют двухтактный выходной каскад в режиме класса АВ. Однако известно, что наиболее узкий спектр гармоник достигается

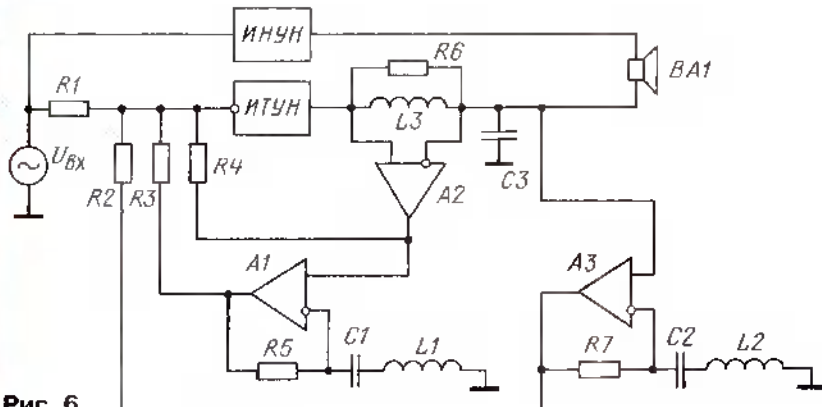


Рис. 6

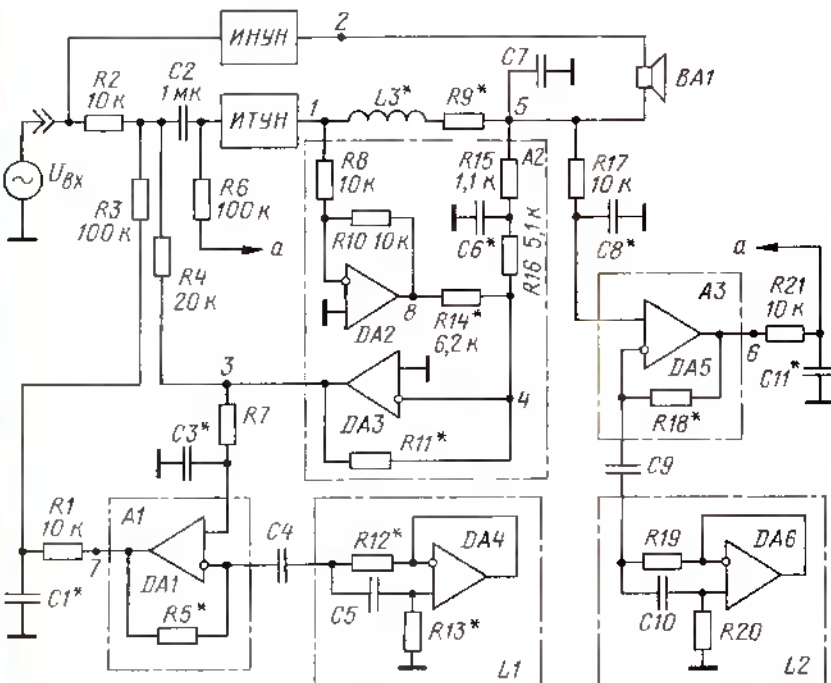


Рис. 7

только при реализации режима работы выходного каскада ИТУН в классе А, но их низкий КПД является препятствием к их практическому применению.

В [4] предложен вариант усилителя, в котором возможно совмещение высокого КПД и токового управления ЭДГ. Общая структура этого устройства показана на рис. 5, где U1 — источник входного сигнала (U_{bx}); R₁ и R₂ — выходные сопротивления соответственно источника тока ИТУН (инвертирующего фазу) и источника напряжения, управляемого напряжением, — ИНУН (без инверсии фазы); R₄ — сопротивление нагрузки. Особенность устройства по схеме рис. 5 заключается в том, что на выходе ИТУН (в точке 1) наблюдается практический полное отсутствие напряжения сигнала при выполнении условий:

$$R_1 \gg R_2 \gg R_4; \quad (1)$$

$$I_{\text{выход ИТУН}} = U_{\text{выход 2}} / R_4; \quad (2)$$

$$\varphi_1 - \varphi_4 = 0, \quad (3)$$

где φ_1 , φ_4 — фазы тока и напряжения в нагрузке при отсутствии сдвига фазы

проводится очень просто — переводом в режим работы “до модернизации”, замыкая выход ИТУН на общий провод.

На рис. 6 приведен вариант структурной схемы комбинированной ООС, при реализации идеи по схеме рис. 5, где имеются две цепи ООС по току, одна из которых корректирует АЧХ при F > F₁ (см. рис. 1) и содержит датчик тока L₃R₆, инструментальный усилитель A₂, резисторы R₄, R₁, другая — корректирует АЧХ на частотах ниже F₁ и состоит из усилителя A₁ с элементами коррекции в виде контура L₁C₁ и резисторов R₃, R₁. Цепь ООС по напряжению образована усилителем A₃ с целью коррекции, аналогичной для A₁, и резисторами R₂, R₁. В этой схеме уменьшение выходного сопротивления на частотах ниже F₁ значительно ослаблено из-за малого напряжения сигнала на выходе ИТУН. Включение конденсатора C₃ снижает усиление на ВЧ, что обеспечивает необходимый запас по устойчивости к генерации.

Выбор значений L₃ и R₆ производят с учетом обеспечения высокого КПД и соотношений

$L_3 / L_{3k} = R_6 / R_{3k} = 1 / (10...20)$
при условии $R_6 \gg R_{3k}$, где L_{3k} и R_{3k} — соответственно индуктивность и активное сопротивление звуковой катушки ЭДГ; R_{13} — активное сопротивление катушки L₃.

Полная схема цепей частотной коррекции, соответствующая структурной схеме по рис. 6, приведена на рис. 7, где усилитель A₂ реализован на двух ОУ DA2 и DA3, A₁ — на DA1, A₃ — на DA5. Индуктивности L₁ и L₂ выполнены на гираторах в соответствии с известной реализацией, иллюстрированной на рис. 8. Здесь ОУ DA1 должен обладать достаточным запасом устойчивости при $K_V = 1$ и быть широкополосным. Для правильной коррекции АЧХ и демпфирования ЭДГ последовательные колебательные контуры L₁C₁ и L₂C₂ (см. рис. 6) должны быть настроены на частоту резонанса используемой ЭДГ с добротностью, соответствующей час-

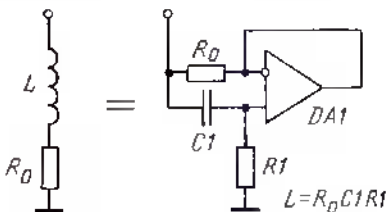


Рис. 8

тотным изменениям ее импеданса (рис. 9). При выборе емкости конденсатора C₁ следует учитывать, что форма АЧХ выше частоты F_p и имеет сильную зависимость от отношения емкостей C_k/C₁ в гираторе. Для практических целей достаточно иметь C_k/C₁ ≥ 10. Частота основного резонанса используемой в полосе СЧ ЭДГ обычно находится в интервале 50...100 Гц, и поэтому целесообразно выбирать C_k ≈ 1 мкФ, C₁ = 0,1 мкФ, а подгонку параметра L₁ производить уточнением сопротивления резистора R₁ (см. рис. 8).

Функции дополнительных цепей коррекции: элементы R17, C8, R21, C11 предназначены для уменьшения влияния цепи ООС по напряжению на АЧХ в области выше F1; элементы R7, C3, R1, C1 — для уменьшения влияния цепи ООС по току на АЧХ в той же области частот. Примененное для узла A2 схемное решение обеспечивает высокий коэффициент ослабления синфазного сигнала (K_{OCC}) в широком диапазоне частот. Усилитель на DA2 инвертирует сигнал с единичным усилением, а суммирование сигналов производится в точке 4 через резисторы R14 и R15, R16. ФНЧ R15C6 обеспечивает сохранение значения K_{OCC} на высоких частотах и устойчивость к генерации на ВЧ.

К недостаткам этой реализации узла A2 относится потеря сигнала на 6 дБ при суммировании сигналов в точке 4 и выполнении равенства $R14 = R15+R16$.

Теперь о выборе коэффициентов передачи для узлов ИНУН и ИТУН.

Улучшение качественных характеристик введением ООС в усилителе обратно пропорционально его результирующему коэффициенту усиления, поэтому для ИНУН выбрано значение $K_u = 5$. При этом чувствительность УМЗЧ при мощности 25 Вт на сопротивлении нагрузки 8 Ом равна 2,82 В, а при мощности 50 Вт — 4 В, что обеспечит для него высокое отношение сигнал/шум и достаточный запас по перегрузке предварительного усилителя. Для ИТУН это значение коэффициента передачи соответствует области частот минимального импеданса (см. F1 на рис. 1) с введенной ООС. Ее глубину не следует выбирать более 10...15 дБ вследствие снижения устойчивости из-за значительного увеличения дополнительной корректирующей ООС на частотах выше F1.

Рекомендации по налаживанию УМЗЧ-ИТ по схеме на рис. 7. Все регулировки производят в условиях отсутствия перегрузки на выходах всех операционных усилителей и узла ИТУН. В целях обеспечения удобства при настройке глубины ООС следует временно ввести три дополнительных переменных резистора R_a , R_b , R_c , включив их в соответствии с рис. 10 и установив движки в нижнем по схеме положении (отсутствие ООС). При налаживании сопротивление резисторов R5, R11, R18 выбирают в интервале 50...60 кОм, а в позиции R14 устанавливают подстроечный резистор (10 кОм) в реостатном включении на сопротивление, близкое к 6,2 кОм. Порядок следующий.

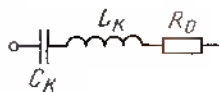
1. Установка величины K_{OCC} .

Выход громкоговорителя BA1 отключают от выхода ИНУН и соединяют его с общим проводом, а цепь L3R9 временно замыкают перемычкой. К выходу DA3 подключают вольтметр переменного напряжения.

Затем следует подать на ИТУН входной сигнал частотой 1 кГц и напряжением, соответствующим выходному с амплитудой 1 В, и подстройкой резистором R14 добиться минимума сигнала на его выходе, после чего заменить ре-

зистор постоянным подобранным со-противлением. Увеличив частоту входного сигнала до 40...100 кГц, подбором конденсатора C6 снова добиться минимального сигнала на выходе ИТУН.

Теперь следует проверить K_{OCC} в полосе частот 20 Гц..40 кГц, измеряя



$$F_p = \frac{1}{2\pi\sqrt{L_K C_K}}$$

$$Q = \frac{\sqrt{L_K}}{R_D} C_K$$

Рис. 9

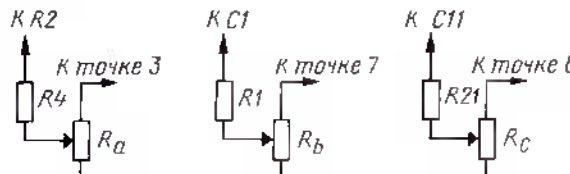


Рис. 10

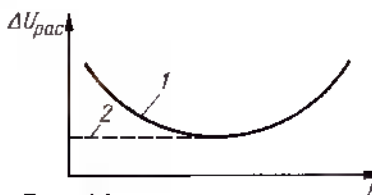


Рис. 11

отношения сигналов в точке 3 при замыкании и размыкании перемычки токового датчика L3R9. Допустимое значение K_{OCC} при снятой перемычке должно быть не менее 40 дБ.

2. Установка заданного коэффициента передачи напряжения (K_u) для ИТУН и коррекции АЧХ выше частоты F1 (см. рис. 1).

Сняв перемычку с цепи L3R9, подают на вход ИТУН сигнал частотой F1 и, подключая вольтметр к его входу, а затем к BA1 в точке 5, по измеренным значениям U_{rx} и $U_{vых}$ рассчитывают значение K_u без дополнительной ООС по току.

Далее устанавливают требуемое значение K_u для ИТУН регулировкой глубины ООС по току переменным резистором R_a . Затем контролируют АЧХ в точке 5 на частотах выше F1 (см. рис. 1) и для сохранения коэффициента передачи неизменным уточняют сопротивление R9 и положение движка R_a . При такой регулировке неравномерность АЧХ $\pm 0,5$ дБ в полосе звуковых частот представляется достаточной.

Затем вычисляют точное сопротивление резистора R11 — с учетом коэффициента деления на резисторе R_a и устанавливают его, как и подобранный резистор R9, постоянно.

3. Установка коррекции АЧХ на частотах ниже F1.

Контролируя АЧХ в точке 5 на частотах ниже F1, необходимо изменением резистора R_b уточнить глубину ООС, а также сопротивление резисторов R12, R13 и емкость конденсаторов C3, C1 (коррекция АЧХ в полосе между частотами F₁ и F₂). Далее устанавливают постоянно подобранные элементы R12, R13, C3, C1, а также резистор R6 сопро-

тивлением, вычисленным с учетом исключения резистора R_b .

4. Установка баланса коэффициентов передачи ИНУН и ИТУН.

Теперь отключают верхний по схеме вывод ЭДГ от общего провода и соединяют с выходом узла ИНУН. Вольтметр подключают опять к точке 5 (относительно общего провода). Регулировкой элементов узла ИНУН следует установить его коэффициент передачи равным K_u для ИТУН с включенными цепями ООС.

Затем подают входной сигнал частотой, соответствующей средней частоте воспроизведенного диапазона, и напряжением, достаточным для получения на выходе ИНУН напряжения около 1 В. Следует добиться получения минимального сигнала рассогласования ($\Delta U_{рас}$) в точке 5, уточняя коэффициент передачи ИНУН. При импедансе головки 8 Ом значение $\Delta U_{рас}$ обычно не превышает 60...80 мВ и зависит от падения напряжения на датчике тока L3R9 и потерь в выходной цепи ИТУН.

Контролируя частотную зависимость сигнала $\Delta U_{рас}$ можно в косвенной форме оценить точность выполнения условий (1), (2) и (3) для системы усилитель-громкоговоритель. По достижении согласования фиксируют K_u ИНУН установкой постоянных резисторов, определяющих этот параметр.

5. Установка демпфирования ЭДГ.

Глубина демпфирования регулируется глубиной ООС по напряжению с помощью временно включенного переменного резистора R_c . Сигнал с этого резистора увеличивают перемещением движка до значения, обеспечивающего запас устойчивости не менее 6 дБ. Емкость конденсаторов C8 и C11 выбирают максимально возможной, обеспечивающей эффективное демпфирование, но без значительного уменьшения $R_{вых}$ усилителя на частотах выше резонанса, т. е. с учетом глубины ООС и изменений импеданса ЭДГ.

Вычисляют точное сопротивление резистора R18 с учетом исключения R_c и устанавливают соответствующий номинал постоянно.

На этом процесс настройки закончен. Можно, однако, произвести заключительный контроль сигнала рассогласования. Примерный график результатов измерений $\Delta U_{рас}$ приведен на рис. 11, где кривая 1 соответствует измерениям до ввода ООС по напряжению, а линия 2 — после ввода ООС. Как следует из графика, рассогласование заметно увеличивается с ростом частоты, поэтому следует стремиться к ограничению полосы, например, за счет применения кроссовера с высокой крутизной среза АЧХ.

Контроль достигнутого значения нелинейных искажений выходного тока в усилителе, реализованном по схеме рис. 7, может быть произведен измерением сигнала на эталонном резисторе $R_{эт} = 0,1...0,3$ Ом, включенным между точкой 5 и громкоговорителем BA1.

Итак, наибольший эффект применения ИТУН в УМЗЧ достигается с ЭДГ в полосе СЧ многополосной активной акустической системы. При использовании ИТУН с выходными каскадами, работающими в режиме класса АВ, наиболее целесообразно реализовывать все виды необходимых коррекций в соответствии со схемой рис. 4. При применении в системе звуковоспроизведения ИТУН при схеме включения, приведенной на рис. 7, достигается улучшение качественных характеристик, свойственных усилителям класса А.

ЛИТЕРАТУРА

- Алейнов А., Сырицо А.** Улучшение звуковоспроизведения в системе УМЗЧ — громкоговоритель. — Радио, 2000, № 7, с. 16–18.
- Горшенин А.** Как выбрать динамическую головку для высококачественной АС. — Радио, 2008, № 7, с. 15–18.
- Сырицо А.** Особенности УМЗЧ с высоким выходным сопротивлением. — Радио, 2002, № 2, с. 16, 17.
- Алейнов А., Сырицо А., Муриков А.** Способ звукоусиления с токовым управлением электродинамическим громкоговорителем и усилитель мощности для активных акустических систем. — Патент РФ № 2181932 от 27.04.2002 г.

Редактор — А. Соколов, графика — Ю. Андреев

МОДУЛЬНАЯ РЕКЛАМА

Контрольный приемник коротковолновика — цифровой всеволновой Degen DE1103 — 3700 рублей.

Описание здесь:

<http://www.dessy.ru>.

Заказывать здесь: 105318, г. Москва, а/я 52 "ПОСЫЛТОРГ".

E-mail: post@dessy.ru,

Тел. (495) 543-47-96; (985) 366-87-86.

ООО "ЮНК" предлагает кольца "Амидон" FT 37-4, T 50-2,6,10, T 80-2,6,10, T 94-6,10, BN 43-202, BN 61-302; микросхемы ADG 774, FST 3125; смесители LAVI-2VH, ADE-1HW, TUF-1HSM, аттенюаторы, полистироловые конденсаторы 27—20000 пФ и другие ВЧ компоненты.

Контакты trek46@mail.ru

T. 8 (8482) 71-17-59.

Для Вас, радиолюбители!

РАДИОКОНСТРУКТОРЫ всех направлений. Корпусы для РЭА. Радиоэлементы, монтажный инструмент и материалы, литература, готовые изделия. IBM-комплектующие.

От Вас — оплаченный конверт для бесплатного каталога.

426072, г. Ижевск,

а/я 1333 РТЦ "Прометей".

www rtc-prometej.narod.ru

Тел./факс (3412) 36-04-86,

тел. 22-60-07.

Сравнение конденсаторов в кроссовере АС

Д. ГОРШЕНИН, г. Москва; И. РОГОВ, г. Ростов-на-Дону

Возвращаясь к свойствам ПЭТ конденсаторов, можно утверждать, что имеющиеся на сегодняшний день объективные данные об их характеристиках не дают оснований утверждать, что их применение в кроссоверах АС может привести к снижению качества звука. Однако этот вывод противоречит утверждениям любителей высококачественного звучания, ссылающихся на свои субъективные ощущения. Объективные данные их не убеждают. В подобных случаях единственным способом выяснения истины остается проведение публичной субъективной экспертизы. Для того чтобы результаты такой экспертизы можно было считать объективными, она должна быть проведена с максимально возможным соблюдением правил, принятых для подобных мероприятий.

переключатели с указателями позиционного положения. Для подключения конденсаторов были выведены три пары коротких проводов с зажимами "крокодил", маркированными разными цветами. Переключатели имели шесть положений. Таким образом, каждый из конденсаторов, подключенный к своей паре "крокодилов", участвовал в работе два раза. Сам кроссовер был сделан из высококачественных деталей и хорошо отстроен. Конденсаторы, участвовавшие в teste, подобрали по емкости с высокой точностью.

Все тесты были двойными слепыми — не только слушатели не знали, какой из конденсаторов в данный момент включен в цепь, но этого не знали и операторы, переключавшие конденсаторы (чтобы даже неносознанно не подать слу-



Рис. 6

Для прояснения этого вопроса было решено провести собственный тест. В конце 2008 г. в одном из московских аудиосалонов состоялась встреча радиолюбителей-аудиофилов (фото на рис. 6), главной целью которой было оценить, какой вклад оказывает проходной конденсатор, включенный последовательно с ВЧ головкой (тогда он оказывает наибольшее влияние на звук) в общее звучание системы. И действительно, и отечественные и недоступные конденсаторы K73-16 настолько хуже дорогих аудиофильских, как про это говорят.

Методика сравнения была следующей. В кроссовере каждой из АС стереосистемы меняли конденсатор, включенный последовательно с ВЧ головкой. Были подготовлены две коробки, в которых установили высококачественные

шателям какой-либо сигнал). Только после того, как были собраны и записаны в бланки все мнения, проверялись соответствия номеров и типов конденсаторов. Тестов проводилось несколько, между ними слушатели отдыхали.

В первом teste сравнивали между собой три конденсатора:

1. K73-16.

2. Jantzen Superior Z-cap.

3. Mundorf MCap MKP Audiophile.

Сначала в качестве "нулевого отсчета" включили один из них, чтобы слушатели привыкли к звуку. Этот вариант не оценивался. Потом пошел зачет. Поочередно включались конденсаторы, и качество (достоверность) звучания оценивалось по десятибалльной шкале. Длительность прослушивания каждого из них составляла несколько минут. Затем переключатель устанавливали в следующее положение и прослушивали тот же фрагмент записи. После теста все подписанные

Окончание.

Начало см. в "Радио", 2009, № 8, 9

протоколы были сведены в одну общую ведомость. Протоколы писали 12 человек, по два раза слушая звучания с каждым конденсатором. Итого получилось по 24 оценки для каждого конденсатора.

Результат теста оказался очевидным — никто из собравшихся (их было порядка двадцати человек, но не все из слушателей заполнили протоколы) не выделил какой-либо конденсатор как выдающийся или провальный по звучанию. Однако возникают вопросы:

1. Насколько адекватна субъективная оценка, сделанная не профессиональными экспертами, но подготовленными слушателями?

2. Не были ли результаты случайны?

Ответ на первый вопрос содержится в статье [11], где сказано следующее: "на протяжении нескольких лет ведутся работы по изучению влияния выбора экспертов и степени их тренированности на качество оценок аудиоаппаратуры, а также на совпадение мнений тренированных профессиональных экспертов с мнением "нетренированных" (массовых слушателей). Результаты таких работ, выполненных довольно длительное время в компании Harman, были продемонстрированы на 114-й конвенции AES: "субъективные оценки, которые дают квалифицированные эксперты, совпадают со шкалой предпочтений для неквалифицированных слушателей".

Для оценки значимости результатов прошедшего теста был проведен их статистический анализ, аналогичный описанному в [11]. На рис. 7 показан средний балл для каждого конденсатора (красная черта), от которого вверх и вниз отложена дисперсия разброса оценок. Наивысший балл получил K73-16, причем разброс оценок минимальный, это означает, что слушатели были единодушны в своих мнениях. У конденсатора Jantzen оценка ниже, а дисперсия максимальна. Это означает наибольший разброс мнений по его работе. Mundorf получил минимальный балл, и его оценки легли сравнительно "кучно".

Разница в средних оценках составила 0,5—1,5 градации десятибалльной шкалы. Согласно [11], это означает: "...разница в одну градацию — незначительное предпочтение, в 0,5 — практическое равенство в оценках". Можно сделать вывод, что участники теста оказали незначительное, но все же статистически заметное предпочтение конденсатору K73-16 по отношению к Mundorf MCAP MKP Audiophile. Большая дисперсия оценок у Jantzen Superior Z-cap, скорее всего, означает, что те нюансы, которые он вносит в звучание, больше зависят от вкусовых предпочтений слушателей, нежели от каких-либо свойств самого конденсатора.

Несмотря на то что приведенные результаты выглядят достаточно убедительно, есть шанс, что наблюдаемая разница случайна. Поэтому была проверена статистическая значимость сравнения по критерию Стьюдента.

Пара Mundorf — K73-16 оказалась статистически значимой на уровне 0,02. Это означает, что вероятность того, что замеченная разница в конденсаторах закономерна, равна 98 %. Поскольку с точки зрения математики достаточно 90...95 % достоверности, можно сде-

лать вывод о действительном предпочтении конденсатора K73-16.

Пары Jantzen — Mundorf и Jantzen — K73-16 оказались статистически незначимы на уровне 0,1, т. е. вероятность закономерности их различий меньше 90 %. Причем если для пары Jantzen — K73-16 вероятность закономерности около 80 % (с точки зрения математики закономерности тут уже нет), то пара Jantzen — Mundorf статистически абсолютно незначима и различия между ними совершенно случайна.

И последний момент: "а суды кто?". Не получилось ли так, что измерения, достоверность которых доказывалась выше, сделаны "измерительными приборами очень низкой точности" — неквалифицированными экспертами? Для этого вычислялось значение $1/F_{\text{stat}}$ для каждого из слушателей (в тестах компании Harman использовалось F_{stat} — отношение среднеквадратичного значения оценки к среднеквадратичному значению разбросов в оценках, т. е. к среднему значению погрешности), рис. 8. Можно считать, что на диаграмме показана погрешность оценок слушателя как измерительного прибора, и эта погрешность в своем большинстве невелика. Если отбросить мнение пятого эксперта, то

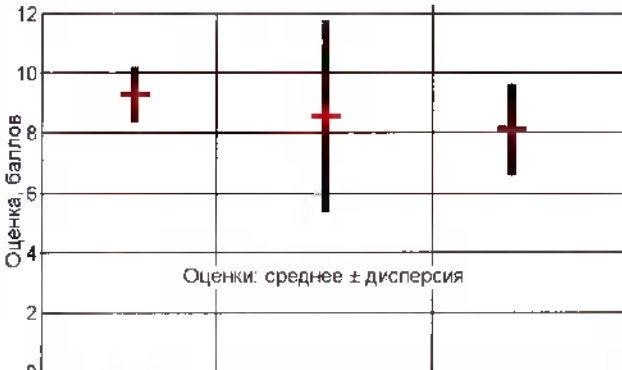


Рис. 7

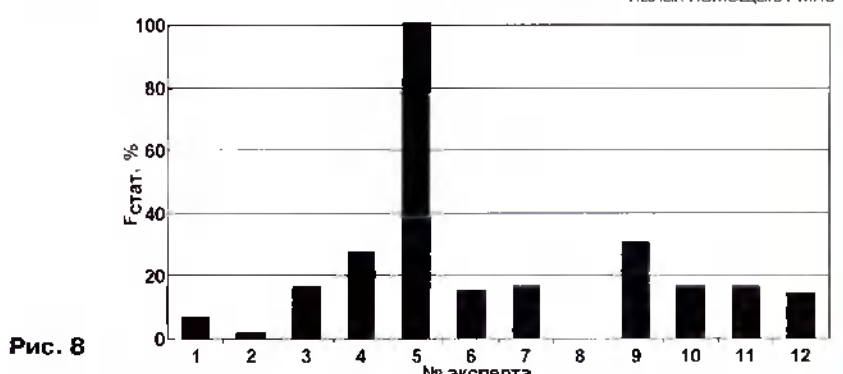


Рис. 8

разрыв между конденсаторами увеличивается, что еще больше подтверждает достоверность результатов. Но, по мнению авторов, в результаты экспертизы должны быть включены оценки всех экспертов, хотя бы потому, что это мнение массового слушателя — потребителя аудиопродукции, т. е. именно того, кому придется платить деньги за аппаратуру.

Во втором тесте сравнивались попарно с K73-16 некоторые другие конденсаторы (тест был также двойной слепой).

K73-16 против Jantzen Superior. На вопрос "какой из них вы бы использовали для себя?", все единогласно ответили: первый (второй звучит звонче, а первый лучше, но натуральнее).

K73-16 против Jensen (бумага, масло, фольга из алюминия). 60 % экспертов выбрали первый конденсатор, 40 % — второй.

K73-16 против MultiCap фольговый. Натот же вопрос почти все, кроме одного, ответили "без разницы (разница мизерная)", а один человек предпочел K73-16.

Осталось ответить на последний вопрос: насколько условия прослушивания отвечали современным требованиям к их организации? Аппаратура была очень высокого качества, в помещение достаточно хорошо подготовлено для аудиотестов. В том же, что касается таких аспектов организации экспертизы, как отбор экспертов и тестовых фонограмм, а также число прослушиваний, то тут, конечно, с профессиональной точки зрения далеко не все было безупречно, что вполне объяснимо.

Кроме того, организаторов упрекали, что число экспертов было слишком велико и это "размыло картину теста". Опять обратимся к статье в [11]: "Учитывая, что разброс в оценках у опытных экспертов гораздо меньше, для того чтобы получить статистически значимые субъективные оценки аппаратурь, можно приглашать небольшое число экспертов (5—6 человек, как требует стандарт МЭК), в то же время при использовании в качестве экспертов неопытных и неквалифицированных слушателей требуется большое количество экспертопоказаний, поэтому, когда в журналах помещают мне-

ние одного автора, это не имеет отношения к технике". Таким образом, полученные результаты заслуживают гораздо большего доверия, чем многие публикации о "явно слышимых преимуществах аудиофильских конденсаторов".

Выводы.

1. Аудиофильский миф о том, что дорогие специализированные аудиоконденсаторы "звукут хорошо", а обычные дешевые, и в особенности отечественные, всегда "звукут плохо", не имеет под собой

объективных оснований и не подтверждилася субъективной экспертизой.

К реальным преимуществам специализированных аудиоконденсаторов можно отнести более предсказуемое качество изготовления и иногда меньший допуск на величину номинальной емкости. Остальные преимущества носят рекламный характер. Часто упоминаемый в аудиопрессе высокий уровень акустической развязки, исключающий возникновение микрофонного эффекта, имеет и целый ряд конденсаторов общего назначения, не использующих ни экзотических материалов, ни дорогостоящих конструктивных решений.

2. Не нашло своего подтверждения мнение, что полистилентерефталат (лавсан, полиэстер, майлар) как диэлектрик "противопоказан хорошему звуку". Можно с уверенностью утверждать, что отечественные лавсановые конденсаторы не хуже по звучанию гораздо более дорогих специализированных аудиоконденсаторов, поскольку при субъективной экспертизе вообще никто из достаточно подготовленных слушателей не отнес их к "плохо звучащим".

Отечественные ПЭТ конденсаторы К73-16, показавшие отличные результаты как при объективных измерениях, так и при субъективной экспертизе, можно смело рекомендовать в качестве недорогой альтернативы специализированным аудиоконденсаторам. В то же время популярные конденсаторы К73-17, имеющие в целом аналогичные электрические характеристики, но отличающиеся по конструкции, перед использованием желательно дополнительно контролировать, поскольку их конструкция не гарантирует должного качества изготовления.

3. Результаты проведенной субъективной экспертизы не означают ни то, что К73-16 — самые лучшие конденсаторы, ни то, что любые конденсаторы "звукут" одинаково, а лишь в очередной раз подтверждают очевидный факт: слышимые отличия определяются объективными параметрами. В данном случае различия характеристик конденсаторов тестировавшихся типов (полипропиленовые, лавсановые и масляно-бумажные) могут вызывать лишь очень незначительную разницу, лежащую для подавляющего большинства слушателей около порога восприятия. Те же, кто в состоянии эти различия услышать, в конкретной аудиосистеме могут отдать предпочтение любому из рассмотренных выше типов конденсаторов.

Авторы выражают благодарность всем участникам форума [Vegalab.ru](http://vegalab.ru), как непосредственно участвовавшим в подготовке и проведении субъективного тестирования, так и обсуждавшим его результаты на страницах форума. Особую благодарность авторы выражают известному разработчику акустических систем Георгию Крылову, без решающего участия которого подобное тестирование не смогло бы состояться.

ЛИТЕРАТУРА

11. Алдошина И. А. Субъективная оценка акустических систем. — Звукорежиссер, 2003, № 9. См. также <<http://rus.625-net.ru/audioproducer/2003/09/aldo.htm>>.

Редактор — А. Соколов, графика — Ю. Андреев, фото — В. Луханин

ОБМЕН ОПЫТОМ

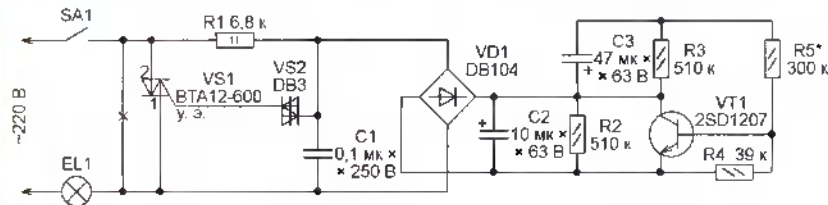
Устройство плавного включения ламп накаливания

Н. МЕШАЛКИН, г. Новокузнецк Кемеровской обл.

Я опробовал множество конструкций устройств плавного включения осветительных ламп накаливания. Одни не устроили меня слишком большими

выключением лампы, что подготавливает устройство к новому включению.

Установившееся значение напряжения на лампе около 200 В при напряже-



размерами и числом деталей, другие требовали обязательного присоединения к обоим сетевым проводам, что при существующей в квартире электропроводке не совсем удобно. Поэтому я решил самостоятельно разработать простое малогабаритное устройство, которое можно включить в разрыв любого из идущих к осветительным лампам проводов и разместить в установочной коробке стандартного выключателя либо в колпаке люстры. Его схема изображена на рисунке.

Здесь SA1 — уже имеющийся выключатель, управляющий лампой накаливания EL1. Далее мы будем говорить об одной лампе, не забывая о том, что их может быть и несколько, соединенных параллельно. Важно, чтобы суммарный ток ламп не превышал допустимого для симистора VS1, который, как показано на схеме, включают в разрыв провода, соединяющего лампу с выключателем.

Поскольку в момент замыкания контактов выключателя SA1 конденсатор C2 разряжен и напряжение на нем нулевое, близко к нулю и напряжение, приложенное к симметричному динистору VS2, и он закрыт. Закрыт и симистор VS1.

В результате зарядки конденсатора C2 напряжение, приложенное к динистору VS2, постепенно увеличивается, и он начинает открываться и открывать симистор VS1 в каждом полупериоде сетевого напряжения на все большее время. Яркость свечения лампы постепенно растет. Чтобы замедлить этот процесс, параллельно конденсатору C2 подключен интегратор на транзисторе VT1, охваченном обратной связью через конденсатор C3 и резистор R5.

При указанных на схеме номиналах элементов яркость лампы достигает максимума через 10 с после замыкания контактов выключателя SA1. Это значение можно изменить, подбирая резистор R5. Резисторы R2 и R3 нужны для разрядки конденсаторов, параллельно которым они подключены, после

которых в сети 230 В. Это немного снижает ее яркость, но значительно увеличивает срок службы.

Редактор — А. Долгий, графика — А. Долгий

МОДУЛЬНАЯ РЕКЛАМА

Издательство "Наука и Техника" высылает книги наложенным платежом:

Справочники

Турата Е. Ф. Транзисторы в 2-х томах, 544 стр. — 504 руб. за два тома.

Турата Е. Ф. Активные SMD-компоненты: маркировка, характеристики, замена, 544 стр. — 252 руб.

Серия "500 схем для радиолюбителей"

Семьян А. П. Радиостанции и трансиверы, 272 стр. — 142 руб.

Семьян А. П. Современные переключатели, 352 стр. — 164 руб.

Семьян А. П. Источники питания, 416 стр. — 186 руб.

Кляровский В. А. Усилители мощности любительских радиостанций, 256 стр. — 164 руб.

Дніщенко В. А. Дистанционное управление моделями, 464 стр. — 219 руб.

Компьютерная литература

Цифровое фото, видео, аудио. Практический самоучитель от Computer Bild + DVD, 384 стр. — 275 руб.

Королев В. Д. Компьютер на Флешке. Работающие Windows, Linux, офис и 150 самых полезных программ у вас в кармане. Самоучитель (Книга + DVD с программами, видеокурсом), 256 стр. — 252 руб.

Цены указаны без учета почтовых расходов.

Звоните: 8-812-412-70-25.

Пишите: admin@nit.com.ru

192029, С.-Петербург, а/я 44.

Подробно о книгах

на www.nit.com.ru

НОВОСТИ ВЕЩАНИЯ

П. МИХАЙЛОВ (РУЗАСС), г. Москва

РАДИОВЕЩАНИЕ

РОССИЯ

БЕЛГОРОД. Здесь начали работу две новые радиостанции: "Главное радио" — на частоте 101,7 МГц и "Дорожное радио" — на частоте 106,8 МГц. Радиостанция "Главное Радио" входит в сеть "Общественного российского радио", которая уже работает в 36-и городах России. Особенности вещания в Белгороде — выгодное расположение передающей антенны, что гарантирует большую зону уверенного приема по сравнению с другими городскими радиостанциями.

БУРЯТИЯ. В Улан-Удэ после трехлетнего перерыва возобновилось вещание радиостанции "Пульс-Радио". Правда, теперь она вещает на другой частоте — 71,84 МГц. На прежней частоте (103,3 МГц) вещание сейчас ведется в Петропавловке и Турунтаево, а в ближайшее время трансляции "Пульс-Радио" начнутся в Кяхте, Гусиноозерске и поселке Турка. В эфир будут выходить более 15 развлекательных и просветительских программ, возобновятся работы службы новостей, интересные подборки музыкальных программ.

ВЛАДИВОСТОК. Одну из самых популярных радиостанций Владивостока "Лемма" отынне можно слушать в любой точке мира благодаря новому интернет-сайту: <<http://www.radiolemma.ru>>. Лента новостей здесь теперь обновляется в режиме реального времени. В эфире города станция использует частоты 783 кГц и 102,7 МГц.

ВОЛОГОДСКАЯ ОБЛ., Великий Устюг. В эфире города можно прослушивать радиостанции: "Трансмит" (Череповец) — на частоте 102,3 МГц; "Европа плюс Котлас" — на частоте 103,0 МГц; "Русское радио" (включая выпуски новостей радиостанции "Устюг FM") — на частоте 103,5 МГц.

МОСКОВСКАЯ ОБЛ. Радиостанция "Авторадио" расширила зону покрытия региона, задействовав дополнительные передатчики в области. Теперь в Подмосковье "Авторадио" можно услышать: на частоте 91,0 МГц — в Волоколамске, Шаховской и Лотошине; на частоте 91,4 МГц — в Итатуре, Покрове и Ликино-Дулеве; на частоте 92,6 МГц — в Талдоме, Дубне, Орехово-Зуеве и Кимрах; на частоте 102,2 МГц — в г. Серебряные Пруды; на частоте 105,5 МГц — в Уваровке, Можайске, Бородине и Серпухове; на частоте 107,6 МГц — в Ступине, Кашире и Озерах.

В настоящее время сигнал "Авторадио" достиг самых отдаленных зон московского региона, которые не охватываются московским передатчиком. Кроме того, с введением в строй новых передатчиков появилась возможность распространения сигнала "Авторадио" по крупнейшим трассам, связывающим

Время всюду — Всемирное (UTC). Время MSK = UTC + 4 ч (летний период).

Московскую область и близлежащие регионы, посредством автоматической коммутации приемника в системе RDS на частоты радиостанций, работающих в населенных пунктах по ходу движения автомобиля.

МУРМАНСК. Сегодняшний эфир Мурманска в диапазоне УКВ-2 представлен следующими радиостанциями: "Рекорд" — частота 102,0 МГц; "Авторадио-Мурманск" — частота 102,5 МГц; "Наše радио" — частота 103 МГц; "Маяк" — частота 103,5 МГц; "Петро FM" — частота 104,0 МГц; "Power Hit Radio" — частота 104,5 МГц; "Юмор FM" — частота 105,0 МГц; "Русское радио" — частота 105,5 МГц; "Дорожное радио-Мурманск" — частота 106,0 МГц.

САМАРА. В Самарской области заработал единый бесплатный круглосуточный телефонный номер для обратной связи с телезрителями и радиослушателями региона. По единому номеру потребители смогут получить любую справочную информацию, а также жаловаться на качество телевидения и радиовещания. Звонки принимаются оператором, а информация передается в соответствующие подразделения Областного радиотелевизионного передающего центра. Номер телефона "обратной связи": (800) 200-0846.

ЗАРУБЕЖНЫЕ СТРАНЫ

АТЛАНТИКА, остров Святой Елены. Информация о ежегодной КВ радиопередаче с острова Святой Елены. Вещание будет вестись 14 ноября 2009 г. на традиционной частоте 11092,5 кГц в режиме USB. Расписание работы: 20.00—21.00 — на Индию и Юго-Восточную Азию; 21.00—22.00 — на Японию и другие страны Азии; 22.00—23.30 — на Европу; 23.30—01.00 — на Западное полушарие. Все подробности можно почерпнуть по адресу <<http://www.sthelena.se/radioproject>>.

ГЕРМАНИЯ. Программы христианской радиостанции "CVC International" на русском языке транслируются в 12.00—16.00 — на частоте 11770 кГц; 16.00—18.00 — на частоте 13640 кГц; 18.00—20.00 — на частоте 11945 кГц.

ЛАТВИЯ, Рига. В столице Латвии теперь ретранслируются программы радиостанции "Европа Плюс" на частоте 99,5 МГц. Вещание осуществляют рижская радиостанция "Радио 99,5", которой и принадлежит данная частота. В настоящее время "Европа Плюс" — самая большая сеть УКВ радиостанций в мире, она уже охватывает своим вещанием более 800 городов России, Белоруссии, Грузии, Казахстана, Киргизии, Армении, Молдавии, Азербайджана, Украины.

ОАЭ. На территории Объединенных Арабских Эмиратов на частоте 92,6 МГц круглосуточно ретранслируются программы "Русского радио" из Москвы. Вещание ориентировано, главным образом, на туристов из России.

ПОЛЬША. По финансовым причинам прекращены трансляции программ радиостанций "Парламент" и "Польское радио для заграницы" (иновещание) на частоте 198 кГц через передатчик в г. Рашине. Подробности об этом событии, а также новости о работе местных средневолновых радиостанций Польши можно найти на сайте <<http://www.polskaam.radiopolska.pl>>.

Программы польского иновещания на русском языке можно принимать: 13.00—13.30 — на частоте 11835 кГц; 14.30—15.00 — на частоте 11955 кГц; 18.00—18.30 — на частоте 6140 кГц; 19.00—19.30 — на частоте 6050 кГц. Передачи на украинском языке в эфире: 14.30—15.00 — на частоте 11/50 кГц; 15.00—15.30 — на частоте 9440 кГц; 18.30—19.00 — на частоте 6175 кГц; 19.00—19.30 — на частоте 6140 кГц. Для осуществления трансляций используются передатчики в Германии мощностью 100 кВт.

ФИЛИППИНЫ. Радиостанция "Филиппинская широковещательная служба" — "Philippine Broadcasting Service" (PBS) — снова работает в диапазоне коротких волн. Радиоэнтузиасты стран Восточной и Юго-Восточной Азии отмечали вещание на частоте 6170,4 кГц. Сигнал появляется примерно после 11.30 и проходит до 13.00. К сожалению, прием затруднен помехами со стороны "Новозеландского Международного радио" (ровно 6170 кГц) и 1-й программы "Национального радио КНР" (6175 кГц).

ЧЕХИЯ. Радиостанция "Свобода" в настоящее время вещает на белорусском языке (уточненные частоты): 15.00—17.00 — на частоте 9725 кГц; 16.00—17.00 — на частоте 6105 кГц; 17.00—19.00 — на частоте 6050 кГц. Частотное расписание для передач на русском языке пока не менялось.

ТЕЛЕВИЗИОННОЕ ВЕЩАНИЕ

МОСКВА. Международная версия телеканала "ТВ Центр" — "ТВ Центр International" ("TVCI") начала трансляции программ через спутник "ABS-1" в странах Азии, Северной Африки и Ближнего Востока. Теперь международную версию телеканала "ТВ Центр" могут принимать русскоговорящие телезрители Египта, Сирии, Израиля, ОАЭ, Турции, Ливана, Китая, Индии, Монголии, Вьетнама, Камбоджи, Лаоса, Малайзии, Таиланда и других стран (всего более 30) с общей потенциальной русскоговорящей аудиторией свыше 6 млн человек. В настоящее время ведутся переговоры о включении "TVCI" в телевизионные пакеты операторами кабельного, мобильного и гостиничного телевидения в странах, находящихся в зоне покрытия спутника "ABS-1". Поскольку трансляция "TVCI" с "ABS-1" осуществляется в открытом режиме, телезрители могут принимать телеканал на спутниковые антенны бесплатно. "TVCI" сегодня доступно в странах СНГ, Европы, США и Канаде, Австралии и Новой Зеландии.

Хорошего приема и 73!

Редактор — Е. Карнаухов

Два звуковых пробника

А. БУТОВ, с. Курба Ярославской обл.

При поиске неисправностей и налаживании различной звуко-воспроизводящей, радиоприемной аппаратуры, телефонных аппаратов, генераторов нередко приходится держать на рабочем столе довольно много различных приборов. Чтобы уменьшить их число и повысить удобство работы, вместо двух отдельных приборов — звукового пробника и генератора импульсов звуковой частоты — можно изготовить несложное комбинированное устройство, которое объединит оба прибора.

Расширение функциональных возможностей мультиметра M320

Малогабаритный мультиметр M320 фирмы MASTECH обладает рядом достоинств, которые выгодно отличают его от других аналогичных измерительных приборов невысокой ценовой кате-

рис. 1. Конструктивно оно выполнено как щуп, к его входным гнездам (XS1, XS2) подключают входы мультиметра (к XS2 — общий "черный" провод), а с выхода (XP1, XP2) сигнал подают на проверяемый узел.

Частота выходного сигнала зависит от емкости конденсаторов C1, C2 и частично от емкости конденсатора C3 и

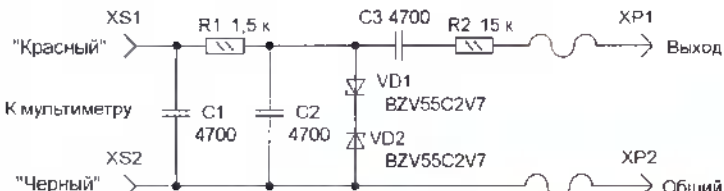


Рис. 1

гории. Он позволяет измерять переменные и постоянные напряжение и ток, сопротивление до 40 МОм, емкость конденсаторов до 99 мкФ, частоту сигнала до 999,9 кГц, тестирует р-п переходы полупроводниковых приборов, имеет звуковую индикацию в режиме прозвонки цепей и автоматическое выключение питания. Автоматический выбор пределов измерения, низкое напряжение питания — 3 В и полный четырехразрядный ЖК индикатор также выгодно отличают его от популярных "народных" мультиметров серий M830—M838.

При эксплуатации мультиметра M320 выяснилось, что несложно расширить его возможности, дополнив их еще одной функцией. При этом нет необходимости вносить какие-либо изменения в его конструкцию. В режиме измерения емкости конденсаторов на входе мультиметра присутствуют периодические колебания амплитудой около 600 мВ и формой, близкой к треугольной. Поскольку частота этих колебаний зависит от емкости подключенного конденсатора, это дает возможность использовать мультиметр в качестве генератора ЗЧ, который можно применить для проверки работоспособности различных устройств, работающих в диапазоне ЗЧ.

Чтобы воспользоваться дополнительной функцией "генератор ЗЧ" без риска повредить прибор, необходимо изготовить несложное устройство в виде переходника, схема которого показана на

емкости подключенной цепи. При указанных на схеме номиналах элементов частота сигнала будет находиться в интервале 900...1500 Гц. Резистор R1, кроме выполнения защитных функций, "смягчает" звучание. Стабилитроны VD1, VD2 защищают вход мультиметра от бросков напряжения, которые могут возникнуть при подключении устройства к тестируемому узлу или прибору. При проверке к сигнальному цепям подключают щуп XP1, а к общему проводу — щуп XP2, который можно снабдить зажимом "крокодил".

Элементы устройства смонтированы на универсальной монтажной плате размерами 40×15 мм, которая размещена в пластмассовом корпусе с внешним диаметром 20 мм от кляещего карандаша (рис. 2). Резисторы можно применить любые, конденсаторы — K10-17, K10-50. Стабилитроны BZV55C2V7 заменимы малогабаритными стабилитронами или стабисторами на напряжение стабилизации 1,4...3,3 В, например, BZV49-C2V4, BZV87-1V4, BZV87-2V6. Если заменить конденсатор C1 установить несколько с различной емкостью и переключать их с помощью многопозиционного переключателя, на выходе устройства можно получить набор сигналов нескольких частот.

Мультиметр M320 с описанным в этой статье устройством конечно же не в состоянии заменить полноценный генератор ЗЧ, но дополнительная функция может оказаться весьма полезной при отсутствии поблизости такого генератора.

Звуковой пробник — генератор на LM386

Схема устройства показана на рис. 3. Чувствительный малошумящий звуковой пробник с высоким входным сопротивлением (около 200 кОм) собран на полевом транзисторе VT1 (входной каскад) и усилителе LM386. Эта микросхема при напряжении питания 9 В обеспечивает на нагрузке 8 Ом выходную мощность около 0,4 Вт. На ней собран также перестраиваемый генератор прямоугольных импульсов, а переключение режимов работы осуществляют кнопочным переключателем SB1.

В показанном на схеме положении SB1 устройство находится в режиме "Пробник". При этом сигнал звуковой частоты, поданный на вход устройства, через контакты переключателей SB1.1, SB1.2 и резистор R1 поступает на переменный резистор R2, который в этом случае выполняет функции регулятора усиления (громкости). С его движка через контакты переключателя SB1.3 сигнал поступает на затвор полевого транзистора VT1. Диоды VD1—VD4 защищают его от пробоя высоким входным напряжением. Конденсатор C3 устранил возможное самовозбуждение усилителя на высокой частоте при движке резистора R2 в положении максимального усиления. Конденсаторы C3 и C4 сужают полосу пропускания усилителя,

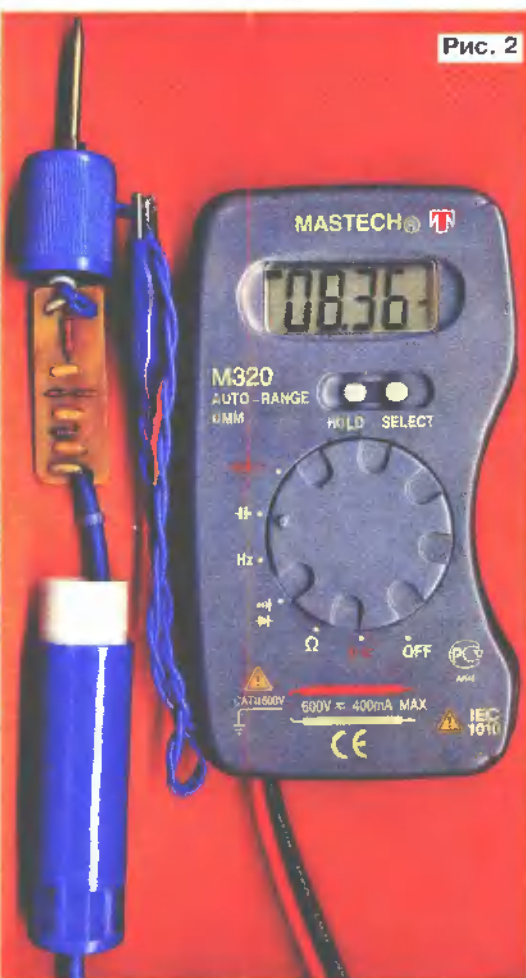


Рис. 2

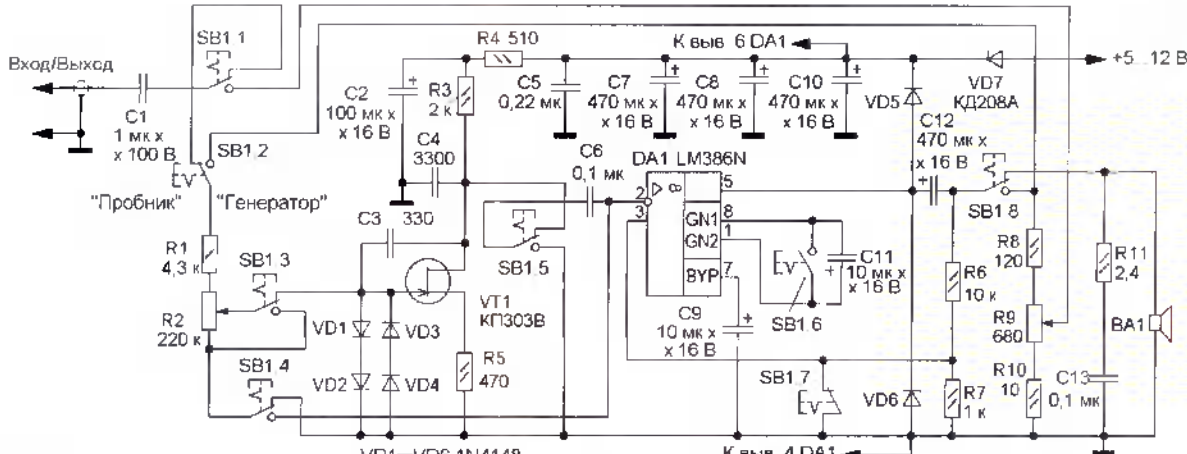


Рис. 3

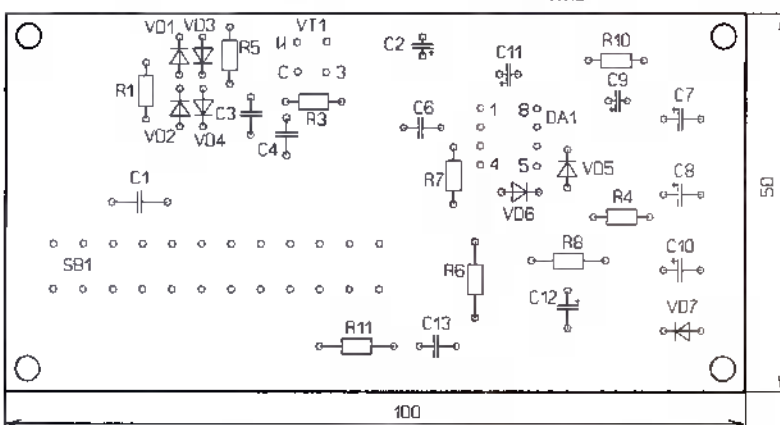
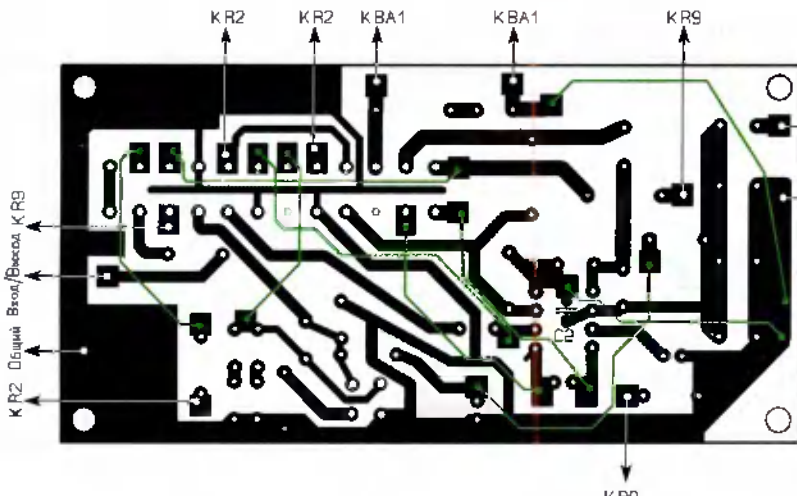


Рис. 4

подавляя сигналы с частотами более 20...25 кГц. После усиления в УЗЧ DA1 сигнал через разделительный конденсатор C12 и контакты переключателя SB1.8 поступает на динамическую головку BA1. Максимальный коэффициент усиления устройства в этом режиме составляет около 1000.

Для работы устройства в качестве генератора импульсов переключатель SB1 переводят в положение, противоположное указанному на схеме. При этом через резистивный делитель R6R7

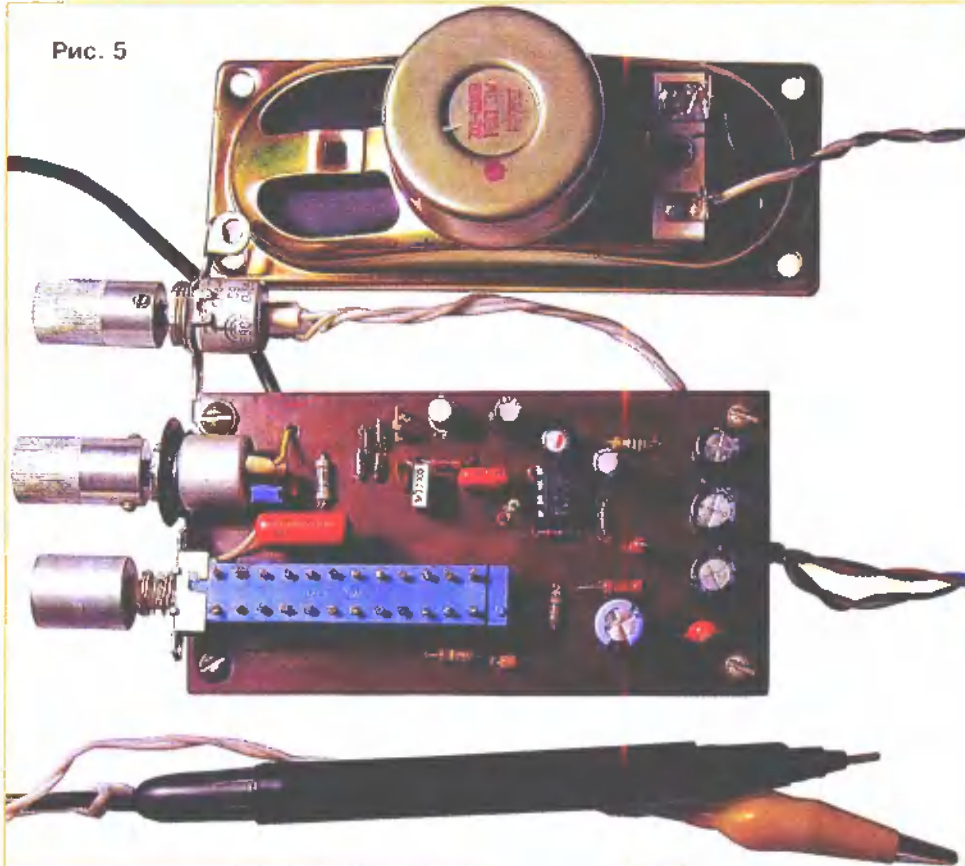
выходной сигнал поступает на неинвертирующий, а через цепь R1R2C6 — на инвертирующий вход УЗЧ DA1. На его выходе формируются прямоугольные импульсы с амплитудой около 6 В (при напряжении питания 9 В), а резистор R2 теперь работает как регулятор частоты их следования. Для указанных на схеме номиналов резисторов R1, R2 и конденсатора C6 частоту можно перестраивать в диапазоне 0,14...6 кГц. Диоды VD5, VD6 защищают микросхему DA1 от повреждения, если в режиме

генератора щуп прибора будет подключен к цепи с высоким напряжением. Переменным резистором R9 регулируют амплитуду выходных импульсов, которые через конденсатор C1 поступают на выход устройства.

Большинство деталей размещают на печатной плате из односторонне фольгированного стеклотекстолита, чертеж которой показан на **рис. 4**. Применены постоянные резисторы МЛТ, С1-4, С2-23, переменные — СП4-1. Конденсатор C1 — малогабаритный пленочный фирмы Philips. Если предполагается использовать устройство для ремонта ламповой аппаратуры, то этот конденсатор должен иметь номинальное напряжение не менее 300 В, можно применить, например, конденсаторы серии К73. Конденсатор C6 также желательно использовать пленочный, С5 — керамический для поверхностного монтажа, он установлен со стороны печатных проводников в непосредственной близости к выводам 4 и 6 микросхемы DA1. Оксидные конденсаторы — импортные аналоги отечественных конденсаторов К50-35. Если высота смонтированной платы не имеет значения, то взамен конденсаторов C7, C8, C10 можно установить один емкостью 1500...2200 мкФ. Полевой транзистор КП303В заменим на 2П303Б, 2П303В, КП303Б, диоды 1N4148 — любыми из серий КД521, КД522, взамен диода КД208А подойдет любой из серий КД209, КД243, 1Н400х. Динамическая головка — мощностью 0,5...2 Вт, желательно широкополосная с сопротивлением катушки 8...16 Ом. Кнопочный переключатель — Р2К с восьмью группами контактов. Выносной щуп сделан на основе корпуса маркера или авторучки (**рис. 5**).

Поскольку звуковой пробник чувствительный, для снижения влияния наводок плату желательно поместить в экран, спаянный из меди или белой жести. Для питания можно использовать любой сетевой блок питания (адаптер) с выходным постоянным напряжением 5...12 В и током до 100 мА, подойдет адаптер и без выпрямителя с выходным переменным напряжением 5...8 В. Если применить батарейное питание, следует учесть, что ток, потребляемый устройством в режиме пробника (при отсутствии входного

Рис. 5



сигнала), не более 6 мА, при максимальной громкости — 80...100 мА (при сопротивлении нагрузки 16 Ом), а в режиме генератора (без нагрузки) — около 8 мА.

Собранные без ошибок и из исправных деталей устройство налаживание не требует. При желании максимальный коэффициент усиления можно уменьшить, включив последовательно с конденсатором С11 резистор сопротивлением несколько килоом, для увеличения усиления следует включить параллельно резистору R5 оксидный конденсатор (плюсовым выводом к истоку полевого транзистора) емкостью 47...100 мКФ на напряжение не менее 6,3 В.

Кроме уже упомянутых вариантов применения этого устройства, его можно использовать как микрофонный усилитель, искатель скрытой проводки с датчиком на воспроизводящей головке от аудиомагнитофона, как громкоговорящую телефонную приставку, а также для проверки микрофонов, электромагнитных, пьезокерамических капсюлей, динамических головок.

Редактор — И. Нечаев,
графика — И. Нечаев, фото — автора

МОДУЛЬНАЯ РЕКЛАМА

ТОЛЬКО ЛУЧШИЕ КОНСТРУКЦИИ

Программаторы AVR и PIC, цифровая и аналоговая звукотехника, тюнеры, бытовая электроника, светодиодные фонари, комплектующие.

Большой ассортимент готовых изделий и модулей.

Для заказа каталога — чистый конверт с обратным адресом,

115201, Москва, а/я 4.

www.new-technik.ru

* * *

Интернет-магазин ЧИП-НН.

Микроконтроллеры PIC, AVR, ЖКИ, датчики и др.
радиодетали почтой.

<http://www.chipnn.ru>



Телефония

и

Электронные Компоненты

- Микросхемы, Диоды
- Транзисторы, Светодиоды
- Оптроны, Стабилитроны
- Резисторы, Конденсаторы
- Трансформаторы, Реле
- Телефонная аппаратура
- Магазин для радиолюбителей
- Оптовая торговля
- Поставки на заказ
- Доставка в Москву и регионы (от 1000руб.)

Санкт-Петербург

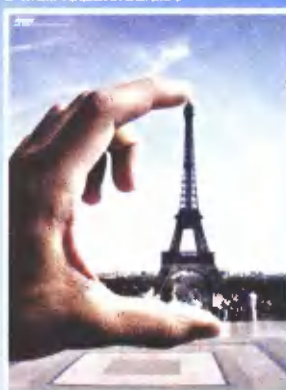
ул.Гатчинская д.31-33 "Б" (м.Чкаловская)

www.tec.org.ru

(812) 235-31-45, 235-41-66, 716-38-00



107477 г. Москва, Черкизовский пр-д, д. 7, стр. 1
(495) 775-43-19, 462-44-14, 462-41-75
e-mail: radial@radial.ru



Построй
свою
башню



www.electelie.com/

Электронно-релейный регулятор напряжения

Г. ГАДЖИЕВ, с. Ново-Георгиевка, Дагестан

Стабилизатор предназначен для грубой стабилизации переменного напряжения на нагрузке мощностью до 275 Вт и собран на основе унифицированного сетевого понижающего трансформатора, который использован как автотрансформатор.

Предлагаемое устройство обеспечивает грубую регулировку переменного напряжения. При изменении сетевого напряжения в пределах 150...260 В напряжение на нагрузке изменяется в интервале 187...242 В, что вполне допустимо для многих бытовых электроприборов. Схема устройст-

ва показана на рисунке. Оно содержит понижающий трансформатор T1, который включен как автотрансформатор, выпрямитель, таймер задержки включения выходного напряжения и два пороговых устройства. Резистор R1 и конденсатор C2 образуют цепь подавления выбросов напряжения при коммутации вторичных обмоток. Выпрямитель содержит диодный мост VD1 и сглаживающий конденсатор C1. Конденсаторы C3 и C4 устраняют кратковременные изменения (выбросы) выпрямленного напряжения. Таймер задержки включения собран на элементах VT3, R6, C5.

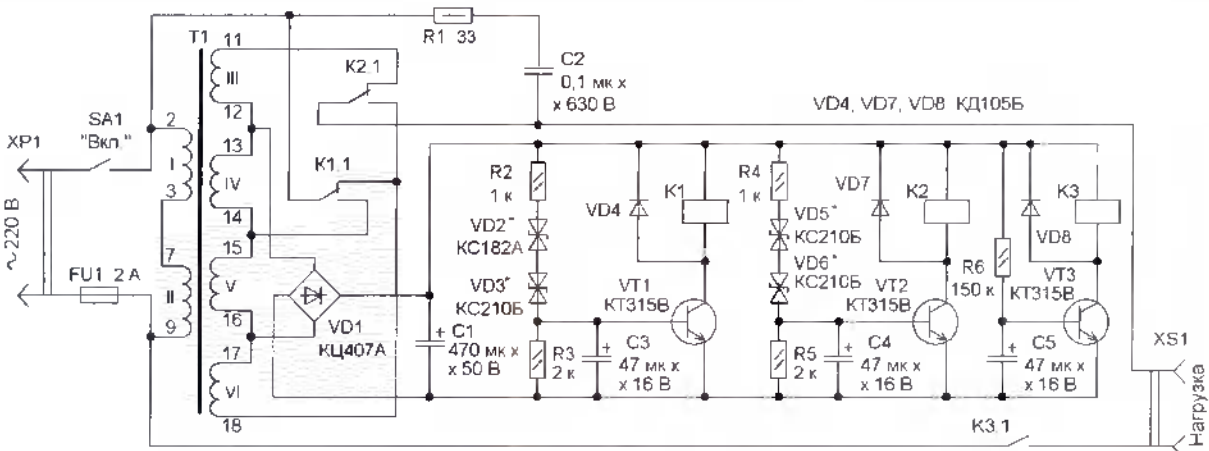
Первое из пороговых устройств собрано на транзисторе VT1, стабилитронах VD2, VD3, резисторах R2, R3 и конденсаторе C3. В коллекторную цепь транзистора VT1 включено реле K1, которое своими контактами переключает обмотки трансформатора T1. Диод VD4 защищает транзистор VT1 от напряжения самоиндукции, возникающее на обмотке реле при закрывании транзистора. Конденсатор C3 сглаживает кратковременные броски выпрямленного напряжения, пульсации и помехи. Второе пороговое устройство собрано по аналогичной схеме на элементах VT2, VD4, VD5, R4, R5, C4.

При напряжении сети менее 190 В напряжение на выходе выпрямителя недостаточно, чтобы сработало хотя бы

одно пороговое устройство, поскольку все стабилитроны закрыты. Положение контактов реле соответствует показанному на схеме. Через 1...2 с напряжение на конденсаторе C5 станет достаточно для открывания транзистора VT3, реле K3 сработает и своими контактами K3.1 подаст на нагрузку напряжение —

Д813, серии Д814 и т. д. Реле — РЭН34 (паспорт ХП4.500.000-01) или другие аналогичные с рабочим напряжением около 24 В. Можно, например, применить импортные TR90, TR91, TRL, TRK на такое же напряжение срабатывания и с переключающим контактом с коммутируемым током не менее 1,5 А. Трансформатор — ТПП1270-127/220-50 (номинальная мощность — 57 Вт).

Налаживают стабилизатор, подключив его к выходу ЛАТРа при включенной реальной нагрузке, чтобы была учтена реакция трансформатора T1 на эту нагрузку. Напряжение срабатывания пороговых устройств устанавливают подборкой стабилитронов на различные напряжения стабилизации. При этом последовательно со стабилитронами можно включить один или несколько диодов (кремниевых или германиевых).



Предлагаемый стабилизатор успешно эксплуатируется совместно с холодильником (мощность — около 250 Вт) в течение двух лет и показывает высокую надежность в работе.

Редактор — И. Нечаев, графика — И. Нечаев

МОДУЛЬНАЯ РЕКЛАМА

Интернет-магазин

ELITAN.RU

500 000 компонентов со склада, минимальный заказ не ограничен.

12 способов доставки.

Оплата: банк, почта, WebMoney, MasterCard, ЯндексДеньги, Visa.

Отслеживание заказа на сайте.

Сайт: www.elitan.ru

e-mail: info@elitan.ru

Высылаем почтой радиолюбительские наборы, радиодетали.

Каталог бесплатный. Конверт с обратным адресом обязателен.

E-mail: pplecom@udm.ru.
426034, Ижевск, а/я 3503.

ИК приемник для дистанционного управления компьютером

Н. ХЛЮПИН, г. Киров

С развитием технологий мультимедиа все чаще возникает вопрос о дистанционном управлении компьютером. Ведь у телевизоров или музыкальных центров пульты дистанционного управления (ПДУ), как правило, есть, так почему бы не управлять и компьютером на расстоянии? Можно, конечно, воспользоваться беспроводной клавиатурой или мышью. Однако с клавиатурой обычного формата лежать на диване, мягко говоря, неудобно, а водить мышью по стене — тоже не лучший вариант.

Можно приобрести специальный пульт, подключаемый к USB или последовательному порту компьютера. Но такие пульты довольно редки и, как правило, не универсальны, а рассчитаны на управление только определенными программами.

Автор предлагает, изготавлив ИК приемник, взаимодействующий с компьютером пошине USB, пользоваться ПДУ от любого бытового прибора как выносной клавиатурой. Соответствие между кнопками пульта и имитируемыми ими клавишами или их комбинациями задается при программировании микроконтроллера приемника.

Существует вариант системы дистанционного управления компьютером на основе утилиты WinLIRC, описание которого можно найти на сайте <<http://winlirc.sourceforge.net>>. Он работает,

но нельзя ли превратить в дополнительную клавиатуру, работающую дистанционно параллельно основной, обычный ПДУ? Приемник его команд, подаваемых по ИК каналу, должен под-

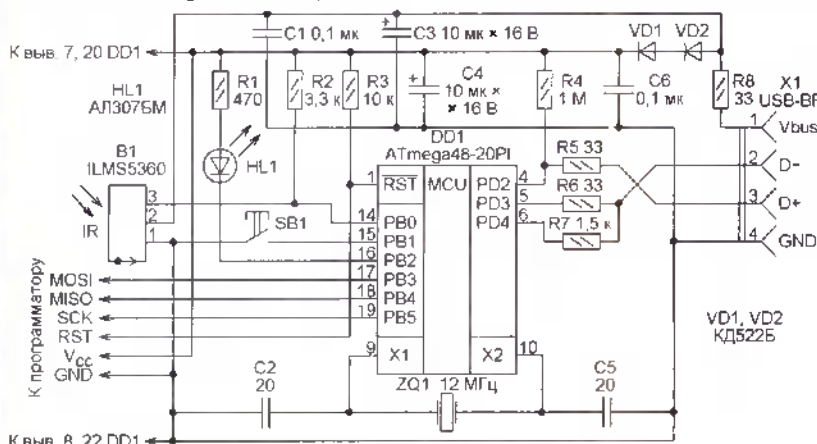


Рис. 1

как утверждают разработчики, с любым ПДУ. Достаточно подключить обычный модуль ИК приемника к COM-порту компьютера. Затем, правда, придется установить специализированное программное обеспечение и долго настраивать его. Платой за простоту станет возможность управлять ограниченным кругом приложений, причем далеко не всегда и не все команды будут декодированы безошибочно.

В плане универсальности идеальное устройство управления компьютером — клавиатура, работающая под любыми операционными системами без каких-либо дополнительных драйверов. В подавляющем большинстве программ предусмотрено управление с помощью "горячих клавиш", а если этого недостаточно, то существует большое число специализированных программ, позволяющих создавать клавиатурные макроМанды.

ключаться к компьютеру пошине USB (порты COM и PS/2 постепенно исчезают из стандартной конфигурации), а воспринимать эти команды операционная система компьютера должна так же, как нажатия на клавиши обычной клавиатуры.

Проще всего эту задачу можно решить, используя микроконтроллер со встроенным аппаратным интерфейсом USB. К сожалению, экономически это не оправдано, поскольку стоимость таких микроконтроллеров в несколько раз больше, чем аналогичных по возможностям, но без USB. К счастью, распространенные микроконтроллеры семейства AVR дают возможность реализовать низкоскоростной обмен информацией по USB программно.

За основу разработки предлагаемой системы дистанционного управления был взят программный драйвер USB для микроконтроллеров AVR, детальную информацию о котором можно найти по адресу <<http://www.obdev.at/products/avrusb/index.html>>. Австрийская компания OBJECTIVE DEVELOPMENT предлагает его для свободного некоммерческого использования.

ПДУ можно использовать любой самого распространенного стандарта RC-5. Принципиальных ограничений на использование пульта другого стандарта нет, но это потребует доработки фрагмента программы микроконтроллера, отвечающего за декодирование команд.

Схема подключаемого к компьютеру приемника команд "дистанционной клавиатуры" показана на рис. 1. Передаваемые ПДУ сигналы принимает и демодулирует модуль ИК приемника B1. Обрабатывает демодулированные сигналы и взаимодействует с компьютером пошине USB микроконтроллер DD1 по записанной в него программе. Диоды VD1, VD2 необходимы для уменьшения до 3...3,6 В напряжения питания микроконтроллера, а значит, и уровней на линиях D+ и D- интерфейса USB.

Детали приемника смонтированы на односторонней печатной плате, изображенной на рис. 2. Она рассчитана на применение резисторов и конденсаторов (кроме оксидных) типоразмера 0805

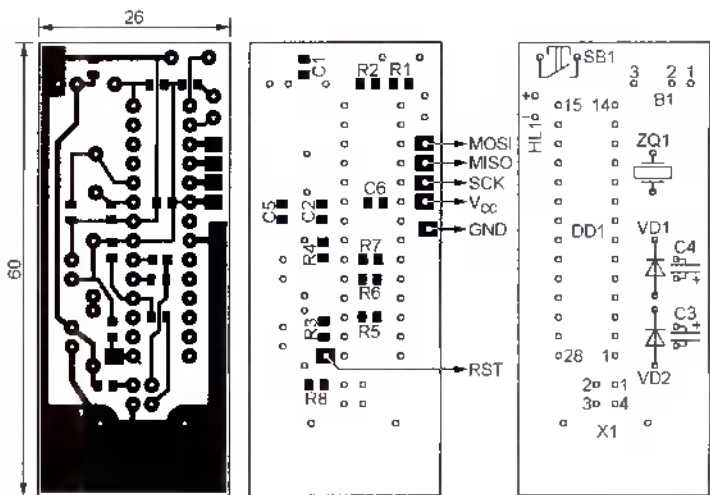


Рис. 2

для поверхностного монтажа. Плату помещают в корпус подходящего размера с отверстиями для доступа ИК излучения к модулю В1, для толкателя кнопки SB1, для светодиода HL1 и для подключения к разъему X1 стандартного USB-кабеля. При необходимости можно установить на одной из стенок корпуса миниатюрный разъем для подключения программатора к микроконтроллеру.

В программную память микроконтроллера должны быть записаны коды из прилагаемого к статье файла `usb_rc5.hex`. Конфигурация микроконтроллера должна быть следующей (0 — ячейка запрограммирована, 1 — не запрограммирована): `SELFPRGEN=1, RSTDISBL=1, DWEN=1, SPIEN=0, WDTON=1, EESAVE=1, BODLEVEL2=1, BODLEVEL1=0, BODLEVEL0=1, CKDIV8=1, CKOUT=1, SUT1=1, SUT0=1, CKSEL3=1, CKSEL2=1, CKSEL1=1, CKSEL0=1`. Помните, что неправильное состояние некоторых конфигурационных ячеек может полностью нарушить работу микроконтроллера.

После подключения устройства к свободному разъему USB компьютера операционная система Windows опознает его и установит необходимый драйвер. Через несколько секунд в окне диспетчера устройств можно будет увидеть USB HID устройство "Remote keyboard".

Если этого не произойдет, в первую очередь нужно убедиться, что в операционной системе компьютера возможность работы с USB клавиатурой предусмотрена. Для этого достаточно хотя бы временно подключить к нему обычную клавиатуру с интерфейсом USB и проверить ее работоспособность.

Теперь можно начать настройку системы ДУ. Для этого нужно из рабочего режима приемника, который автоматически устанавливается после подключения его к компьютеру, перейти в режим настройки и контроля. Делают это кратковременным нажатием на кнопку SB1, при этом включится светодиод HL1. На компьютере следует запустить любой текстовый редактор, например "Блокнот", включить английскую раскладку клавиатуры и нажать на какую-либо кнопку ПДУ. Если пульт работает в стандарте RC-5, в окне редактора будет напечатано примерно следующее:

`002a=`

Первые две шестнадцатеричные цифры этого сообщения — номер системы, которой адресована команда пульта, он может находиться в пределах \$00—\$1F. Следующие две цифры — код нажатой кнопки ПДУ (\$00—\$7F). Так можно определить коды всех кнопок пульта, номер системы в командах пультов, предназначенных для управления одним устройством (например, телевизором), обычно не изменяется. Если при многократном нажатии на одну и ту же кнопку текст в окне редактора остается прежним, значит, команды устойчиво декодируются и можно переходить к программированию соответствия кнопок и клавиш.

Записав на листе бумаги коды всех кнопок пульта, следует определиться, какая функция будет присвоена каждой из них. Целесообразно часть кнопок настроить на имитацию системных "горячих клавиш". Их полный список для Windows XP можно найти, пройдя по пути: "Пуск→Справка и поддержка→Настройка компьютера→Клавиатура и мышь→Общие сведения о сочетаниях клавиш Windows". Наиболее нужны, на мой взгляд, следующие:

`WIN` — вызвать меню "Пуск";
`МЕНЮ` — вызвать контекстное меню;
`WIN+D` — свернуть все окна;
`Alt+F4` — закрыть активное окно;
`Alt+Esc` — переключение между запущенными приложениями;
`Alt+Пробел` — вызвать системное меню активного окна.

В справочной информации, встроенной в конкретное приложение, всегда можно найти список его "горячих клавиш". Во многих случаях их можно назначить самостоятельно. Например, для управления популярным плеером PowerDVD используются следующие основные клавиши:

`Ctrl+O` — открыть файл;
`S` — стоп;
`Пробел` — пауза;
`P` — перейти к предыдущей записи;
`N` — перейти к следующей записи;
`Z` — включить полноэкранный режим; .eseg ; сегмент EEPROM
`B` — перемотать ускоренно назад; ; начальный адрес
`F` — перемотать ускоренно вперед; ; версия
`+` — увеличить громкость; .db \$00, \$01
`-` — уменьшить громкость; .db \$00, \$FF, \$FF, \$FF, \$FF ; система 00
`Ctrl+P` — включить паузу; .org \$08
`Ctrl+Shift+P` — выключить паузу; .db \$2A ; кнопка POWER пульта
`Ctrl+Shift+Enter` — включить паузу; .db \$E2, \$3D, \$FF ; LeftAlt+F4 — закрыть окно
`Ctrl+Shift+Delete` — выключить паузу; .db \$15 ; кнопка MUTE пульта
`Ctrl+Shift+Shift+Delete` — включить паузу; .db \$E0, \$12, \$FF ; LeftCtrl+O — открыть файл
`Ctrl+Shift+Shift+Shift+Delete` — выключить паузу; и т. д. для всех кнопок пульта.

Можно назначить комбинации клавиш для запуска приложений, ярлыки которых находятся на рабочем столе. Для этого следует навести курсор на ярлык, нажать на правую кнопку мыши и в выпавшем меню выбрать пункт "Свойства". Затем, поставив курсор в поле "Быстрый вызов" на вкладке "Ярлык", необходимо выбрать и нажать клавишу на клавиатуре. После этого запускать это приложение можно комбинацией вида `Ctrl+Alt+клавиша`.

В общем, самое главное — определиться, для чего нужно дистанционное управление, и выбрать, какую функцию будет выполнять каждая кнопка пульта. Сделав это, можно готовить файл с информацией для записи в EEPROM микроконтроллера приемника.

Его нулевой и первый байты не используются, в них можно записать любую информацию, например, номер версии. Байты со второго по седьмой предназначены для хранения номеров систем. Приемник будет реагировать на любой номер из этого списка. Учитывая, что номер системы обычно одинаков для всех кнопок пульта, достаточно записать его только во второй байт, а остальные пять оставить незапрограммированными, т. е. содержащими коды `FFF`.

Начиная с восьмого байта, записывают информацию о кнопках ПДУ и имитируемых ими клавишах. Каждой кнопке может соответствовать от одной до шести одновременно нажатых основных клавиш и до восьми модифицирующих (правые и левые клавиши Shift, Ctrl, Alt, Win). Завершает список признак конца команды — байт `FFF`.

В качестве примера в **таблице** приведен фрагмент файла для загрузки в EEPROM, написанный на языке ассемблера. Этому файлу нужно дать имя с расширением `.asm` и преобразовать его в файл `.eep` с помощью ассемблера, например, AVRASM из пакета AVRStudio. Последняя версия этого пакета всегда

Esc \$29	F1 \$3A	F2 \$3B	F3 \$3C	F4 \$3D	F5 \$3E	F6 \$3F	F7 \$40	F8 \$41	F9 \$42	F10 \$43	F11 \$44	F12 \$45	Print Screen \$46	Scroll Lock \$47	Pause \$48	□	□	□	
~ \$35	1 \$1E	2 \$1F	3 \$20	4 \$21	5 \$22	6 \$23	7 \$24	8 \$25	9 \$26	0 \$27	= \$2D	= \$2E	\ \$31	← \$3A					
Tab \$2B	Q \$14	W \$1A	E \$08	R \$15	T \$17	Y \$1C	U \$18	I \$0C	O \$12	P \$13	[\$2F] \$30	Enter						
Caps Lock \$39	A \$04	S \$16	D \$07	F \$09	G \$0A	H \$0B	J \$0D	K \$0E	L \$0F	:	" \$33	\$34							
Shift \$E1	Z \$1D	X \$1B	C \$06	V \$19	B \$05	N \$11	M \$10	< \$36	> \$37	? \$38	Shift \$E5								
Ctrl \$E0	Win \$E3	Alt \$E2			Space \$2C				Alt \$E6	Win \$E7	Menu \$65	Ctrl \$E4	↑ \$52						
													Insert \$49	Home \$4A	Page Up \$4B	/ \$54	* \$55	- \$56	
													Delete \$4C	End \$4D	Page Down \$4E	7 \$5F	8 \$60	9 \$61	+
															4 \$5C	5 \$5D	6 \$5E	\$57	
															1 \$59	2 \$5A	3 \$5B	Enter \$58	
															0 \$62	↓ \$51	→ \$4F		

Рис. 3

доступна на <<http://www.atmel.com>>.

Коды клавиш USB клавиатуры имеются в документе "HID Usage Tables 10/28/2004 Version 1.12", который можно найти на сайте <<http://www.usb.org>>. Они же приведены на рис. 3. Обратите внимание, что эти коды не имеют ничего общего с ASCII кодами букв и символов, написанных на клавиатурах.

После того как коды из подготовленного файла .scr будут записаны в EEPROM микроконтроллера, приемник нужно вновь подключить к компьютеру и перевести в режим настройки и конт-

роля. В окне текстового редактора коды принятых команд будут сопровождаться кодами имитируемымиими комбинациями клавиш. Например, если в EEPROM записан файл из рассмотренного выше примера, то при нажатии на кнопку ПДУ "POWER" будет выведенено

002a=e2 3d

А при нажатии на кнопку "MUTE"

0015=e0 12

На этом настройка закончена. Чтобы перевести приемник в рабочий режим,

нужно нажать на его кнопку SB1 или отключить приемник от компьютера и через несколько секунд подключить заново. Светодиод HL1 в рабочем режиме выключен, но вспыхивает в момент приема команды. Теперь можно управлять приложениями дистанционно.

От редакции. Программа микроконтроллера приемника и проект его печатной платы в формате Sprint Layout 5.0 находятся на нашем FTP-сервере по адресу <http://ftp.radio.ru/pub/2009/10/usb_rc5.zip>.

Редактор — А. Долгий, графика — А. Долгий

Еще раз о проверке HEX-файлов

П. ВЫСОЧАНСКИЙ, г. Рыбница, Молдавия

Проверка HEX-файлов, в том числе полученных сканированием распечаток или набранных вручную, была посвящена статья А. Долгого "Как проверить HEX-файл" ("Радио", 2003, № 8, с. 27, 28). В ней описана программа, позволяющая найти в HEX-файле ошибки и устраниить их до ввода кодов в программатор. Ее единственный, пожалуй, недостаток в том, что информация о результатах проверки выводится только в окне предупреждений и сообщений об ошибках. Программа, предлагаемая автором публикуемой ниже статьи, более удобна в работе — она выделяет цветом и строку, содержащую ошибку, и сами ошибочные символы в ней. Кроме того, предусмотрено выделение цветом различных областей данных HEX-файла.

Наиболее распространенный вид представления программ для микроконтроллеров (MK) — HEX-формат, разработанный фирмой Intel. Все данные в нем представлены в виде строк текста в ASCII-кодировке. Это позволяет вводить или редактировать коды в любом текстовом редакторе. Но при использовании не специализированного текстового редактора, например "Блокнота", можно легко допустить ошибку, просто нажав на ту кнопку на клавиатуре, и в итоге устройство, для которого предназначена программа, будет работать не так, как задумано, или вообще не подаст признаков жизни. Если искать ошибку, сверяя введенные данные с оригиналом, то на ее поиск может уйти не меньше времени и сил, чем на ввод самой программы, особенно при большом размере последней. Конечно, программное обеспечение программаторов при загрузке файла может обнаружить большинство ошибок, но при этом обычно лишь сообщается о них, а подробная информация о причине и местоположении в файле отсутствует.

Возможный выход из положения — использование специализированной программы, например, описанной в [1], которая позволяет обнаружить подавляющее большинство ошибок. К сожалению, при многих достоинствах у нее есть один недостаток — неправильные данные в строке с ошибкой никак не выделяются.

Предлагаемая вниманию читателей программа Hex_Test лишена этого недостатка — она выделяет недопустимые символы в строке красным цветом. Внешний вид ее главного окна с несколькими загруженными файлами показан на рис. 1. Программа представляет собой текстовый редактор с возможностью подсветки синтаксиса. Она окрашивает различные области данных в разные цвета: начинаящую строку двоеточие — в светло-синий,

значение числа байт — в коричневый, начальный адрес данных — в оранжевый, тип данных — в зеленый, сами данные — в синий, а завершающую строку контрольную сумму — в розовый. Эти цвета можно изменить в настройках программы, выбрав желаемые.

Программа проверяет вводимые данные в режиме реального времени. При обнаружении неточности фон строки окрашивается в светло-красный цвет и перед началом строки появляется красный кружок — маркер ошибки. Если на него навести указатель мыши и щелкнуть левой кнопкой, то появится всплывающее окно с сообщением о виде ошибки (рис. 2). К сожалению, пока вся строка не введена до конца, точно определить наличие или отсутствие некоторых ошибок невозможно. Для того чтобы справиться с этой задачей без усложнения программы, предусмотрена возможность блокировки сообщений об ошибках, когда текстовый курсор находится в конце строки, причем исключаются только те из них, в которых содержится информация о неточностях, об однозначном наличии или отсутствии которых можно узнать после ввода всей строки. Это не сказывается на качестве поиска погрешностей, но позволяет избежать множества сообщений о не существующих на самом деле ошибках. Включается и отключается блокировка с помощью пункта "Скрывать ошибки" контекстного меню, который работает в режиме счетного триггера (один щелчок включает его, а другой — выключает). Признак включенной блокировки — наличиегалочки (рис. 3).

Алгоритм выявления ошибок в режиме реального времени обрабатывает только текущую строку, на которой находится текстовый курсор. Это значит, что программа никак не среагирует, если случайно пропустить строку или ввести одну и ту же несколько раз. Для нахождения подобных погрешностей служит инструмент, вызываемый

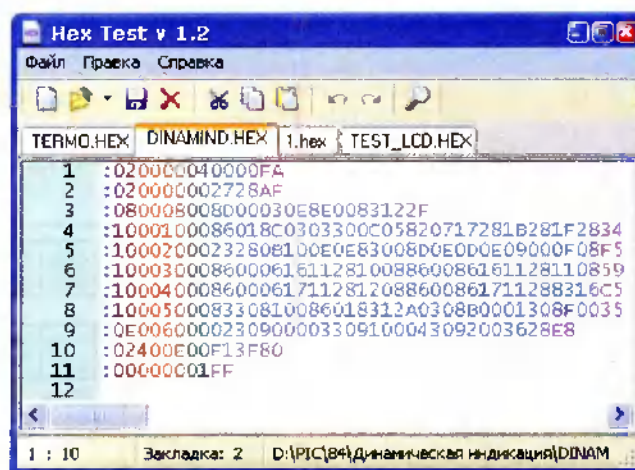


Рис. 1

21 ● :1001300095 л1960197019B019C019D01A301A901D5
22 В строке есть недопустимый символ! \$120808E8
23 T100130008F0000Z0EFOB0319FE2B8FU3313089008A

Рис. 2



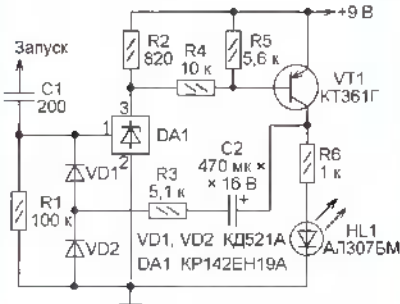
Рис. 3

ОБМЕН ОПЫТОМ

Одновибратор на KP142EH19A

В. ГРИЧКО, г. Краснодар

Предлагаю еще один вариант одновибратора — устройства, предназначенного для генерирования одиночных прямоугольных импульсов заданной длительности и амплитуды в ответ на короткий запускающий импульс. Этот одновибратор, схема которого изображена на **рисунке**, запускается нарастающим перепадом импульса. Он собран на микросхеме KP142EH19A, служащей в данном случае компаратором напряжения.



Запускающий импульс поступает на управляющий вход микросхемы через дифференцирующую цепь R1C1. Положительную обратную связь, необходимую для лавинообразного развития процесса переключения, обеспечивают инвертирующий усилитель на транзисторе VT1 и цепь R3C2. Диоды VD1 и VD2 предотвращают нежелательные отрицательные выбросы напряжения на управляющем входе микросхемы. Длительность генерируемого импульса и равная ей продолжительность свечения светодиода HL1 зависят от сопротивления резистора R1 (при $R1 > R3$) и емкости конденсатора C2. При указанных на схеме номиналах этих элементов она составляет около 10 с. Наблюдается зависимость длительности импульса от напряжения питания, поэтому его необходимо стабилизировать.

При включении и выключении питания описанный одновибратор импульса не генерирует. Однако учтите, что до окончания генерируемого импульса новые импульсы запуска подавать на него не следует.

Такой одновибратор может быть с успехом применен в реле времени, устройствах индикации наличия импульсов, сигнализации и в других устройствах автоматики.

мый с помощью пункта "Поиск ошибок" меню "Файл". При этом открывается окно (**рис. 4**), в котором нужно выбрать типы проверок и нажать на кнопку "Поиск". Если отметить пункт "Построчная проверка", то выполняется такой же поиск ошибок, как при проверке строки в режиме реального времени.

"Поиск пропущенных строк" позволяет выявить пропущенные или стоящие не на месте строки. Алгоритм поиска основан на том, что у каждой следующей строки адрес должен быть больше предыдущей на 1...16 позиций. Это довольно простой алгоритм, и он

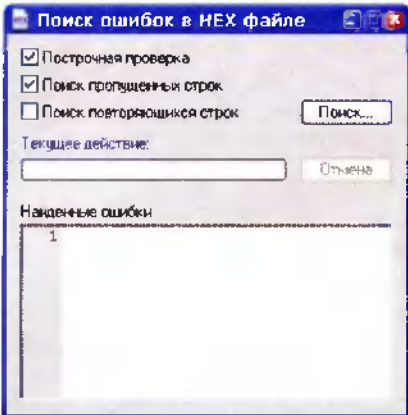


Рис. 4

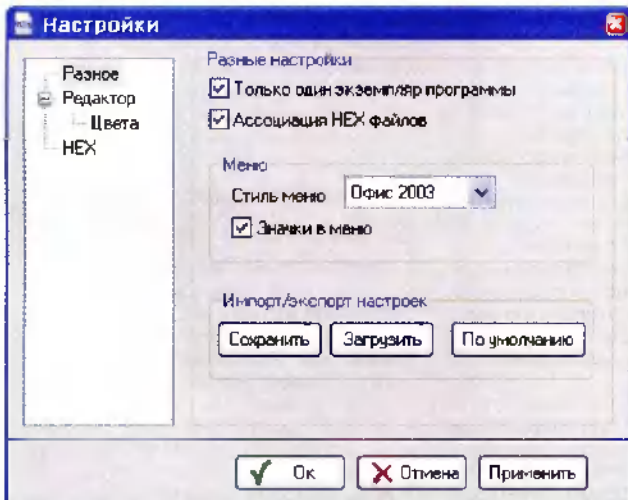


Рис. 5

иногда ошибается, так как в HEX-файле бывают специально введенные разрывы адресов, чтобы уменьшить его размер путем исключения некоторых данных, не несущих полезной информации. Так что к результату проверки нужно относиться не как к ошибке, а как к предупреждению. Активация пункта "Поиск повторяющихся строк" позволяет проверить весь текст на наличие строк с одинаковым адресом данных. Запускается проверка нажатием на экранную кнопку "Поиск", результат отображается в поле "Найденные ошибки".

Для настройки программы в меню "Файл" выбирают пункт "Настройки". В появившемся окне (**рис. 5**) по умолча-

нию открывается раздел "Разное". Здесь можно разрешить запуск только одной копии программы, что очень удобно, если отмечен пункт "Ассоциация HEX-файлов". При щелчке по нескольким файлам с расширением .HEX все они будут открыты на разныхкладках одного окна программы. В области "Меню" можно выбрать желаемый стиль меню. Если необходимо сохранить текущие настройки программы (например, чтобы использовать их на другом компьютере) или загрузить ранее сохраненные, это можно сделать с помощью кнопок из области "Импорт/экспорт настроек". Там же можно сбросить текущие настройки.

В разделе "Редактор" находятся настройки, влияющие на отображение текста. При необходимости можно выбрать другой шрифт, но желательно, чтобы он был моноширинным (все символы одинаковой ширины). Это облегчит работу с файлом. Если выделять цветом участки данных не нужно, следует снять отметку с пункта "Выделять цветом различные области HEX".

В разделе "HEX" можно задать формат слова данных. Дело в том, что некоторые МК используют не 16 бит информационного слова, а только 14 или даже меньше. В таком случае нужно установить формат данных "3FFF". Если же МК использует все 16 бит, следует отметить пункт "FFFF". Пункт "Скрывать ошибки при редактировании строки" дублирует аналогичный из контекстного меню редактора (см. **рис. 3**).

Описанная программа разработана в среде Prite Basic. Она не требует установки и запускается с любого носителя информации. Ее работа была проверена в операционных системах WindowsXP и Windows 7. В качестве специализированного текстового редактора, поддерживающего подсветку синтаксиса, использована динамическая библиотека подпрограмм Scintilla.dll [2].

ЛИТЕРАТУРА

1. Долгий А. Как проверить HEX-файл. — Радио, 2003, № 8, с. 27, 28.
2. Scintilla and SciTE. — <<http://www.scintilla.org/>>.

О редакции. Программа Hex_Test.exe и упомянутая в статье библиотека подпрограмм Scintilla.dll находятся на нашем FTP-сервере по адресу <http://ftp.radio.ru/pub/2009/10/hex_test.zip>.

Редактор — В. Фролов, скриншоты — автора

Редактор — А. Долгий, графика — А. Долгий

Способ ремонта узла подсветки экрана некоторых TFT мониторов и панелей ноутбуков

М. СЫТНИК, г. Харьков, Украина

После нескольких лет эксплуатации современных TFT мониторов и панелей ноутбуков с диагональю экрана 15...19" люминесцентные лампы его подсветки теряют свою первоначальную яркость, а потребляемый ими ток уменьшается. Внешние признаки проблемы — нестабильная яркость подсветки, ее мерцание или полное отключение (сразу после включения или в процессе работы).

Приступая к ремонту, необходимо, прежде всего, убедиться в стабильной работе блока питания монитора (он находится, как правило, на общей плате с остальной электроникой). С помощью обычного осциллографа контролируют

размах пульсаций напряжения в цепях 5 В и 12 В. Если он превышает 100 мВ, фильтрующие и блокировочные конденсаторы в этих цепях следует заменить. Так же поступают, обнаружив "вздутые" конденсаторы. Иногда этого бывает достаточно для полного восстановления работы монитора или ЖК панели ноутбука.

Если подсветка экрана по-прежнему работает нестабильно, можно предложить, что сопротивление одной или нескольких ламп вследствие старения увеличилось, поэтому протекающий через них ток уменьшился до предела, ниже которого контроллер подсветки работать нормально уже не может.

Чтобы определить, какая из ламп "виновна" в произошедшем, подключаем поочередно параллельно каждой из них керамические конденсаторы емкостью 100...1000 пФ на напряжение 1500...2000 В (напряжение на лампу достигает 600 В при частоте 50 кГц). Конденсаторы служат для контроля дополнительной нагрузкой, что в большинстве случаев восстанавливает его нормальную работу.

К сожалению, конструкция большинства мониторов такова, что заменить неисправную лампу практически невозможно. Поэтому, выявив ее, емкость присоединенного параллельно конденсатора подбирают по наиболее устойчивой работе подсветки и оставляют его подключенным постоянно.

Были случаи, когда по описанной методике удавалось восстановить подсветку даже при отсутствии одной или двух ламп, а также после замены неисправного высоковольтного трансформатора в питающем лампы преобразователе напряжения другим трансформатором с несколько отличающимися от оптимальных параметрами.

Редактор — А. Долгий

Восстановление работоспособности вентиляторов

А. ГОРЯЧКИН, г. Кыштым Челябинской обл.

В компьютерной технике широкое применение нашли теплоотводы с принудительным охлаждением. Поток охлаждающего воздуха создает небольшой вентилятор, жестко закрепленный на теплоотводе.

При работе вентилятора происходит постепенный износ подшипников. Со временем частота вращения его крыльчатки начинает снижаться, узел издает при этом неприятные посторонние шумы. Усугубляет износ попадание в механизм пыли.

Особенно это относится к вентиляторам, крыльчатка которых вращается в подшипниках скольжения. Нередко описанный процесс заканчивается остановкой вентилятора, что, в свою очередь, может повлечь выход из строя охлаждаемой микросхемы. Более долговечны вентиляторы с подшипниками качения.

Сказанное выше заставляет периодически (раз в полгода) производить профилактический осмотр и чистку компьютера. Неудовлетворительно работающий вентилятор лучше заменить новым, но если такой возможности нет, можно попытаться его восстановить. Это можно сделать в домашних условиях, без каких-либо специализированных инструментов.

Вентилятор демонтируют из корпуса компьютера и приступают к его разборке. С задней неподвижной части ножом отделяют круглую наклейку, где нанесена информация о производителе и технические характеристики изделия. Под наклейкой расположено небольшое

отверстие, в котором виден торец оси крыльчатки. Иногда оно оказывается закрытым пластиковой пробкой. Тонким шилом или швейной иглой пробку удаляют и аккуратно удаляют с конца оси фторопластовую фиксирующую шайбу. Обычно она имеет подковообразную форму и легко снимается.

Под шайбой находится резиновое уплотнительное кольцо, которое тоже нужно снять. После этого извлекают крыльчатку из корпуса вентилятора и снимают с оси второе резиновое уплотнительное кольцо.

Лопасти крыльчатки очищают от налипшей пыли и грязи под струей теплой воды старой зубной щеткой и мылом, после чего сразу обязательно просушивают электрическим феном. Затем очищают от пыли корпус вентилятора. Чистить статор электродвигателя лучше всего безворсововой салфеткой.

Наиболее тщательно следует промыть чистым бензином канал латунной втулки, в которой вращается ось крыльчатки. Чем меньше изношена латунная втулка, тем дольше прослужит вентилятор. Чистить статор следует осторожно, чтобы не повредить обмотки.

Сборку вентилятора выполняют в обратном порядке. На ось надевают уплотнительное кольцо, смазывают ее тонким слоем жидкого масла для швейных машин, вставляют крыльчатку в корпус вентилятора, надевают второе уплотнительное кольцо и фиксируют ось шайбой. Осевое отверстие нужно обязательно закрыть, чтобы внутри не попадала пыль. Если наклейка потеряла

克莱ющие свойства, отверстие следует заклеить скотчем. После этого вентилятор готов к работе.

Восстановленный таким образом вентилятор послужит еще не один месяц. Процесс ремонта вентиляторов с подшипниками качения мало отличается от описанного. Серьезное отличие состоит лишь в том, что нужно использовать густую смазку, например ЦИАТИМ.

Редактор — Л. Ломакин

МОДУЛЬНАЯ РЕКЛАМА

ИНТЕРНЕТ-МАГАЗИН "EKITS.RU"

Предлагает:

— Заготовки одно- и двустороннего фольгированного стеклотекстолита с нанесенным пленочным фоторезистом — от 120 руб.

— Токовые шунты от 5 А до 2500 А — от 140 руб.

— SVL0005 — монитор сетевого напряжения, миниатюрный модуль. Отображает максимальное, минимальное и текущее напряжение электросети — 460 руб.

— SHL0004-5500K — светодиодный модуль для установки в 50 мм точечные светильники.

А также другие конструкторы и модули.

Внимание! Доставка по России наложенным платежом от 140 руб., предоплатой через Сбербанк от 60 руб. (заполненная квитанция высылается на электронный адрес). Для юр. лиц безналичный расчет.

Минимальный заказ от 1 шт.!

www.ekits.ru ekits@mail.ru

Т/факс. (836) 457-06-36.
425060, а/я 41, г. Звенигород,
Респ. Марий Эл.

GSM-“сторож”

A. ШЕРСТНЕВ, г. Киров

Не так давно о мобильном телефоне можно было только мечтать. А сейчас у многих их один-два при себе, да еще дома лежит без дела морально устаревший или немного поврежденный, но еще вполне работоспособный, — вроде бы не нужен, а выбрасывать жалко. Пришло время его использовать, сделав на его основе, например, GSM-“сторож”.

Предлагаемый сторож предназначен для оповещения по сети сотовой связи о проникновении на охраняемый объект. Основные особенности устройства — во-первых, для его изготовления можно использовать практически любой сотовый телефон, способный рабо-

тать в режиме охраны, горит постоянно — произошло проникновение на объект и был осуществлен вызов по сотовому телефону. Кнопочный переключатель SB1 служит для включения/выключения устройства и быстрой установки в исходное состояние.

Питание устройства осуществляется от аккумулятора мобильного телефона. Если в охраняемом помещении имеется сеть 220 В, то к сотовому телефону подключают штатное зарядное устройство. На счетчик-демодификатор DD3 и микросхему DD2 питающее напряжение поступает постоянно, что необходимо для того, чтобы на управляемых входах ключей DD2.2, DD2.3, DD2.4 был низкий логический уровень и они были “разомкнуты”.

При включении устройства (нажатием на кнопку SB1) подается питающее

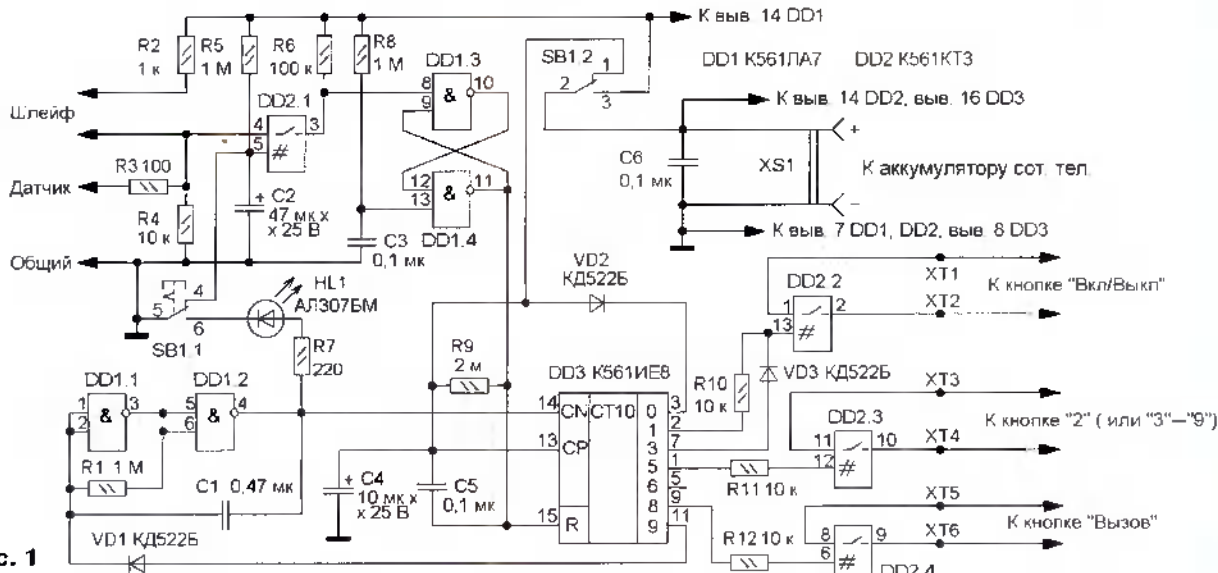


Рис. 1

тать в наших сотовых сетях, а во-вторых, его питание осуществляется от аккумулятора того же сотового телефона. Устройство можно использовать для охраны самых различных объектов: дом, гараж, дачный участок, автомобиль, склад, офис и т. д. Благодаря небольшим размерам и автономному питанию его можно назвать мобильным сторожем на основе сотового телефона или GSM-“сторожем”.

Схема устройства показана на рис. 1. На электронном ключе DD2.1 и RC-цепи R6C2 собран элемент задержки подключения охранного шлейфа (работающего на обрывы) или датчика (работающего на замыкание) от момента включения всего устройства. Задержка (время на выходе) зависит от параметров элементов этой цепи, и для указанных на схеме элементов она составляет около 15 с. На элементах DD1.3, DD1.4 собран RS-триггер, а цепь R8C3 устанавливает его в состояние с высоким уровнем на выходе (вывод 11 DD1.4) после включения устройства.

На счетчике-демодификаторе DD3 и ключах DD2.2—DD2.4 собран узел включения и “нажатия” кнопок сотового телефона. Длительность “нажатия” — около 1 с — задается генератором импульсов, собранном на элементах

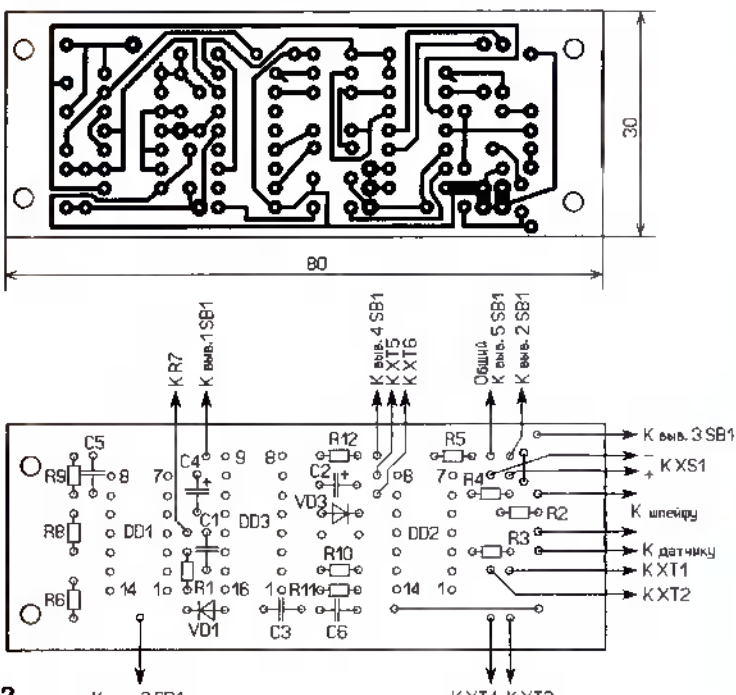


Рис. 2

напряжение на шлейф и микросхему DD1 — запускается генератор импульсов и триггер устанавливается в исходное состояние. Начинается зарядка конденсатора C2, и в этот промежуток времени ключ DD2.1 разомкнут — устройство не реагирует на состояние датчика или шлейфа, и их состояние может меняться многократно. Высокий логический уровень на выходе R счетчика-десифратора DD3 запрещает его работу, и ключи DD2.2—DD2.4 "разомкнуты". Светодиод HL1 при этом вспыхивает с частотой, задаваемой импульсным генератором.



Рис. 3

Когда напряжение на конденсаторе C2 достигнет высокого уровня, ключ DD2.1 "замкнется" и устройство перейдет в режим охраны. При обрыве проводного шлейфа или замыкании контактов датчика на вход RS-триггера поступит низкий логический уровень, он переключится и начнется разрядка конденсатора C4 через резистор R9. Пока он разряжается, необходимо отключить режим охраны кнопочным выключателем SB1, а если этого не сделать в течение примерно 15 с, счетчик-десифратор DD3 начнет работать и на его выходах поочередно будет формироваться высокий логический уровень, который поступает на управляющие входы ключей DD2.2—DD2.4, они коммутируют кнопки сотового телефона, и осуществляется вызов. Диод VD2 необходим для того, чтобы исключить неопределенность состояния входа CR счетчика-десифратора DD3 при изменении напряжения на конденсаторе C4 от высокого к низкому уровню. После начала работы счетчика-десифратора DD3 этот конденсатор быстро разряжается через диод VD2.

Поскольку набор номера требует, как правило, 30 с и более, а рабочий цикл счетчика-десифратора DD3 составляет около 10 с, его выход 9 через диод VD1 соединен с генератором импульсов. После появления высокого уровня на этом выходе работа генератора импульсов прекращается и на выходе элемента DD1.2 становится высокий уровень — светодиод HL1 светит постоянно. Выключение устройства осуществляют повторным нажатием на кнопку SB1.

После выбора мобильного телефона необходимо определить, какое минимальное число кнопок необходимо задействовать для набора номера. Кнопка "Вкл./Выкл." используется во всех сотовых телефонах, при ее кратковремен-

ном нажатии он переходит из выключеного состояния во включенное. Для удаления информации о поступивших звонках или полученных SMS-сообщениях вполне достаточно двукратного нажатия на эту кнопку, что осуществляет ключ DD2.2, а управляющее напряжение поступает на него через резистор R10 (первое "нажатие") с выхода 1 и через диод VD3 (второе) с выхода 3 счетчика-десифратора DD3.

Далее необходимо активировать в сотовом телефоне функцию быстрого набора номера. Ее суть заключается в том, что при нажатии и удерживании кнопки "2" (или "3...9") происходит набор ранее записанного в память телефона определенного номера. В некоторых моделях телефонов для дальнейшего набора номера требуется дополнительно нажать на третью кнопку — "Вызов", что реализуется с помощью ключа DD2.4. Если же достаточно по-

ков, место для установки дополнительного диода предусмотрено на плате. Подключение устройства к мобильному телефону производится в любом удобном месте на его плате. В авторском варианте удобнее всего оказалось припаять к контактным площадкам кнопок отрезки провода ПЭВ-2 0,15, которые были уложены внутри телефона и припаяны к шестиконтактной переходной печатной плате из односторонне фольгированного стеклотекстолита, приклейенной в свободном месте (рис. 3). К этой плате припаяны соединительные изолированные провода. Для подключения питающего напряжения применена двухконтактная вилка. Внешний вид собранного "сторожа" показан на рис. 4.

В устройстве использованы резисторы МЛТ, оксидные конденсаторы — импортные, остальные керамические — К10-17. Диоды КД522Б (VD1—VD3) можно заменить любыми маломощными магнагаритными импульсными или выпрямительными. Микросхемы K561LA7, K561KT3, K561IE8 заменимы на CD4011, CD4066 и CD4017 соответственно.

Для подключения устройства к автомобилю необходимо соединить корпус автомобиля и общий провод устройст-

Рис. 4



следовательного нажатия на две кнопки, то между выходом 6 (вывод 5) и выводом 12 ключа DD2.3 следует установить диод (анодом к выводу 5 DD3), чтобы увеличить продолжительность нажатия на кнопку быстрого вызова в два раза.

Большинство деталей размещены на печатной плате из односторонне фольгированного стеклотекстолита, чертеж которой показан на рис. 2. Диод VD2 установлен со стороны печатных проводни-

ва, а затем подключить датчик, один контакт которого должен быть также соединен с корпусом автомобиля.

Налаживание сводится к установке желаемых временных интервалов "на выход", "на вход" и частоты генератора импульсов изменением номиналов RC-цепей R6C2, R9C4 и R1C1 соответственно.

Редактор И. Нечаев, графика — И. Нечаев,
фото — автора

Сигнализатор для холодильника

В. СУРОВ, г. Горно-Алтайск

Предлагаемый светозвуковой сигнализатор предназначен для контроля положения двери холодильной камеры и температуры в ней. Об оставленной открытой двери холодильника и о слишком высокой температуре в нем он подает световые и звуковые сигналы. Работа сигнализатора основана на том, что свет имеющийся в холодильной камере лампы накаливания, включающейся при открытой двери, попадает на фотоэлемент, напряжение на котором в этой ситуации возрастает. Для контроля температуры внутри холодильной камеры установлен датчик, его показания периодически сравниваются с порогом, равным +15 °C.

Схема сигнализатора изображена на рис. 1. Примененный в нем МК PIC12F675 (DD1) имеет встроенный модуль десятиразрядного АЦП. Работая

по программе, представленной в таблице, МК отслеживает напряжение на фотодиоде BL1, показания датчика температуры BK1 и выдает на выходы порта микроконтроллера сигналы управления двухцветным светоизлучателем HA1. Микроконтроллер настроен на работу с внутренним таймером частотой 4 МГц, программа использует таймер TMR1. Линия третьего разряда порта МК служит аналоговым входом АЦП. В качестве фотодиода BL1 применен обычный светоизод красного свечения АЛЗ07БМ. Микросхема DA1 — стабилизатор напряжения питания.

В дежурном режиме постоянно включен зеленый кристалл светоизода HL1. Когда дверь холодильника открыта, зеленый кристалл гаснет, но с частотой 1 Гц мигает красный. Если через 45 с

сигнализатор выполнен на плате из односторонне фольгированного гетинакса (рис. 2), помещенный в пластмассовый корпус. Оба резистора — типо-размера 0805 для поверхностного монтажа. Они припаяны со стороны печатных проводников. Светоизод L-59EGC можно заменить другим двухцветным с общими катодами кристаллов, например, отечественным АЛЗ331А.

Датчик температуры и фотоэлемент рекомендуется сделать выносными, так как они должны быть размещены внутри холодильной камеры. Длина проводов между ними и платой сигнализатора может достигать нескольких метров. Так как лампа подсветки холодильной камеры — источник тепла, датчик температуры следует устанавливать подальше от нее. Фотодиод же располагают поближе к лампе и направляют чувствительной поверхностью прямо на нее.

Учитывая большое разнообразие типов бытовых холодильников, каждый со своими конструктивными особенностями, место для сигнализатора следует выбирать исходя из конкретных условий. Светоизод HL1 и звукоизлучатель HA1 тоже можно вынести с платы на удобное для наблюдения и обеспечивающее хорошую слышимость сигналов место. Питают сигнализатор от источника постоянного напряжения 9...12 В. Это может быть подходящий сетевой адаптер, подключенный непосредственно к имеющемуся внутри холодильника цепям 220 В.

От редакции. Программа микроконтроллера сигнализатора имеется на нашем FTP-сервере по адресу <http://ftp.radio.ru/pub/2009/10/cold.zip>.

Редактор — А. Долгий, графика — А. Долгий

МОДУЛЬНАЯ РЕКЛАМА

Курсы дистанционного обучения программированию микроконтроллеров. Макетные платы для ATMega128, MP3, USB-Flash. Программаторы микроконтроллеров. Конструкторы для сборки сигнализаций GSM.

Разработка электронных устройств и программ на заказ.

E-mail: radio73@rambler.ru,

micro51@mail.ru

www.electroniclab.ru

Тел. 8-912-619-5167 (с 07.00 до 18.00 мск. вр.).

* * *

Электронные компоненты со склада и под заказ, импортные и отечественные. Огромный выбор разъемов, коммутации, реле, кабельной продукции, инструментов, измерительных приборов и многое другое.

Низкие цены, высокое качество.

Наш web-сайт:

www.MSTQUARTZ.RU

E-mail: info@fomel.ru.

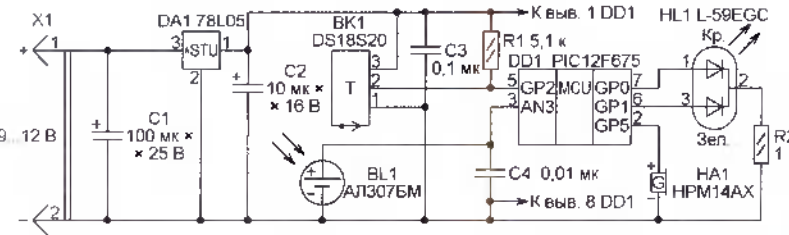


Рис. 1

```

:020000040000FA
:0200000052801
:080008079288316FF23900004
:1000100003085008C010C1438309F008312850180
:10002000B50185178B01073099000330A8000430E3
:10003000A9000530A6003C30AE00B430B300B401CC
:10004000922013090000530AB00040308B00B206A
:10005000A720720B51A572835183B280510851476
:10006000B5013C30AE000530AB008B130330A80067
:100070004304900272885100514B519272839212F
:10008000AE027283C30AE00A90064A280430A90046
:10009000B51527288516392185123921851639216C
:1000A000851239218516392185123921272881788
:1000B00085100514C520C52085187028351D68287E
:1000C0008516331F6B283513A80B6B280330A80045
:1000D00005281288130510C5208512C520728SD
:1000E000351C6B288813351A3B283530DAE00351677
:1000F0003828AF00030EB0000010A0B0B8C28053072
:100100000A0020E01030A0310D86283515A0E283F
:10011000C30AE003511351157920300E8300A0E03
:100120002F0E09003C308F006C308E000080340820
:10013000310270033083203031CA7032704031966
:10014000A528A7816A52885160800051208008D30F4
:100150009F00AA28AB28AC2864009F149F18AE28E3
:1001600064001E0861008316LE0883126200008046
:10017000E120D420231CBE28351100800505AC1FA3
:10018000C328A513A50A31210800FA30AC006E304F
:10019000AD0000000000000000000000000000000000FBA
:1001A000C928A0C872808092920CC3DA4006421DC
:1001B000E30A4000A21F120A500F120A300212106
:1001C0000800E920C30A4000A214430A4000A2110
:1001D000FF341D21211323026211D2132302621DC
:1001E00008000830A200A101212120001D2100008
:1001F00000000000000000000000000508A000201D15
:10020000031020190314A10C06302621A20B42898
:1002100021080800830A200A40C031c1329182987
:10022000A2080C2980800212106302621D210294E
:100230002121D2106302621109283160515831240
:1002400008005118316051183120800AC00000098
:1002500000000000000000000000000000000000ACB272997
:10026000080025082620318372933140800351020
:0C0270000800C520C520C520C5200800DE
:02400E0843FED
:00000001FF

```

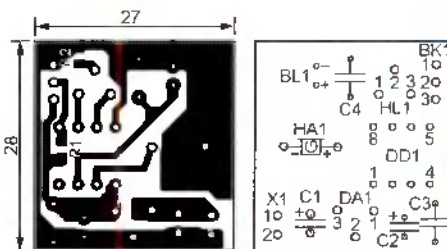


Рис. 2

дверь не будет закрыта, то на 15 с включится звуковой сигнал. Если дверь остается открытой, через 45 с сигнал будет повторен, и так три раза, после чего светоизод продолжит мигать красным цветом, но звуковой сигнал больше подаваться не будет.

Если температура в холодильной камере при закрытой двери превысит 15 °C, красный кристалл светоизода станет светить постоянно. Трижды с периодом в минуту будут повторены серии из трех коротких (длительностью по 1 с) звуковых импульсов. После этого светоизод останется включенным, но звуковых сигналов больше не будет.

В случае, когда и дверь открыта, и температура превысила 15 °C, первый будет подан трехминутная последовательность сигналов об открытой двери холодильной камеры, и лишь за ней прозвучат сигналы о повышенной температуре.

Барометрический высотомер

Д. АЛХИМОВ, г. Смоленск

Предлагаемый вниманию читателей индикатор предназначен для определения относительной высоты. Он может быть полезен, например, альпинистам, дельтапланеристам, парашютистам, а также во всех случаях, когда необходимо измерять высоту. Работа высотомера основана на измерении абсолютного давления воздуха, зависящего от высоты. Отсчет ведется относительно уровня, на котором показания прибора вручную установлены равными нулю.

Как известно, атмосферное давление уменьшается с высотой по закону, близкому к экспоненциальному. Этую зависимость описывает так называемая барометрическая формула

$$P = P_0 e^{-\frac{H-H_0}{kT}}$$

где P — давление на высоте H ; P_0 — давление на высоте H_0 , принятой за нулевую; k — коэффициент, зависящий от состава газа и ускорения силы тяжести; T — абсолютная температура. Для перевода давления в высоту требуется обратное преобразование (вычисление разности логарифмов значений давления на исходной и измеряемой высоте), однако для небольших перепадов высоты эту зависимость можно с

достаточной точностью аппроксимировать линейной.

В предлагаемом приборе использован датчик абсолютного давления MPX4115AP, сигнал которого поступает



Рис. 1

на вход АЦП КР572ПВ5, а результат его работы в цифровой форме выводится на ЖКИ. Дискретность отсчета высоты — 1 м при $H < 2000$ м и 10 м выше 2000 м. Точность вполне достаточна для выполнения парашютных прыжков с высоты не более 4000 м.

Внешний вид закрепленного на руке спортсмена высотомера показан на рис. 1. Он питается от гальванической батареи типа "Крона", потребляя ток около 8 мА. Емкости одной батареи хватают практически на весь сезон парашютных прыжков.

Схема высотомера изображена на рис. 2. Напряжение между выводами 1 и 2 датчика В1 пропорционально абсолютному давлению воздуха. В интервале 0...115 кПа оно изменяется приблизительно от 0 до 5 В. Узел из резисторов

R1—R4 предназначен для установки "нулевой" высоты. Находясь на аэродроме и вращая движок переменного резистора R3, выведенный на лицевую панель прибора "под шлем" (во избежание случайного изменения его положения в воздухе), устанавливают на индикаторе HG1 нулевые показания. Фактически этим сигнал датчика приводят к уровню 3 В, относительно которого в дальнейшем отчитываются все изменения. Напряжение 3 В подано на неинвертирующий вход ОУ DA2 с делителем напряжения, состоящего из резисторов R6, R18 и R14.

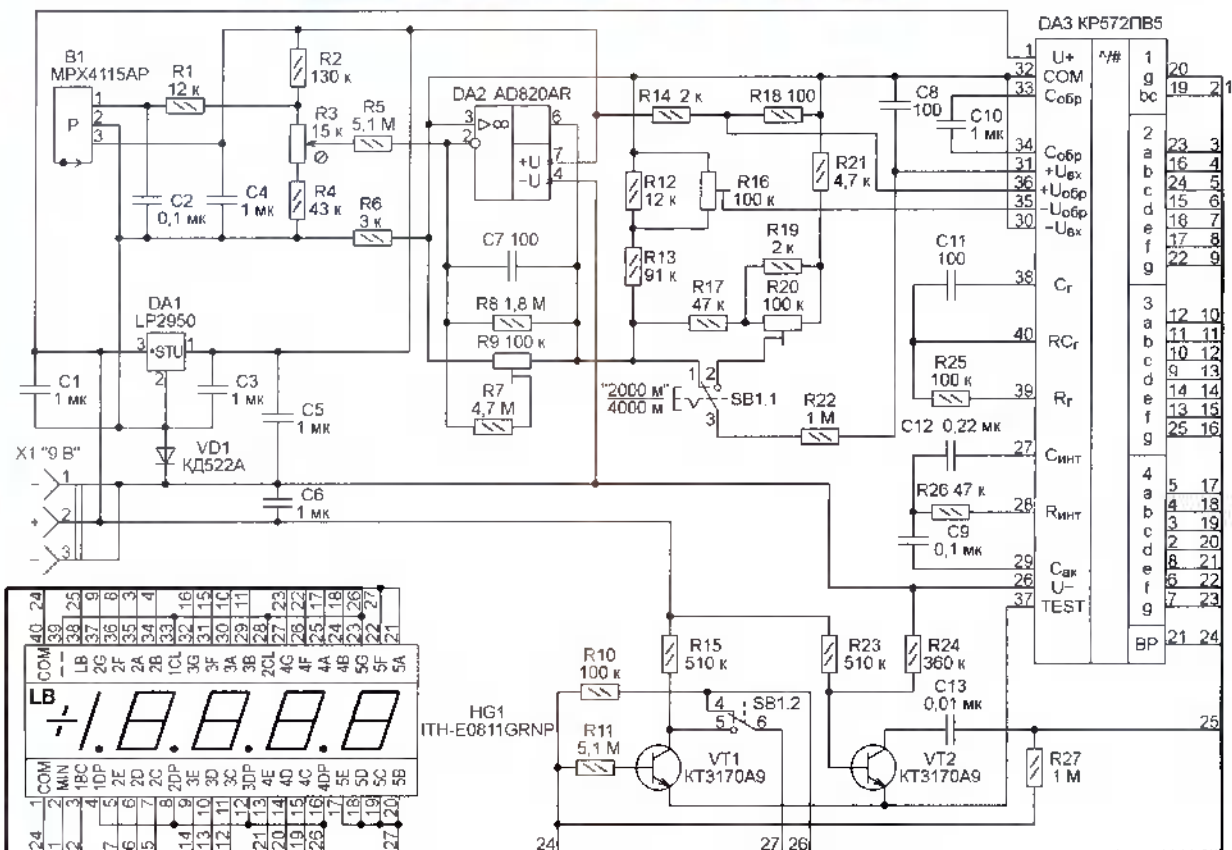


Рис. 2

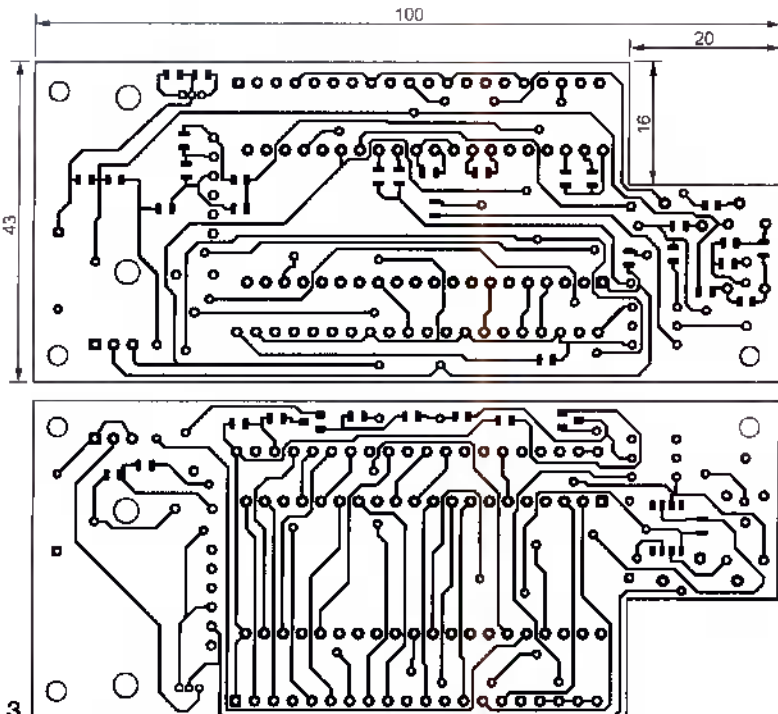


Рис. 3

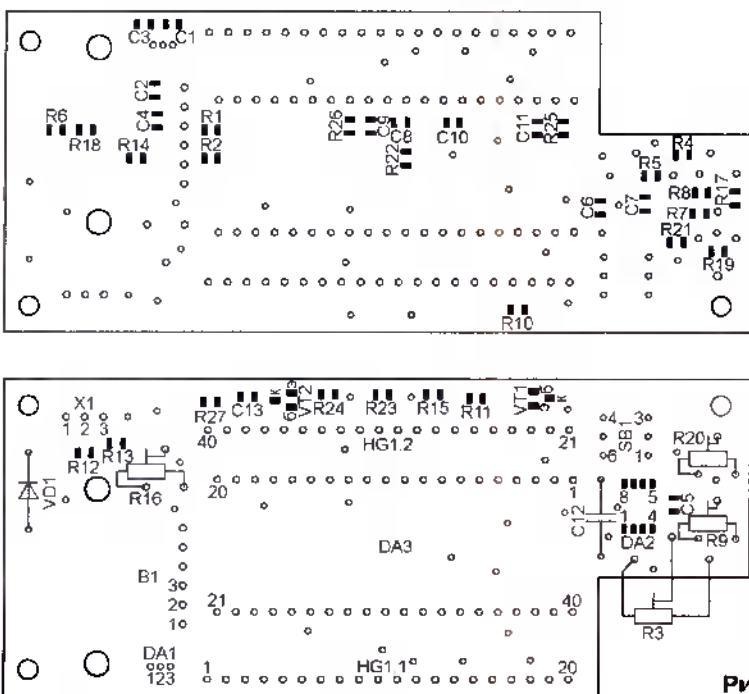


Рис. 4

Необходимый коэффициент передачи узла на ОУ DA2 и, следовательно, коэффициент преобразования давления в напряжение устанавливают подстроечным резистором R9. Напряжение с выхода ОУ через фильтр R22C8 поступает на вход АЦП DA3. Для отсчета высоты более 2000 м его предварительно уменьшают в десять раз с помощью цепи R17, R19—R21, для чего служит кнопочный переключатель SB1, выведенный на лицевую панель прибора. Вторая группа контактов этого переключателя включает изображение нуля

в младшем разряде индикатора HG1 (при работе в поддиапазоне 0...1999 м он погашен). Это гарантирует безошибочное считывание показаний.

Образцовое напряжение АЦП формируется из падения напряжения на резисторе R18 (0,1 В) и снимаемой с движка подстроечного резистора R16 части пропорционального давлению выходного напряжения ОУ. Это необходимо для приближения характеристики преобразования к логарифмической.

Резисторы R25, R26 и конденсаторы С9—С12 — элементы типовой схемы

включения АЦП КР572ПВ2. Поскольку конденсатор С12 — интегрирующий, он должен иметь низкий коэффициент диэлектрической абсорбции. Здесь использован пленочный конденсатор К73-17 на напряжение 63 В, заменять его керамическим недопустимо. Цель R25C11 задает тактовую частоту АЦП, в данном случае равную 45 кГц, что обеспечивает выполнение трех преобразований в секунду.

Для гашения на ЖКИ HG1 неиспользуемых элементов (десятичных запятых, двоеточий между разрядами, знака "плюс") на их выводы через резистор R10 подано такое же напряжение, как и на подложку индикатора. Узел на транзисторе VT1 инвертирует фазу этого напряжения перед подачей на элементы младшего разряда, что необходимо для их "зажигания".

Номиналы резисторов R23 и R24 выбраны такими, что обычно закрытый транзистор VT2 открывается, если напряжение питания высотометра упало ниже 6,7...7 В. При этом конденсатор С13 через открытый транзистор подключается параллельно элементу "LB" индикатора, образуя вместе с резистором R27 фильтр, делающий напряжение на этом элементе постоянным. Ставший видимым знак "LB" свидетельствует о том, что батарею питания высотометра пора заменить свежей.

Печатная плата прибора изображена на рис. 3, а схема расположения элементов на ее нижней и верхней сторонах — на рис. 4. Индикатор HG1 смонтирован на плате в последнюю очередь поверх уже установленной на ней микросхемы DA3. Для доступа к движку переменного резистора R3 и толкателю кнопочного переключателя SB1 над ними в крышки корпуса высотометра сделаны отверстия. Для наблюдения за показаниями ЖКИ над его табло в крышке вырезано окно, закрытое прозрачным пластиком. Отсек для батареи питания ("Кrona") размещен параллельно широкой стороне платы так, чтобы он располагался вдоль руки спортсмена. Внешний вид прибора со снятой крышкой показан на рис. 5.

Все постоянные резисторы и конденсаторы (за исключением С12) — типоразмера 0805 для поверхностного монтажа. Автор сознательно отказался от применения оксидных конденсаторов как недостаточно надежных.

Переменный резистор R3, предназначенный для установки нуля высоты, должен быть прецизионным и механически стабильным. Как показали эксперименты, здесь пригодны только проволочные резисторы с малой дискретностью изменения сопротивления, например СП5-35А. Автор получил удовлетворительные результаты, применив резистор СП5-2.

Подстроечные резисторы R9, R16, R20 — СА6В. Все они включены по схеме потенциометра. Это привело к некоторому увеличению числа постоянных резисторов в приборе, но зато повысило долговременную стабильность его настройки.

Для налаживания прибора требуется образцовый высотометр. Автор воспользовался высотометром от самолета

АН-2. Входное отверстие его датчика с помощью гибкой трубки от медицинской аппаратуры было соединено через тройник со штуцером датчика давления МРХ4115 в изготовленном приборе. На оставшийся свободным штуцер тройника надета такая же трубка с зажимом. Отсасывание через эту трубку воздуха можно и потом, но удобнее использовать насос, например от аквариума. Рекомендуется также подключить к "системе" буферную емкость (например, обычную стеклянную бутылку) объемом 0,5...1 л, что позволит изменять давление более плавно.

Перед налаживанием прибор должен поработать не менее 20 мин, пока не установятся параметры датчика давления. Настройка сводится к регули-

4. Откачивая воздух, доводят показания образцового высотомера до 1950...1980 м. Подстроечным резистором R16 выставляют на ЖКИ значение, равное показываемому образцовым высотомером.

5. Открыв зажим, впускают воздух в систему, пока образцовый высотомер не покажет приблизительно 1000 м. Подстроечным резистором R9 устанавливают на ЖКИ точно такое же значение.

6. Пункты 4 и 5 повторяют несколько раз, пока показания изготовленного и образцового высотомеров в двух точках не станут совпадать без дополнительной регулировки. Обычно для этого требуется четыре-пять повторений.

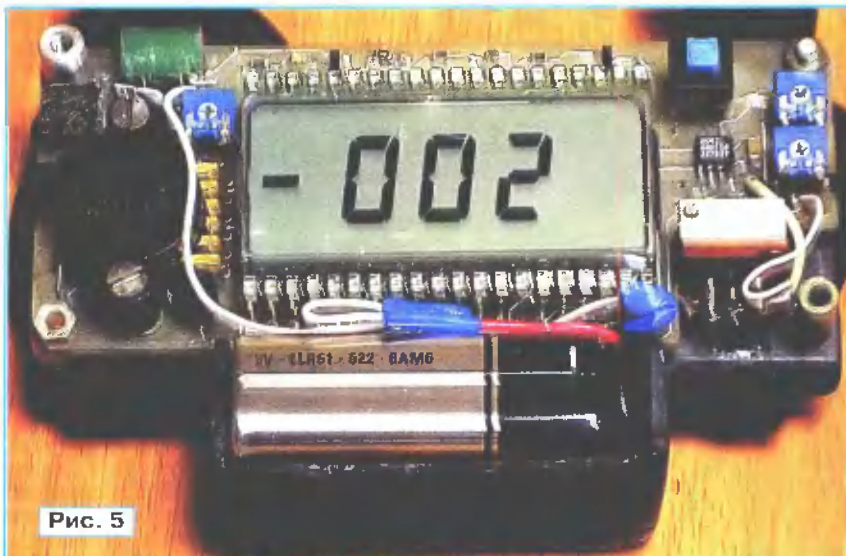


Рис. 5

ровке коэффициента преобразования и подборке степени компенсации отклонения зависимости давления от высоты от линейной.

Как уже было сказано, подстроечным резистором R9 регулируют общий наклон характеристики преобразования, а резистором R16 изменяют ее кривизну. Влияние последнего на показания прибора растет с увеличением высоты, а положение движка резистора R9 влияет на них на любой высоте одинаково. Поэтому, чтобы обеспечить требуемую функцию преобразования, требуется неоднократная подстройка этих резисторов при нескольких значениях высоты. Автор использовал следующую методику:

1. Перед началом налаживания кнопка SB1 должна быть отжата, что соответствует измерению высоты до 2000 м. Движок подстроечного резистора R16 установлен в нижнее по схеме положение, а движки R9 и R20 — в среднее.

2. При снятом с входной трубки измерительной системы зажиме устанавливают нулевые показания образцового высотомера. Переменным резистором R3 устанавливают ноль на ЖКИ HG1.

3. Откачивают воздух, пока образцовый высотомер не покажет 1000 м, после чего на трубку устанавливают зажим. Подстроечным резистором R9 устанавливают на ЖКИ высоту 938 м.

7. Откачивают воздух, пока образцовый прибор не покажет высоту около 4000 м. Нажимают на кнопку SB1, переводя самодельный высотомер в режим измерения высоты более 2000 м. Подстроечным резистором R20 устанавливают на ЖКИ значение, равное тому, что показывает образцовый высотомер.

Закончив налаживание, штуцер датчика МРХ4115 можно аккуратно удалить, так как он занимает много места. За шесть лет эксплуатации прибора автором повторной регулировки не потребовалось.

Такая калибровка обеспечивает измерение высоты 0...2000 м с погрешностью не более ± 1 м. Далее погрешность растет, достигая приблизительно минус 30 м на высоте 4000 м, что можно еще считать приемлемым. Некоторая компенсация этой погрешности достигается правильной регулировкой подстроечного резистора R20. Расчетные показания прибора на большой высоте всегда меньше ее истинного значения: на 5000 м — 4920 м, на 7000 м — 6740 м, а на 10000 м — всего 9160 м. Реальные показания могут отличаться еще сильнее из-за погрешности самого датчика абсолютного давления.

Редактор — А. Долгий, графика — А. Долгий,
фото — автора

МОДУЛЬНАЯ РЕКЛАМА

ООО "Электролэнд"

Поставка любых электронных компонентов и комплектующих. Химия для электроники. Доставка почтой в любую точку России юридическим и физическим лицам. Со склада и под заказ.

WWW.ELEKLAND.RU

E-mail: elekland@mail.ru

Тел./факс — (82147) 42026.

* * *

Отечественные и импортные радиодетали для ремонта радиоаппаратуры, автомобильной электроники и бытовой техники!

Микросхемы. Транзисторы. Стабилитроны. Резисторы. Шлейфы.

Конденсаторы керамические, пленочные, подстроечные, электролитические, высоковольтные. Механика для видеомагнитофонов, видеокамер и аудиотехники. Светодиоды и фотодиоды. Панельки для микросхем. Кассы всех размеров для хранения мелких деталей. Лазерные и видеоголовки. ЧИП-элементы. Многое другое. Оптовая и розничная продажа ежедневно от 9.00 до 18.00 по адресу:

Россия, Москва, Пятницкое шоссе, дом 18, ТК "Митинский радиорынок", 3-й этаж, павильон 546. Проезд от метро "Тушинская" авт. № 2, 210, 266.

Доставка почтой по России. Прайс-листы на бумаге и CD.

Контакты: **107045, г. Москва, а/б. ящ. 41.**

www.S-10mitino.narod.ru

* * *

Печатные платы на заказ!

Разработка и изготовление по схемам заказчика.

242600, Брянская обл., г. Дятьково, ул. Южная, д. 69.

Тел. 89155383045

E-mail: dyt69@yandex.ru

* * *

ТОВАРЫ — ПОЧТОЙ!

Лучший выбор радиодеталей, запчастей для ремонта, радиолюбительских наборов...

Новый каталог "Радиотовары — почтой" + CD высылается в Вашем конверте с марками на 25 рублей! Каталог радионаборов (A4 104 стр.) — 75 руб. без учета почтовых расходов.

105318, г. Москва, а/я 52, "ПОСЫЛТОРГ".

Тел. (495) 543-47-96,

(985) 366-87-86.

Интернет-магазин:

WWW.DESSY.RU

E-mail: post@dessy.ru

* * *

Р/детали отеч. и имп. 9000 типов, книги, компьютеры, ПО.

Ваш конверт. 190013, С.-Петербург, а/я 93, Киселевой.

Преобразователь однофазного сетевого напряжения в трехфазное частотой 50...400 Гц

В. КОСТИЦЫН, г. Бийск Алтайского края

Этот преобразователь предназначен для питания от бытовой электросети трехфазных асинхронных электродвигателей мощностью до 1000 Вт на 36 и 42 В при номинальной частоте до 400 Гц. Такие двигатели обычно применяют в промышленном переносном электроинструменте.

Отличительные особенности данного устройства — относительно небольшие габариты и возможность подключения двигателей с разной номинальной частотой, а также изменения в некоторых пределах частоты вращения вала двигателя путем регулировки частоты питающего напряжения. При соответствующей замене трансформатора и других элементов силовых узлов преобразователь можно приспособить для питания двигателей с иным номинальным напряжением и большей мощности.

Схема преобразователя показана на рис. 1. На логических элементах DD1.1, DD1.2, DD1.4 собран мультивибратор, частоту колебаний которого можно изменять переменным резистором R2 в пределах 150...1200 Гц. Частота трехфазной импульсной последовательности, формируемой узлом на микросхемах DD2, DD3 и элементе DD1.3, и

выходного трехфазного напряжения получается в три раза меньше — 50...400 Гц. Для перехода к другому частотному интервалу придется изменить емкость конденсатора C1.

К выходам элементов DD3.2—DD3.4 подключены узлы A1—A3, формирующие напряжение фаз А, В и С, подаваемое на электродвигатель через разъем X1. Поскольку эти узлы совершенно одинаковы, рассмотрим схему лишь одного из них — А1. Его работу поясняют имеющиеся на рис. 1 осцилограммы сигналов в характерных точках.

На ОУ DA1 собран интегратор, преобразующий прямоугольные импульсы в напряжение симметричной пилообразной формы. Транзисторы VT1, VT3, VT5, VT8 открыты, когда напряжение на выходе ОУ выше $U_{\text{пор.}1}$. На выходе формирователя напряжение в этом состоянии близко к -20 В. Когда выходное напряжение ОУ ниже $U_{\text{пор.}2}$, открыты

транзисторы VT2, VT4, VT6, VT7 и напряжение на выходе формирователя становится равным +20 В.

При промежуточных (между $U_{\text{пор.}1}$ и $U_{\text{пор.}2}$) значениях напряжения на выходе ОУ все транзисторы формирователя закрыты и фазный провод А отключен от источников напряжения +20 В и -20 В. Поскольку между закрыванием одной группы транзисторов и открыванием другой обязательно проходит некоторое время, обусловленное разностью порогов и скоростью изменения напряжения на выходе интегратора, одновременное открывание всех транзисторов с протеканием через них "сквозного" тока исключено.

Схема блока питания преобразователя изображена на рис. 2. В нем установлен трансформатор T1 габаритной мощностью 800 В·А. Это позволяет питать от преобразователя такие трехфазные электроинструменты на номинальную частоту 200 Гц, как дрель ИЭ-1025А, гайковерт ИЭ-3601Б, шлиф-машина ИЭ-2004Б и др. Обмотка II этого трансформатора напряжением 30 В рассчитана на ток 20 А, а обмотка III напряжением 36 В — на ток 0,5...0,8 А. Если обмотки III у выбранного трансформатора нет, переменное напряжение 36 В можно получить отдельного малошумного трансформатора.

К обмотке II трансформатора T1 подключен управляемый выпрямитель на диодах VD4, VD5 и оптодиодисторах U1, U2. С помощью узла на транзисторе VT3 включение выходных напряжений +20 В и -20 В, питающих мощные транзисторы преобразователя, задерживается на 1...2 с относительно остальных выходных напряжений блока. Это сделано для

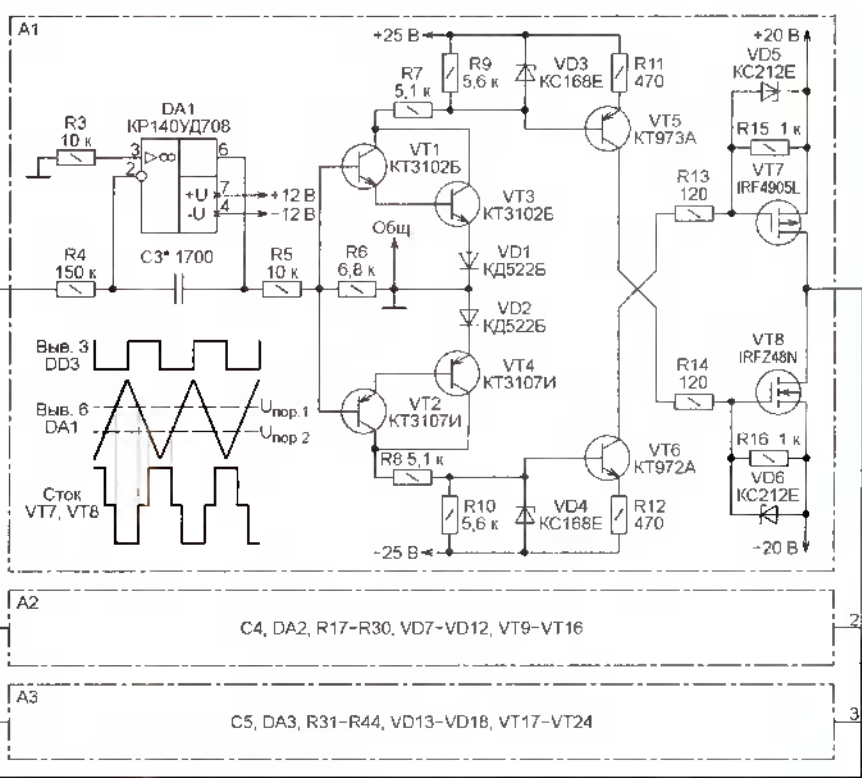
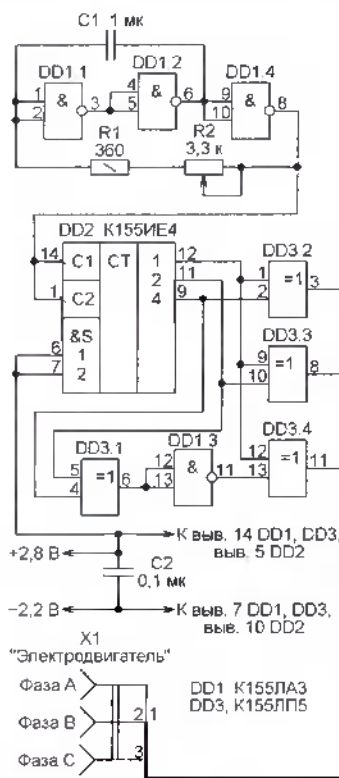


Рис. 1

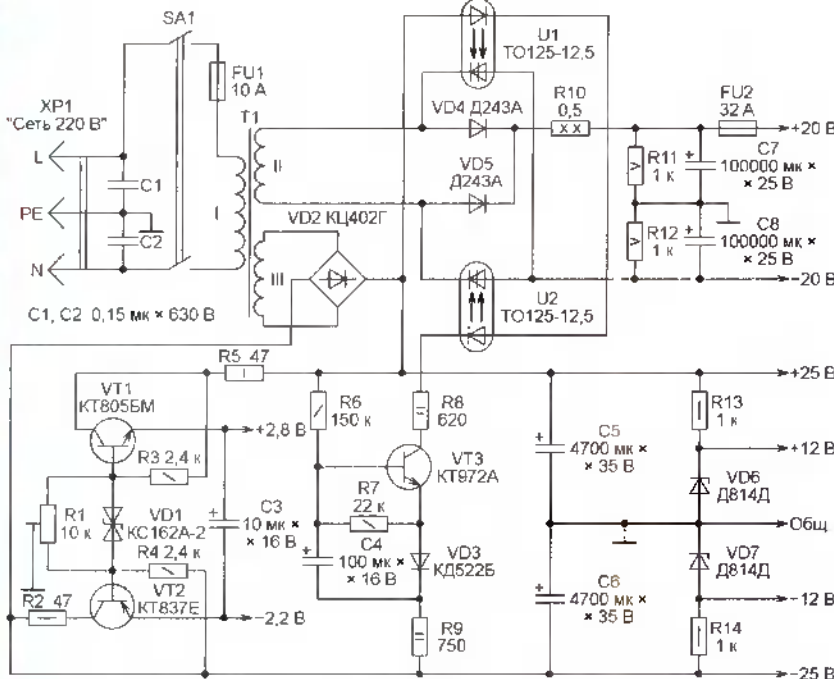


Рис. 2

того, чтобы формирование трехфазной последовательности импульсов успело принять стационарный характер, прежде чем заработают мощные узлы. Резистор R10 предназначен для ограничения пускового тока электродвигателя.

Остальные выходные напряжения получают от выпрямителя на диодном мосте VD2, работающем от обмотки III трансформатора T1. Обратите внимание на стабилизатор напряжения питания цифровых микросхем. Нужные для этого 5 В образуются суммированием двух напряжений разной полярности, получаемых со стабилизаторами на транзисторах VT1 и VT2. Подстроечным резистором R1 регулируют эти напряжения, сохраняя их сумму неизменной. Это необходимо для достижения симметрии пилообразного напряжения, формируемого интеграторами узлов A1—A3, относительно верхнего и нижнего порогов открытия транзисторов в этих узлах. Транзисторы VT1 и VT2 установлены на теплоотводах площадью не менее 30 см² каждый.

Преобразователь собран в корпусе размерами 350×210×180 мм. Внутри корпуса находится шасси, на котором закреплены детали блока питания — трансформатор T1, конденсаторы C7, C8 со шунтирующими их резисторами. Диоды VD3, VD4 и оптодинисторы U1, U2 установлены на общем ребристом теплоотводе размерами 110×80×30 мм.

Остальные детали блока питания смонтированы на плате из стеклотекстолита размерами 140×60 мм. На аналогичной плате размерами 140×110 мм находятся детали собственно преобразователя, за исключением мощных полевых транзисторов, вынесенных на отдельную плату таких же размеров. Каждый из этих транзисторов снабжен отдельным ребристым теплоотводом размерами 40×30×10 мм. Места теплового

ним диаметром 10 мм. На концах спиралей закреплены винты M4 с гайками луженые лепестки для припайки проводов. Резисторы R11, R12 в том же блоке — ПЭВ-7.5 или импортные номинальной мощностью не менее 5 Вт. Подстроечный резистор R1 — импортный аналог СП3-19.

Конденсаторы C1, C2 этого блока — пленочные K73-17. Оксидные конденсаторы: C4 — tantalовый K53-18; C5, C6 — серии SE фирмы TEAPO; C7, C8 — K50-18; остальные — фирмы JAMICON. Конденсаторы K50-18 можно заменить K50-37, KEA-II-10 болгарского производства или конденсаторами стандарта DIN41250, выпускавшимися в ГДР.

Преобразователь подключают к сети трехпроводным кабелем с заземляющим проводом (PE), соединенным с корпусом прибора, его металлическим шасси и с магнитопроводом трансформатора T1.

При налаживании изготовленного преобразователя прежде всего подают напряжение питания на микросхемы DD1—DD3 (см. рис. 1) и убеждаются, что на выходах элементов DD3.2—DD3.4 имеется трехфазная импульсная последовательность. Переменным резистором R2 устанавливают максимальную частоту импульсов.

Затем подают напряжение питания (+12 В и -12 В) на ОУ DA1 в узле A1 и на аналогичные ОУ в узлах A2 и A3. Наблюдая с помощью осциллографа треугольные импульсы на выходах ОУ, подстроечным резистором R1 (см. рис. 2) добиваются их максимальной симметрии относительно общего провода. Неидентичность формы сигналов на выходах трех ОУ можно устранить подборкой в небольших пределах емкости конденсатора C3 (см. рис. 1) и соответствующих ему конденсаторов в узлах A2 и A3.

При уменьшении частоты задающего генератора треугольные импульсы вследствие перехода ОУ в режим ограничения принимают форму трапеции, но это никак не сказывается на работе преобразователя, так как скорость изменения напряжения в интервалах между порогами остается прежней.

Прежде чем соединять коллекторы транзисторов VT5 и VT6 с цепями затворов полевых транзисторов VT7 и VT8, необходимо временно подключить к упомянутым коллекторам через резистивную цепь, показанную на рис. 3, вход осциллографа. Форма наблюдаемых таким образом импульсов должна быть инверсной, показанной на самой нижней осциллограмме на рис. 1. При необходимости изменить длительность паузы между импульсами подбирают резистор R1. Ее значительного сокращения можно добиться, заменив диоды VD1 и VD2 (одновременно!) перемычками.

Проверив и наладив таким же образом узлы A2 и A3 и удалив временные подключения, можно подать сигналы на затворы полевых транзисторов, как показано на схеме рис. 1, убедиться, что форма сигналов на гнездах розетки X1 соответствует требуемой и приступить к практической работе с преобразователем.

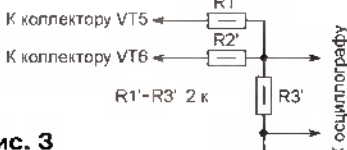


Рис. 3

контакта транзисторов с теплоотводами промазаны теплопроводящей пастой.

На лицевой панели корпуса расположены выключатель SA1, держатели плавких вставок FU1 и FU2, регулятор частоты трехфазного напряжения — переменный резистор R2 (см. рис. 1) и разъем X1 — стандартная розетка для подключения электроинструментов. Особенность этой розетки заключается в том, что вилку к ней можно подключить двумя способами, обеспечивающими разный порядок чередования фаз и, следовательно, разные направления вращения вала двигателя. Штыри вилки имеют размеры 20×6,5×1,5 мм. Главное требование к разъему — допустимый ток не менее 25 А на фазу.

Примененные в преобразователе отечественные микросхемы можно заменять аналогичными импортными: K155ЛА3 — 7400, K155ИЕ4 — 7492, K155ЛП5 — 7486, KP140УД708 — μА741 или NE5534. В блоке питания вместо диодов D243A можно установить D231A, а вместо оптодинисторов TO125-12.5 — TO132-25. Диодный мост КЦ402Г заменяется на КЦ405Г. Остальные диоды и стабилитроны — подходящие отечественные или импортные.

Конденсатор C1 (см. рис. 1) — пленочный K73-17, остальные — керамические K10-17. Подойдут, конечно, и аналогичные импортные конденсаторы.

Резистор R10 в блоке питания изготовлен из отрезка никромовой проволоки диаметром 1,5 мм и длиной 120...150 мм, свитого в спираль внеш-

Снова проект "Незабудка"

В. МАРКОВ, с. Н. Мартыновичи Полтавской обл., Украина

Проблема потери различных ценных предметов — портфелей, ключей, кошельков и т. д. — остается актуальной. Радиолюбители предлагают решать ее "по-своему" — разместив в контролируемом объекте микромощный передатчик, а в кармане владельца — радиоприемник. При отдалении объекта уровень сигнала передатчика существенно уменьшается и радиоприемник сигнализирует об этом. О таком проекте ("Незабудка") в журнале "Радио" более десяти лет было несколько публикаций, но проблема все же осталась. Автор предлагает свой вариант такого "сторожевого" устройства.

После того как в темное время суток были утеряны ключи от автомобиля и пропажа обнаружилась только по приходу домой, стало ясно, что без средств радиоконтроля с подобной проблемой справиться будет нелегко. Из доступных автору источников нашлась только одна публикация на интересующую тему — проект "Незабудка" [1]. Но от его реали-

шумящие транзисторы обладают большим коэффициентом усиления, способны работать при малых токах коллектора и низком напряжении питания на частотах несколько десятков МГц.

Схема микромощного передатчика показана на рис. 1, он работает на частоте 26,945 МГц, разрешенной для применения в охранных системах. В его

образное открывание этих транзисторов, а конденсатор С3 быстро разряжается через них и резистор R2. В этот момент вспыхивает светодиод HL1, на работу генератора импульсов он не влияет и установка его не обязательна, но его яркие вспышки помогут найти в темноте утерянную вещь и служат индикатором работы микропередатчика. По окончании разряда транзисторы VT1, VT2 закрываются и описанный процесс повторится. Период следования импульсов зависит от постоянной времени цепи R1C3, а их длительность — от постоянной времени цепи R2C3.

ВЧ генератор собран по традиционной схеме с кварцевой стабилизацией частоты. Кварцевый резонатор включен между базой и коллектором гранзистора VT5, нагрузкой которого является резонансный контур L1C6, настроенный на частоту, близкую к резонансной частоте кварцевого резонатора ZQ1. Рабочая точка транзистора VT5 определяется резистивным делителем R5R6. Подбором резистора R6 устанавливают ток коллектора в момент действия импульса, а значит, и выходную мощность.

Генератор З4 собран по схеме несимметричного мультивибратора на транзисторах разной структуры с минимумом дополнительных деталей (резистор R4 и конденсатор C4), он работает на частоте 1,7...2,0 кГц. Следует отметить, что на базу транзистора VT3 не подано напряжение смещения, поэтому при отсутствии импульса на коллекторе VT2 транзисторы VT3—VT5 закрыты — генераторы З4 и ВЧ не работают. В момент появления низкого уровня напряжения на коллекторе VT2 начинает работать

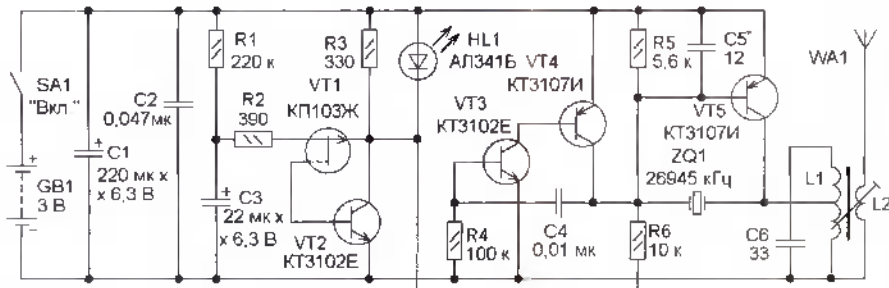


Рис. 1

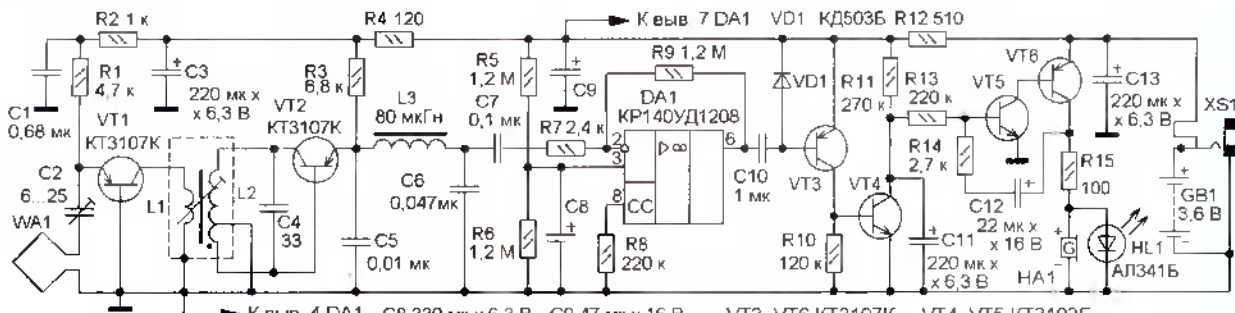


Рис. 2

зации пришлось отказаться, поскольку изначально была сформулирована задача достижения максимально возможной экономичности при низком напряжении питания, а в "Незабудке" использовано напряжение питания 6 В, и ток, потребляемый радиоприемником в дежурном режиме, составил 4,7 мА.

Поэтому конструкция была переработана, но сама идея о микромощном передатчике в контролируемом объекте и небольшом радиоприемнике в кармане, реагирующем на исчезновение (или ослабление) сигнала передатчика, оставлена без изменений. В предлагаемом варианте приемник и передатчик собраны на транзисторах серий KT3102 и KT3107, поскольку эти мало-

состав входит генератор импульсов инфразвуковой частоты на основе инжекционно-полевого транзистора (VT1, VT2), генератора З4 на транзисторах VT3, VT4 и ВЧ генератора на VT5. При напряжении питания 3 В ток потребления передатчика в паузе составляет менее 0,01 мА, в импульсе — не более 8...10 мА.

При включении питания транзистор VT2 закрыт, и начинается зарядка конденсатора С3 через резистор R1. Когда он зарядится до определенного напряжения, через полевой транзистор VT1 начнет протекать ток, вследствие этого транзистор VT2 откроется. Поэтому ток через полевой транзистор VT1 возрастает, и в результате происходит лавино-

генератор ВЧ. Его сигнал через конденсатор С4 поступает на базу транзистора VT3, выпрямляется переходом база-эмиттер и открывает его — генератор З4 начинает работать. Транзистор VT4 подключен параллельно переходу база-эмиттер транзистора VT5, и при работе генератора З4 происходит изменение базового тока этого транзистора — осуществляется амплитудная модуляция выходного сигнала передатчика. Таким образом, на выходе передатчика формируются пакеты модулированного по амплитуде ВЧ сигнала. Строго говоря, при этом происходит еще и заметная частотная модуляция, но в данном случае это существенной роли не играет.

По окончании импульса все транзисторы передатчика закрыты, и энергия батареи питания расходуется только на зарядку конденсатора С3 через резистор большого сопротивления R1. Попытка увеличить сопротивление этого резистора с пропорциональным уменьшением емкости конденсатора экономит энергию батареи питания, но приводит к формированию очень короткого импульса, во время которого генератор ВЧ не успевает полностью войти в нормальный режим работы. В результате в радиоприемнике сигнал на фоне шумов становится практически неразличимым. Указанные на схеме номиналы резисторов R1, R2 и конденсатора С3 обеспечивают частоту следования импульсов около 0,4 Гц. Это, по мнению автора, — удачное компромиссное решение экономии энергии батареи и хорошей различимости полезного сигнала приемником. Конденсатор С2 шунтирует цепи питания передатчика по высокой частоте, а С1 слаживает

катушку связи L1 сигнал поступает на контур L2C4 сверхрегенеративного каскада и после детектирования через LC-фильтр НЧ L3C6 — на вход УЗЧ. Конденсатор С7 обеспечивает завал АЧХ усилителя ЗЧ на низких частотах, что уменьшает возможность появления помех с частотой сети. Выбор ОУ КР140УД1208 не случаен, он способен работать при напряжении 2×1,5 В, потребляя ток 30...60 мА, и усиливать сигнал до 50 000 раз. У этого ОУ встроенная частотная коррекция, а произведение коэффициента усиления (K) на полосу пропускания равно 1 МГц. Поэтому, чтобы сверху ограничить полосу пропускания сигнала до 2 кГц, достаточно выбрать $K = R9/R7 = 500$.

Усиленный и отфильтрованный сигнал через конденсатор С10 поступает на вход формирователя прямоугольных импульсов. Отрицательная полуволна открывает транзистор VT3, вслед за которым открывается и транзистор VT4. Поэтому конденсатор С11 поддерживает

напряжение на выходе УЗЧ, и в это время транзистор VT1 открыт, а транзистор VT2 закрыт. Транзистор VT5 открыт, и импульсы на выходе УЗЧ подаются на антенну WA1.

Поскольку в устройстве применена аккумуляторная батарея, для ее зарядки разработано специальное ЗУ, схема которого показана на **рис. 3**. Его основа — преобразователь напряжения DC/DC (постоянного в постоянное) на микросхеме PJ34063 (отечественный аналог — КР1156ЕУ5). Эта микросхема включена как стабилизированный понижающий преобразователь [3]. Диодный мост VD1 выпрямляет пониженное трансформатором T1 напряжение сети, конденсатор С1 слаживает пульсации выпрямленного напряжения. Резистор R1 — датчик тока через силовой ключ микросхемы DA1 (выводы 1 и 8), конденсатор С2 — частотозадающий, он определяет частоту преобразования. Дроссель L1 — накопительный, светодиод HL1 индицирует наличие выходного напряжения.

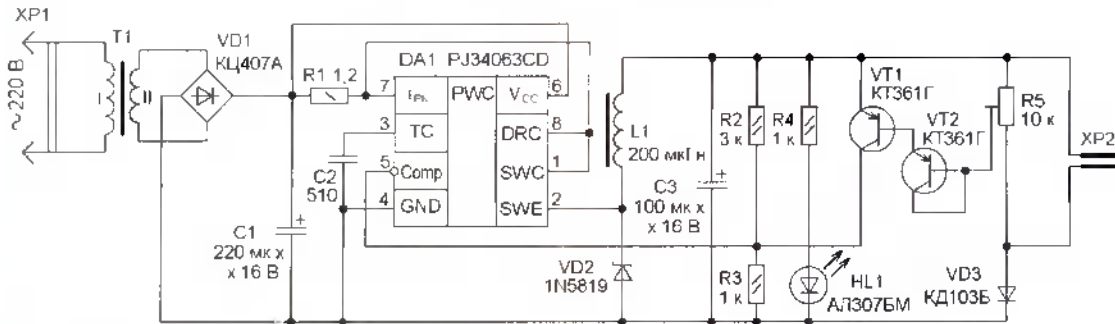


Рис. 3

брюки напряжения. Питается передатчик от двух гальванических элементов типа размера AAA (LR03).

Основной радиоприемник (**рис. 2**) является сверхрегенератор [2], он выбран за простоту, экономичность, низковольтное питание и, при минимуме деталей, высокую чувствительность (около 1 мкВ). На транзисторе VT1 собран усилитель РЧ, на VT2 — сверхрегенеративный каскад, на ОУ DA1 — усилитель ЗЧ. Формирователь импульсов собран на транзисторах VT3, VT4, а генератор импульсов ЗЧ — на VT5, VT6.

О работе усилителя РЧ и сверхрегенеративного каскада подробно рассказано в [2]. Следует отметить, что транзисторы VT1 и VT2 включены по схеме с общей базой при коллекторном напряжении, равном базовому (около 0,6 В). Такое включение упрощает налаживание каскадов и стабилизирует их режим. Сверхрегенеративный каскад собран по схеме индуктивной трёхточки, режим его работы устанавливают подбором резистора R3, а частоту супервизии (гашения) — конденсатором С5.

Прием сигнала происходит на рамочную антенну WA1, и через конденсатор связи С2 сигнал подается на эмиттер транзистора VT1. Предпочтение рамочной антенне отдано в основном по конструктивным соображениям. Для нее не надо выделять на плате отдельного места и можно расположить внутри свободного объема корпуса. Через

стся в разряженном состоянии и генератор ЗЧ не работает.

Когда радиоприемник удален от передатчика настолько, что сигнала на выходе ЗЧ недостаточно для открывания транзистора VT3, транзистор VT4 будет закрыт и начнется зарядка конденсатора С11 через резистор R11. На это потребуется 6...7 с, после чего транзисторы VT5, VT6 открываются и начнет работать импульсный генератор ЗЧ. На акустический излучатель НА1 со встроенным генератором и светодиодом HL1 будет периодически поступать пытающее напряжение — станет звучать сигнал тревоги и вспыхивать светодиод HL1. По мере нарастания напряжения на конденсаторе С11 частота следования звуковых сигналов и вспышек возрастает.

Так приемник своими прерывистыми сигналами с нарастающей частотой "напоминает" владельцу, что радиоконтакт с охраняемым объектом утрачен. Как только радиоприемник оказывается в зоне действия передатчика, первые же импульсы на базе транзистора VT4 приводят к разрядке конденсатора С11 и сигнал тревоги прекращается. В режиме "молчания" приемник потребляет ток не более 0,4 мА, а при подаче тревожного сигнала он возрастает до 10 мА. Чтобы скачки тока не влияли на работу усилителя РЧ и сверхрегенеративного каскада, в цепь их питания установлен RC-фильтр R4C3. Для питания прием-

ника использована Ni-Mh аккумуляторная батарея GPT207 (3,6 В, 550 мА·ч), состоящая из трех элементов типоразмера AAA. Начальный ток зарядки аккумуляторной батареи будет зависеть от выходного напряжения блока питания ($U_{\text{вых}}$), напряжения разряженной аккумуляторной батареи (U_{AB}), его внутреннего сопротивления и падения напряжения на диоде VD3. По мере зарядки напряжение батареи возрастает и зарядный ток падает. При $U_{\text{вых}} = 5$ В и разряженной батарее ($U_{\text{AB}} = 3$ В) начальный ток зарядки составляет около 100 мА, что вполне допустимо. Для контроля растущего напряжения аккумуляторной батареи введены транзисторы VT1, VT2, причем второй включен как диод. Когда напряжение батареи достигнет 4,5 В, транзистор VT1 начнет открываться, напряжение на входе Сопр микросхемы DA1 возрастет, что приведет к уменьшению выходного напряжения, а значит, и зарядного тока. Это позволяет избежать перезарядки аккумуляторной батареи.

Передатчик и приемник собраны на печатных платах из односторонне фольгированного стеклотекстолита толщиной 1,5 мм, чертежи которых показаны на **рис. 4** и **5** соответственно. Передатчик "замаскирован" в мягкой игрушке, которая служит брелоком для ключей. Антenna (отрезок изолированного монтажного провода длиной 15...20 см, свитый спиралью) является соединительным элементом ключей и игрушки. Длина антенн ограничена капроновой нитью или леской, протянутой внутри

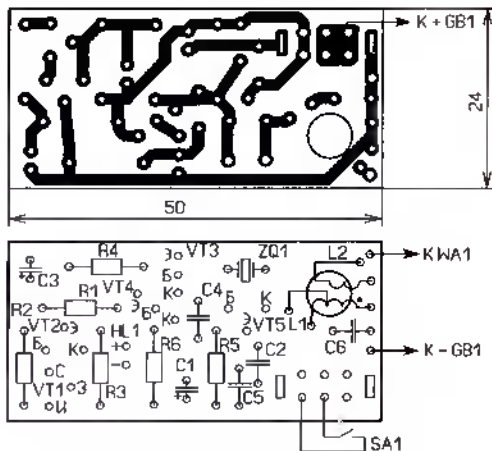


Рис. 4

спирали. Приемник "спрятан" в твердой коробке от сигарет. Аккумуляторная батарея закреплена на плате приемника на отведенном ей месте двумя хомутами из жесткого провода.

Конечно, использование "таблеточных" элементов питания и радиозлементов для поверхностного монтажа позволили бы значительно уменьшить размеры монтажных плат, но к особой миниатюрности автор не стремился.

Все детали ЗУ, исключая сетевой трансформатор, смонтированы на печатной плате из односторонне фольгированного стеклотекстолита, чертеж которой показан на рис. 6. Плата и трансформатор установлены в корпусе блока питания калькулятора "Электроника Д2-10м", от него использован и понижающий трансформатор.

В устройстве применены постоянные резисторы МЛТ, С2-23, подстроечный — СП5-2ВБ, оксидные конденсаторы — импортные, подстроечный — КТ4-23, остальные — К10-17. Для замены транзисторов КТ3102Е подойдут КТ3102Г или импортные BC550С, транзисторов КТ3107К — КТ3107Л, BC560С, транзисторы КТ361Г заменимы на КТ3107 с любыми буквенными индексами. Светодиоды можно применить любые красного цвета свечения, желательно повышенной яркости свечения. Акустический излучатель — со встроенным генератором и рабочим напряжением 3...5 В, например, TR1203Y или GS1205S.

В радиоприемнике применен дроссель ДМ-0,1, ДПМ-0,1, его можно заменять на ферритовом (400НН) магнитопроводе типоразмера К10х6х4 (20 витков провода ПЭВ-2 диаметром 0,1...0,2 мм) или на ферритовом подстроечнике М600НН-3-СС2,8 12 от конструкций ПЧ карманных радиоприемников прежних лет выпуска (75 витков провода ПЭВ-2 0,08...0,1). В ЗУ применен дроссель от компьютерного блока питания с плохо различимой маркировкой, его можно заменить дросселем RLB1314-221KL.

Каркасы катушек передатчика и приемника самодельные, выполнены из пластмассовой заготовки диаметром 6,3 и длиной 15 мм. На одном конце каркаса нарезана резьба M6 для установки на плату, а внутри — сквозная резьба M4

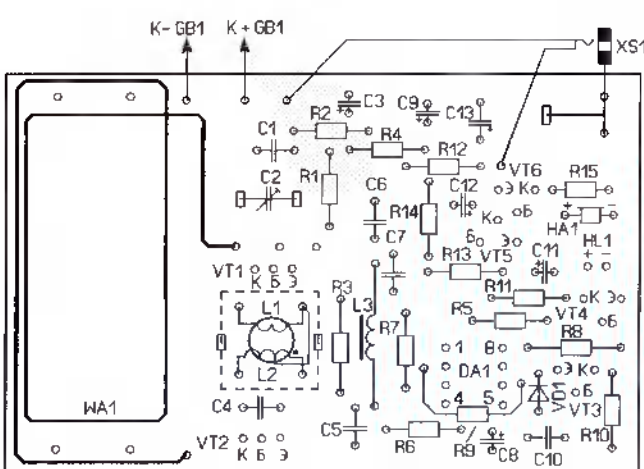
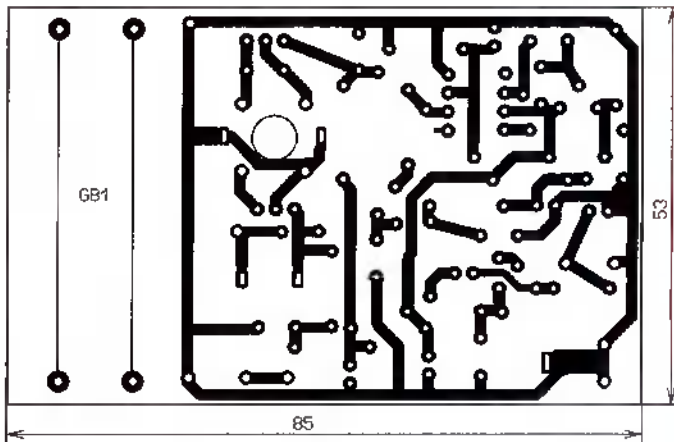


Рис. 5

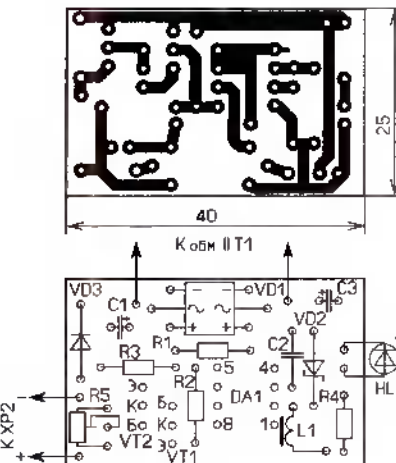


Рис. 6

для подстроечника из карбонильного железа. Катушка L1 передатчика содержит 12 витков провода ПЭВ-2 0,25 с отводом посередине, а L2 — 4 витка провода ПЭЛШО 0,12, намотанного равномерно поверх L1. В приемнике контурная катушка L2 содержит 12 витков провода ПЭВ-2 0,25 с отводом от 3-го витка, катушка связи L1 — от 4-го витка ПЭЛШО 0,2, она намотана на L2, ближе к ее заземленному выводу.

Рамочная антенна WA1 выполнена в виде прямоугольника со сторонами 50 и 30 мм и содержит три витка провода ПЭЛ 0,8. В нескольких местах витки рамки скреплены между собой нитками и пропитаны клеем БФ-2. Рамка антенны расположена параллельно монтажной плате на высоте 18...20 мм и занимает место над аккумулятором. Ее настройку на частоту передатчика осуществляют подстроечным конденсатором С2. В случае необходимости на плате предусмотрено место для установки параллельно ему дополнительного конденсатора.

Гнездо XS1 (для головного телефона типа ТМ-2) на плате радиоприемника смонтировано в положении "лежа" и закреплено хомутом из проволоки. Светодиод HL1 (см. рис. 2) можно исключить, но тогда взамен него необходимо установить резистор сопротивлением 0,3...1,8 кОм. Иначе с нагрузкой из одного акустического излучателя генератор импульсов (VT5, VT6) может не запуститься.

При включении аккумулятора на зарядку питание радиоприемника отключается, по этой причине специального выключателя нет. При необходимости питание радиоприемника отключают установкой в гнездо XS1 взамен вилки втулки подходящего диаметра из изоляционного материала.

Налаживание начинают с передатчика. Нижний (по схеме) вывод резистора R6 временно отсоединяют от транзисторов VT1, VT2, светодиода HL1 и соединяют с минусовой линией питания. Контролируя ВЧ напряжение на катушке L2, подстроечником катушки L1 добиваются его максимального значения. Ток, потребляемый транзистором VT5, должен быть 8...10 мА, его устанавливают подборкой резистора R6. После налаживания восстанавливают все соединения. Если генератор ВЧ возбуждается неустойчиво, причиной может быть невысокая активность кварцевого резонатора, в этом случае потребуется подборка конденсатора C5 (не более 100 пФ).

В радиоприемнике между правым (по схеме) выводом конденсатора C10 и общим проводом включают любые высокомоментные (сопротивление — более 500 Ом) головные телефоны. Подборкой резистора R3 устанавливают режим сверхрегенеративного каскада. Его нормальная работа проявляется в головных телефонах как сильный "суперный" шум. Расположив недалеко (1,5...2,0 м) включенный передатчик, подстроечником катушки L2 настраивают контур L2C4 на частоту передатчика. В головных телефонах должны чисто звучать прерывистые тональные сигналы. Максимальную громкость звука получают, настраивая антенну конденсатором С2.

Отсоединив головные телефоны, убеждаются в том, что при выключенном передатчике начинают звучать сигналы тревоги, а при включенном — прекращаются. Далее определяют " дальность" всей системы, которая в основном зависит от тщательности налаживания и радиоприемника и передатчика, а также длины излучающей антенны. Расстояния 3...5 м вполне достаточно для решения задачи контроля за объектом карманного "базирования".

Подборкой конденсатора C11 можно изменять время задержки включения тревожной сигнализации. Например, при C11 = 47 мкФ сигнал включается примерно через 1,5 с после ослабления сигнала передатчика. Но все же некая определенная инерционность включения сигнала тревоги не вредит поставленной задаче охраны объекта и повышает потребительские качества устройства. Дело в том, что рамочная антенна, примененная в радиоприемнике, обладает диаграммой направленности с широкими максимумами и довольно острыми минимумами. Предположить, что расположение передатчика по отношению к этим минимумам будет статичным, теоретически можно, но практически такая ситуация маловероятна, и чтобы приемник не реагировал на каждое такое совпадение, как на потерю контроля за объектом, задерж-

ка на включение тревоги все-таки необходима.

При макетных испытаниях радиоприемник нормально работал без усилителя РЧ (VT1), принимая сигнал на отрезок провода, соединенный с катушкой связи L1. Но, учитывая ображение, изложенные в [2] по поводу устранения излучения сверхрегенератора в эфир и влияния посторонних предметов на частоту настройки его контура, усилитель было решено оставить. Для повышения стабильности работы катушка L2 вместе с катушкой связи L1 помещена в латунный экран.

ЛИТЕРАТУРА

1. Виноградов Ю. Проект "Незабудка". — Радио, 1997, № 10, с. 6—9.

2. Поляков В. Сверхрегенератор. — Радио, 2002, № 3, с. 51.

3. Бирюков С. Преобразователи напряжения на микросхеме KP1156EY5. — Радио, 2001, № 11, с. 38, 39, 42.

Отредакции. Поскольку в радиоприемнике (рис. 2) ток через транзисторы VT3 и VT5 не ограничен, это может стать причиной повышенного энергопотребления. Для устранения этого недостатка в цепь их коллекторов следует установить резисторы сопротивлением около 1 кОм.

Редактор — И. Нечаяев, графика — И. Нечаяев

МОДУЛЬНАЯ РЕКЛАМА

ИНТЕРНЕТ-МАГАЗИН "ДЕССИ"

предлагает:

— **МК050** — адаптер для подключения по USB устройств IDE/SATA к компьютеру — 1065 руб.

— **МТ3050** — стационарный сотовый телефон GSM с функцией беспроводной охранной системы — 8600 руб.

— **USB осциллограф BM8020** — 2165 руб.

— **Двухдиапазонный частотомер**

— **BM8010** (1 Гц — 12 МГц, 100 МГц — 960 МГц) — 1950 руб.

— Собранный, в корпусе, плату микропроцессорного металлоискателя **BM8042** — 1252 руб.

— Программатор **EXTRA PIC** — 750 руб.

— Внутристремочный отладчик устройств на PIC-контроллерах **MICD2-MC1** (аналог MPLAB-ICD2) — 1700 руб.

— Адаптер K-линии **BM9213** для подключения персонального компьютера через **USB** к диагностическому каналу (K- или L-линии) электронного блока управления (ЭБУ) автомобиля с целью диагностики и управления его функциями — 823 руб.

— Адаптер K-линии **NM9213** (набор для сборки) для подключения персонального компьютера через **COM-порт** к ЭБУ автомобиля — 542 руб.

— Переходник **USB в COM BM8050** для ПК — 399 руб.

— Электронный отпугиватель подземных грызунов **МК080** (набор для сборки) — 416 руб.

— **NM5422** — многоисковое электронное зажигание "Пульсар-М" (классика) — 795 руб.

— Восьмиканальный микропроцессорный таймер, термостат, часы **NM8036** — 1408 руб.

— **Набор "Частотомер 10 Гц — 250 МГц"** — 550 руб.

— **GSM-сигнализацию BM8038** — 1122 руб.

— **Цифровую шкалу** трансивера — 850 руб.

— **NM8022** — зарядное устройство для аккумуляторов — 561 руб.

— Устройство **BM9222** для ремонта и тестирования компьютеров — POST Card PCI — 1729 руб.

— **Набор SMD резисторов** типоразмера 0805 из 170 номиналов от 0 Ом до 10 МОм, ±5 %, по 50 шт. каждого — 850 руб.

— **MT5001** — стакан с цветной подсветкой. На выбор: красный, синий, зеленый, желтый — 125 руб.

— **BM9010** — USB внутристремочный программатор AVR микроконтроллеров — 662 руб.

— **Паяльную станцию LUKEY 852D+FAN**. Фен + паяльник, цифровой индикатор — 2665 руб.

Описание и характеристики смотрите на <http://www.dessy.ru>

Всегда в продаже наборы деталей для самостоятельной сборки, корпусы, радиодетали, материалы и оборудование для пайки.

105318, г. Москва, а/я 52 "ПОСЫЛТОРГ". Заказы принимаются

по бесплатному междугородному многоканальному телефону: 8-800-200-09-34 с 9-00 до 17-30 MSK, по e-mail: post@dessy.ru или на сайте www.dessy.ru.

Эти и многие другие наборы, узлы и модули для радиолюбительского творчества, а также книги вы можете приобрести по адресу: магазин "Техническая книга" на территории книжной ярмарки г. Люберцы (МО), ул. Волковская, дом 67.

Тел. 8(915) 069-06-88.

* * *

Предлагаем универсальный программатор WizardProg-77USB.

Краткий перечень поддерживаемых типов микросхем:

EPROM: 2716-27C80;

EEPROM/FLASH: серии 28, 29, 39, 49, 50 разных производителей, электрически стираемые 27CXXX Winbond, Firmware/Hub; MCU фирм Intel, Atmel, Philips, Winbond, Microchip;

EEPROM: 24Cxxx, 93Cxx, 25LCxx, GAL/Логические матрицы: 16v8x, 20v8x, 22v10A.

Все микросхемы в корпусе DIP программируются в единой розетке ZIF-40 ARIES без применения адаптеров. Программатор питается от линии USB, не нужен блок питания.

Цена — 3300 руб.

www.wizardprog.com

Тел. (351) 265-46-96.

Управление электрозамками дверей автомобиля

С. БАЙКОВ, г. Сургут

О преимуществах систем дистанционного запирания дверей автомобиля знает сейчас даже неискушенный автовладелец. Практически каждый новый автомобиль оборудован центральным замком. Это уже стандартная опция и для большинства отечественных автомобилей, выпускаемых в настоящее время.

А как реализовать ее на машинах старых марок? Об этом и рассказывает статья.

Многие владельцы автомобилей старых марок самостоятельно дорабатывают свои машины, устанавливая электрозамки одновременно со сторожевыми сигнализаторами. Те, кто желает иметь максимум удобств при минимуме затрат, устанавливают замки с электроприводом только в передние, наиболее часто используемые двери. В результате удобства почти те же, но уровень охраны ниже из-за того, что владелец может иногда забыть вручную запереть задние двери.

Мой автомобиль ВАЗ-2115 изначально был оборудован центральным электрозамком заводского исполнения, в который входил узел управления, конечный выключатель в водительской двери и четыре узла привода (актуатора) дверных замков. В результате установки автосигнализатора "STARLINE A8" с обратной связью узел управления и дверной конечный выключатель были демонтированы, а электрозамки подключены непосредственно к сигнализатору.

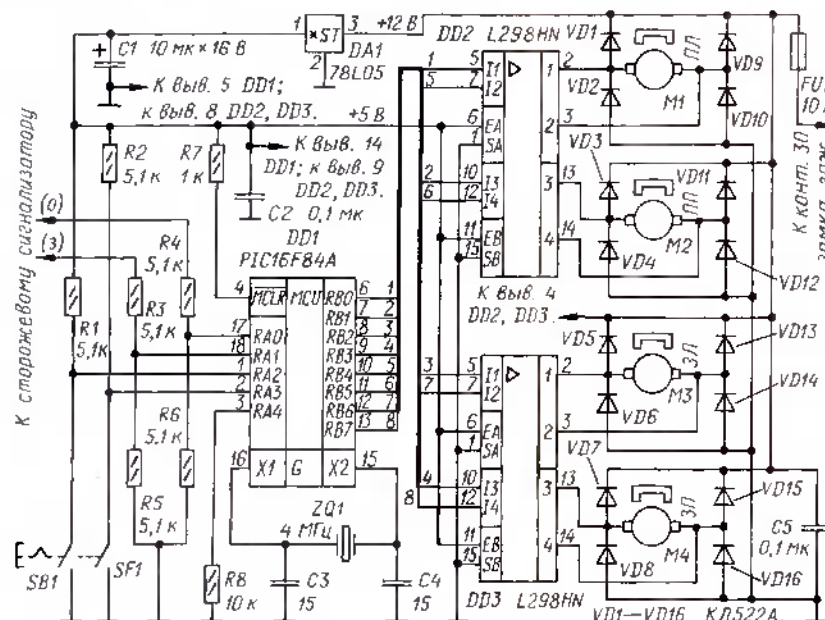


Рис. 1

Защищенность машины и удобства для пользователя окажутся наиболее полными, когда система дистанционного запирания будет совмещена с системой автосигнализации. При этом повышаются и уровень охраны автомобиля, так как одновременно с включением режима охраны автоматически запираются все двери, и надежность защиты автомобиля, поскольку после того, как водитель вышел из салона, возможно автоматическое запирание дверей (пассивное включение с блокировкой двери), и личная безопасность водителя и пассажиров в результате запирания дверей в момент включения зажигания.

Логика работы системы такова, что импульсы отпирания—запирания поступают на все электрозамки одновременно. При эксплуатации было обнаружено, что зимой загустевшая смазка механизмов замков и неспособность бортовой батареи аккумуляторов отдавать большой мгновенный ток приводят к тому, что электрозамки не могут надежно разблокировать двери. Аналогичная ситуация складывается и при запирании, вследствие чего какая-либо дверь может остаться незапертой.

Кроме этого, как в большинстве автосигнализаторов, выполняются "холостые ходы" при отпирании—запирании задних дверей, если в поездку собира-

ется один водитель либо водитель с одним пассажиром. Говоря иначе, не предусмотрена возможность раздельного управления электрозамками.

В сигнализаторе "STARLINE A8" есть программируемый выход для реализации функции двушагового запирания—отпирания дверей. На практике это выглядит так. При нажатии на кнопку отпирания дверей на пульте сигнализатора открывается только водительская дверь. Чтобы открыть остальные, необходимо установить курсор на экране пульта на значок активации дополнительного канала и снова нажать на кнопку отпирания дверей.

Это не показалось удобным и не решало всех проблем. Поэтому дополнительно к сигнализатору было разработано устройство, которое эти недостатки устраняло. Дополнив им даже самый дешевый автосигнализатор, можно повысить безопасность автомобиля и удобство пользования.

Основное назначение устройства — поочередное избирательное включение электроприводов замков дверей автомобиля. Подобная функция, кстати, реализована в автосигнализаторах более высокого уровня, таких как MICROCAR ALARM 052.1, SERPI STAR GR-44 и др. Она позволяет избежать резкого падения напряжения в бортовой сети автомобиля в момент отпирания—запирания и, как следствие этого, обеспечить надежное срабатывание каждого электрозамка, особенно зимой.

Принципиальная схема устройства показана на рис. 1. Оно собрано на широко известном радиолюбителям микроконтроллере PIC16F84A и двух сдвоенных мостовых усилителях тока L298HN с максимальным коммутируемым током 2 А при напряжении на нагрузке до 50 В.

После включения питания происходит инициализация микроконтроллера DD1 — линии RA0, RA1, RA2, RA4 настраиваются для работы на вход, все линии порта B — на выход. На выходах RB0—RB7 — низкий уровень, электродвигатели M1—M4 обесточены. Микроконтроллер DD1 постоянно следит за состоянием входов RA0, RA1.

Импульс высокого уровня длительностью не менее 0,7 с (она выбрана избыточной для предотвращения ложных срабатываний), поступающий со сторожевого сигнализатора на верхний по схеме вход устройства (обозначенный буквой О — вход отпирания), приходит на вход RA0 микроконтроллера DD1. На его выходах RB0—RB3 последовательно возникают импульсы высокого уровня длительностью 0,7 с с паузой между ними 0,7 с. Для надежного срабатывания электрозамков длительность импульсов можно увеличить до 1 с.

Эти импульсы поступают на входы четырех мостовых усилителей тока — два объединены микросхемой DD2 и два — DD3, которые управляют работой электродвигателей M1—M4. На вход каждого моста поступают два рабочих импульсных сигнала. Электродвигатель включается, когда уровни сигналов на входах его управляющего моста разные, и обесточен, когда уровни одинаковые.

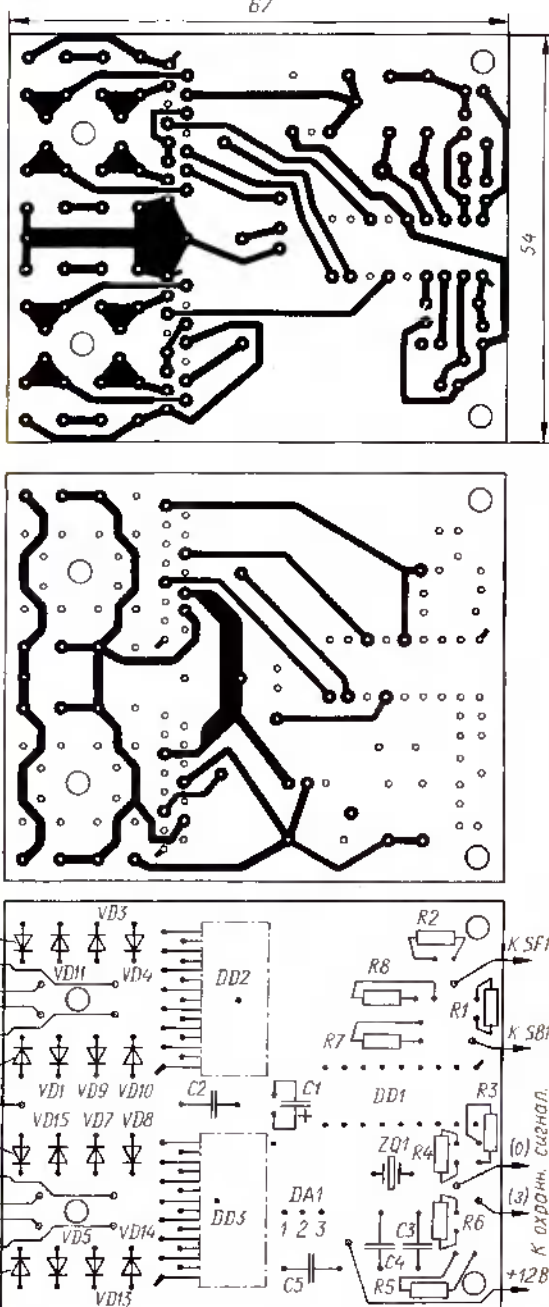


Рис. 2

В зависимости от комбинации уровней на входах усилителей DD2, DD3 роторы электродвигателей вращаются в прямом или обратном направлении, запирая или отпирая двери автомобиля. В рассматриваемом устройстве при высоком уровне на входах 11, 13 и низком на входах 12, 14 электродвигатели отпирают двери. При обратном сочетании уровней двери поочередно запираются. Последовательность отпирания—запирания: задняя правая, задняя левая, передняя правая, передняя левая.

Если при отпирании дверей какая-либо из них окажется уже открытой (контакты конечного дверного выключателя SF1 замкнуты, на входе RA3 мик-

роконтроллера DD1 низкий уровень), то двери отпираться не будут. Считается, что они уже открыты.

Кнопка SB1 с двумя фиксированными положениями предназначена для принудительной отмены отпирания задних дверей. Сделано это из тех соображений, что по статистике при 60 % поездок в салоне легкового автомобиля находится только водитель. Если контакты SB1 замкнуты, на входе RA2 микроконтроллера DD1 присутствует низкий уровень. Это означает, что при отпирании дверей состояние выходов RB2, RB3 микроконтроллера не изменится и задние двери останутся закрытыми. А вот при постановке машины на охрану и запирании дверей на электрозамки задних дверей все равно будут поданы импульсы запирания, так как двери могли быть до этого открыты изнутри вручную.

При подаче импульса высокого уровня длительностью не менее 0,7 с сигнализатора на нижний по схеме вход устройства (3 — вход запирания) на выходах RB4—RB7 микроконтроллера последовательно устанавливаются импульсы высокого уровня длительностью 0,7 с с паузой между ними 0,7 с. Эти импульсы, поступая на входы микросхем DD2 и DD3 и далее на электродвигатели M1—M4, приводят к запиранию всех замков, независимо от состояния контактов кнопки SB1 и дверного выключателя SF1. Сделано это из соображения безопасности.

В устройстве применены резисторы МЛТ-0,125, постоянные конденсаторы К10-17, оксидный конденсатор С1 — импортный, но подойдет и отечественный К50-35 на номинальное напряжение 63 В. Микроконтроллер DD1 желательно использовать индустриального исполнения — PIC16F84A-04/P с расширенным рабочим температурным интервалом. Стабилизатор напряжения 78L05 можно заменить на 7806 с учетом разницы в цоколевке. Вместо диодов КД522А можно использовать КД522Б или 1N5822. Кнопка SB1 — 53.33.2456 от автомобилей ВАЗ, а SF1 — это вы-

ключатель, смонтированный в проеме двери автомобиля и включающий лампу освещения салона. К остальным деталям особых требований не предъявляется.

Устройство собрано на плате из фольгированного с обеих сторон стеклотекстолита толщиной 1 мм и помещено в пластмассовый корпус подходящих размеров, который приклеен скотчем в консоли панели приборов рядом со стояревым сигнализатором.

Чертеж печатной платы показан на рис. 2. Все выводы деталей необходимо надежно пропаять и покрыть плату лаком ЭДП. Предохранитель FU1 устанавливается в разрыв провода от контакта 30 замка зажигания.

Соединение дверных электродвигателей с устройством следует выполнять гибкими медными проводами сечением 1...1,5 мм² в надежной изоляции. Все скрутки проводов обязательно пропаиваются и изолируются соединения отрезками термоусадочной трубы.

Вместо микросхем L298HN можно использовать релейные узлы. На рис. 3 показана схема релейного узла для одного электродвигателя. Для узла подойдут стандартные автомобильные реле с переключающими контактами — 90.3747 или 114.3747-10; возможно применение и других реле с рабочим напряжением обмоток 12 В и допустимым током через контакты 2...3 А.

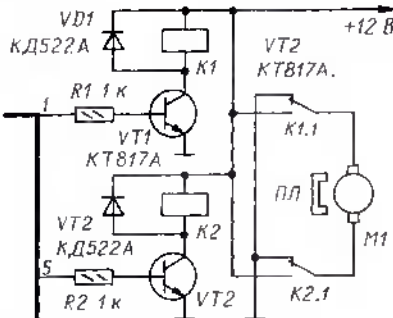


Рис. 3

```

:020000040000FA
:100000000128860183160Г30850000308600811394
:10001000812141000308600030105101414051806
:100020002628851814280128851001288320851cBC
:1000300001288617382086130617382006138616DF
:100040003820861206163820061201283820051c92
:1000500001281418312886153820861106153820F5
:10006000061186143820861061438200610012840
:10007000123090008E3091000430910003090083E2897
:0C00800091083E2893CB3E2800008066
:02400E00F90087
:00000001FF

```

Программа микроконтроллера разработана в среде MPLAB 5.70.40 фирмы Microchip. Симуляция проводилась в программе Proteus. Коды программы микроконтроллера представлены в таблице.

От редакции. Текст и коды программы микроконтроллера размещены на FTP-сервере редакции по адресу <[ftp://ftp.radio.ru/pub/2009/10/upz_zam.zip](http://ftp.radio.ru/pub/2009/10/upz_zam.zip)>.

Освещение салона сверхъяркими светодиодами

В. ГОРБАТЫХ, г. Улан-Удэ, Республика Бурятия

Проблема замены малонадежного осветителя салона автомобиля продолжает тревожить многих автовладельцев. Журнал уже посвятил ее решению несколько публикаций. Статья, помещенная ниже, предлагает еще один вариант светодиодного осветителя салона.

Надежность осветителя салона автомобиля "Волга ГАЗ-3110" на люминесцентной лампе оставляет желать лучшего. В моей машине осветитель салона вышел из строя на второй год эксплуатации. Попытки самостоятельно собрать более надежный преобразователь, аналогичный описанному в статье В. Харькова "Блок питания люминесцентной осветительной лампы" ("Радио", 2006, № 7, с. 47, 48), при-

обогреватель стекла и прочие потребители, эффективность такого осветителя резко снижается. При повышении же сверх 14 В ток через светодиоды превысит предельно допустимый, что выведет их из строя.

В этом случае можно, конечно, вместо балластных резисторов использовать стабилизаторы тока на 50 мА, но проблема работы при пониженном бортовом напряжении остается.

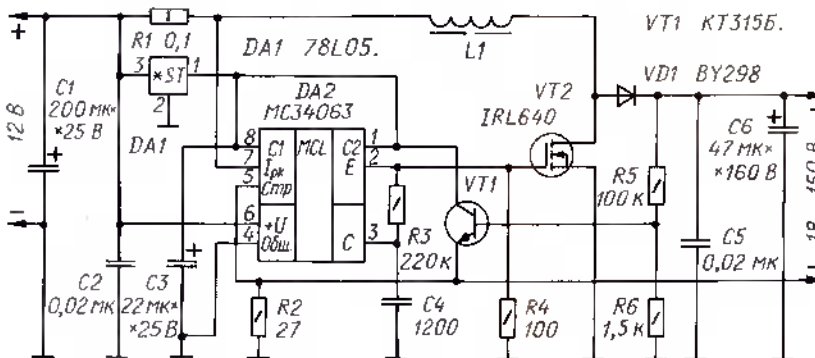


Рис. 1

несли только временный успех. Люминесцентная лампа, нормально работающая летом, с наступлением холода перестала включаться. Для надежного ее запуска все же, видимо, необходим накал электродов. Появление в продаже сверхъярких светодиодов подтолкнуло к идею заменить ими лампу в плафоне освещения салона автомобиля.

Обычно светодиод подключают к источнику питания через балластный резистор. Испытание приобретенных светодиодов КИПД80 показало, что среднее прямое падение напряжения на каждом приборе равно 3,5 В при среднем прямом токе 50 мА. Повышение тока сверх 70 мА приводит к выходу светодиода из строя. Соответственно максимальная потребляемая мощность одного светодиода равна 0,175 Вт.

Расчет показывает, что при напряжении питания 12 В и семи гирляндах из трех последовательно включенных светодиодов и одного балластного резистора сопротивлением 30 Ом в каждой КПД осветителя равен 87,5 %. Но бортовое напряжение в автомобилях довольно нестабильно (в ГАЗ-3110 нормальным считается изменение напряжения от 11 до 15 В). При пониженном напряжении, когда включены фары,

поэтому было принято решение собрать гирлянду из двадцати последовательно включенных светодиодов и питать ее от повышающего обратноходового преобразователя. Изучение опыта построения светодиодных светильников в Интернете определило основу преобразователя — недорогой и доступный микроконтроллер с широтноимпульсным управлением МС34063 (фирмы ON Semiconductor) или его отечественный аналог КР1156ЕУ5. Так как предельное напряжение выходных транзисторов этой микросхемы 40 В, а для гирлянды из двадцати светодиодов требуется 70 В, потребовался внешний высоковольтный переключающий транзистор, в качестве которого был выбран полевой транзистор IRL640 с максимальным напряжением 200 В, максимальным током 18 А и сопротивлением открытого канала менее 0,18 Ом. Другим аргументом в пользу этого транзистора стало малое время его переключения.

Принципиальная схема преобразователя изображена на **рис. 1**. Включение микросхемы МС34063 имеет три отличия от типового. Первое — предвыходной и выходной транзисторы микроконтроллера подключены к микромощ-

ному стабилизатору 78L05 (DA1) на напряжение 5 В, что необходимо для управления транзистором IRL640 (в типовой схеме они подключены непосредственно к источнику питания).

Второе — введена слабая ОС через резистор R3 сопротивлением 220 кОм, только так удалось избавиться от самовозбуждения микроконтроллера на звуковой частоте (нетиповое решение). Третье — делитель выходного напряжения образован резистором R2 и гирляндой светодиодов, что позволяет стабилизировать ток в гирлянде. Так как пороговое напряжение компаратора микроконтроллера равно 1,25 В, то ток в нагрузке будет стабилизирован на уровне 46,3 мА. Преобразователь сохраняет работоспособность при входном напряжении в пределах 8...18 В.

Питание гирлянды светодиодов стабильным током позволяет сохранить уровень мощности, передаваемой на нее, в широких пределах изменения питающего напряжения. Это также обеспечивает температурную компенсацию режима работы светодиодов — при повышении температуры прямое падение напряжения на светодиоде уменьшается. Следовательно, уменьшается потребляемая им мощность. Как следствие комфортных условий питания светодиодов — надежность и долговременность их работы.

Для ограничения выходного напряжения на уровне ниже напряжения пробоя транзистора IRL640 введено защитное устройство на транзисторе КТ315Б с делителем напряжения R5R6 в цепи базы. Транзистор VT1 открывается при достижении напряжения на выходе преобразователя около 150 В. Такое решение позволяет избежать выхода из строя транзистора IRL640 при отключенной гирлянде светодиодов.

Сопротивление резистора R1 выбрано из расчета ограничения тока через транзистор IRL640 на уровне 3 А. Из-за отсутствия в продаже резисторов такого номинала он был изготовлен из двух витков никромовой проволоки диаметром 0,5 мм, намотанных на хвостовик сверла диаметром 4,5 мм. Выводы проволоки были заложены с использованием ортофосфорной кислоты.

Катушка преобразователя выполнена в броневом магнитопроводе Б18 от преобразователя старого люминесцентного осветителя. Она состоит из 30 витков провода ПЭВ-2 0,3. Катушку наматывают на каркас виток к витку, слои разделяют слоем конденсаторной бумаги. Зазор между чашками магнитопровода выполняют с помощью шайбы, вырезанной из офисной бумаги.

Чашки стягивают медным или латунным винтом М3. Им же магнитопровод крепят к плате. Каркас катушки фиксирован внутри магнитопровода шайбами из пористого полиэтилена.

Транзистор IRL640 устанавливают на самодельный теплоотвод, вырезанный из медной пластины толщиной 1 мм. Боковые края теплоотвода надрезаны, отогнуты вверх и развернуты пассатижами на 90 град. Для лучшего теплового контакта между транзистором и теплоотводом применяют теплопроводную пасту. Теплоотвод с транзистором кре-

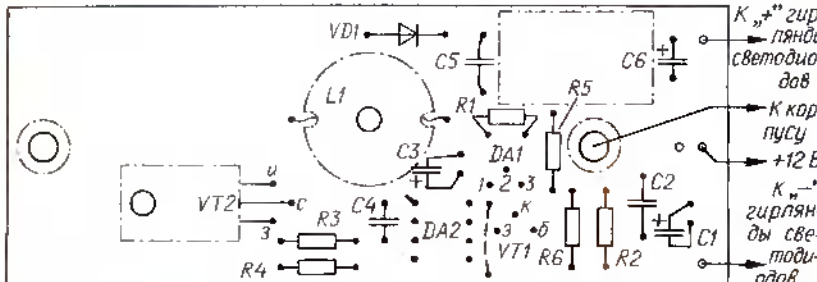
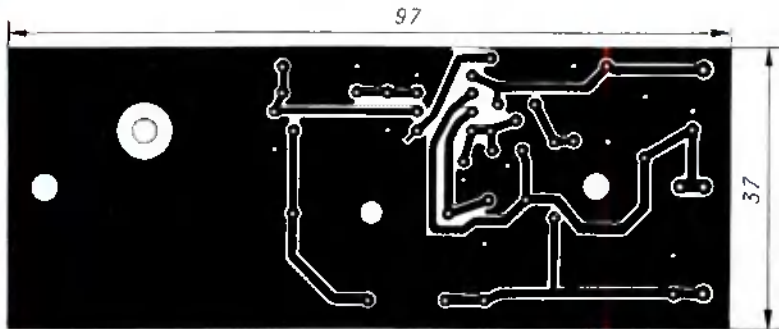


Рис. 2

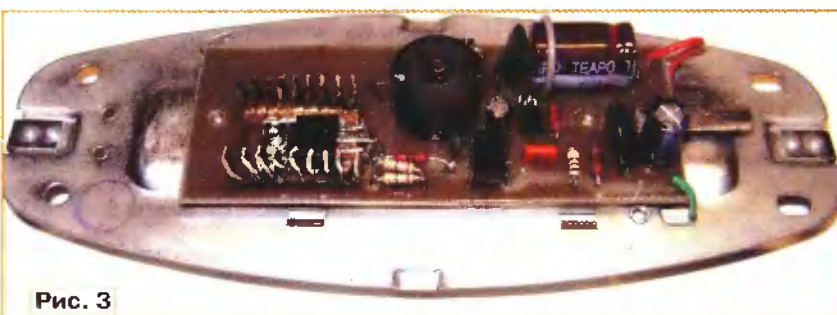


Рис. 3

пят к плате преобразователя винтом и гайкой М3.

Выпрямительный диод VD1 выбран с максимальным обратным напряжением 400 В и временем восстановления 150 нс только потому, что имелся в продаже. Он немного греется и снижает КПД преобразователя. Желательно применять диоды с меньшим временем восстановления (HER105 или SF18).

Плата преобразователя изготовлена из фольгированного стеклотекстолита толщиной 1,5 мм. Чертеж платы показан на рис. 2. Фольга вытравлена только узкими полосами вдоль печатных проводников, оставшаяся фольга служит общим проводом, подключаемым к корпусу автомобиля (отрицательному полюсу бортового напряжения).

Для крепления платы преобразователя к основанию светильника к ней припаяны две гайки М3, они же служат контактами, подключающими общий провод платы к основанию.

Контакт под стандартный разъем типоразмера 6,3 мм для подключения к плате плоскового провода бортового питания также вырезан из листовой меди толщиной 1 мм. К плате его крепят скобой из медной проволоки диамет-

ром 1 мм и пропаивают. Внешний вид платы, установленной на основание светильника, показан на рис. 3.

Гирлянду светодиодов собирают на отдельной плате из такого же стеклотекстолита. Ее крепят к основанию светильника вместо люминесцентной лампы на двух втулках длиной 5 мм двумя винтами М3, которые ввинчивают в гайки, припаянные к плате преобразователя. Светодиоды размещают на плате равномерно и соединяют последовательно согласно. Гирлянду подключают к преобразователю двумя гибкими проводами МГФ.

С основания осветильника надо удалить детали крепления люминесцентной лампы.

Налаживания осветитель практически не требует и при исправных деталях начинает работать сразу. В гирлянде может быть от шести до сорока светодиодов.

Измеренный КПД преобразователя равен 75 % при потребляемой мощности 4,29 Вт и, соответственно, мощности в гирлянде 3,22 Вт.

Редактор — Л. Ломакин, графика — Л. Ломакин,
фото — автора

МОДУЛЬНАЯ РЕКЛАМА

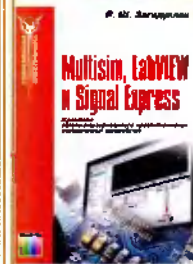
Набор деталей "USB программа" по статье А. Рыжкова из "Радио" № 7 за 2008 г. Термостаты, частотомеры, вольтметры, амперметры, наборы чип резисторов и конденсаторов 1206, 0805, 0603. Другие радионаборы и детали.

<http://chipnabor.ru/>

e-mail — nabor@inbox.ru.

Тел. +7-916-431-53-46 г. Москва.

Вышла в свет новая книга:



Загидуллин Р. Ш.
Multisim, LabVIEW и
Signal Express. Практика автоматизированного проектирования электронных устройств. — М.: Горячая линия — Телеком, 2009. — 366 с.: ил. ISBN 978-5-9912-0022-6.

Рассмотрена современная технология разработки, тестирования и изготовления электронных устройств с интегрированным использованием программы системы автоматизированного проектирования Multisim, программы моделирования и сбора данных LabVIEW и программы автоматизации эксперимента Signal Express. Multisim при его интегрировании с LabVIEW впервые дает инженеру возможность анализа непосредственного взаимодействия реальных, физических сигналов с моделируемыми схемотехническими решениями. Multisim позволяет анализировать решения с использованием микропроцессоров, а также после отладки схемотехнического решения предоставляет широкие возможности по подготовке печатных плат. LabVIEW — открытая среда графического программирования, де-факто ставшей стандартом в области разработки контрольно-измерительных и автоматизированных систем, дает возможность решения аналитических и численных задач и приложений. Signal Express позволяет легко разрабатывать решения для построения экспериментальных исследований и анализировать результаты анализа решений, полученных при моделировании и экспериментальном исследовании. Книга написана на основании педагогического опыта кафедры "Радиоэлектронные системы и устройства" МГТУ им. Н. Э. Баумана и может использоваться в качестве учебного пособия для лиц, желающих самостоятельно освоить использование программ LabVIEW, Multisim и Signal Express.

Для студентов вузов, специалистов, работающих в области автоматизации проектирования электронной аппаратуры, разработчиков и исследователей устройств автоматики, измерительной техники и электронной аппаратуры.

Отдел реализации издательства:
тел. (495) 737-39-27,
WWW.TECHBOOK.RU

Тел. 607-89-00

E-mail: mail@radio.ru

РАДИО

ЖУРНАЛ В ЖУРНАЛЕ!

10

наша жизнь

При участии Управления воспитания и дополнительного образования детей и молодежи Минобразования РФ.

РАДИО®

Простой автомат световых эффектов на микроконтроллере

А. ПАХОМОВ, г. Давлеканово, Башкортостан

Предлагаемый автомат световых эффектов управляет включением/выключением восьми светодиодов, имеет семь различных режимов и три частоты мигания, которые можно переключать с помощью кнопок. Кроме того, пользователь может при желании без особого труда заменить запрограммированные эффекты на свои.

Схема автомата показана на рисунке. Основа устройства — микроконтроллер Atmega8L (DD1), работающий по записанной в его памяти программе, тактируемый от внутреннего генератора частотой 1 МГц, которая установлена на заводе-изготовителе. Эффекты записаны в электрически перепрограммируемое ПЗУ (EEPROM) микроконтроллера. Нажатием на кнопку SB1 переключают частоту мигания светодиодов HL1—HL8, на кнопку SB2 — эффекты. Если замкнуть контакты выключателя SA1, режимы начнут сменяться автоматически через каждые 17 с.

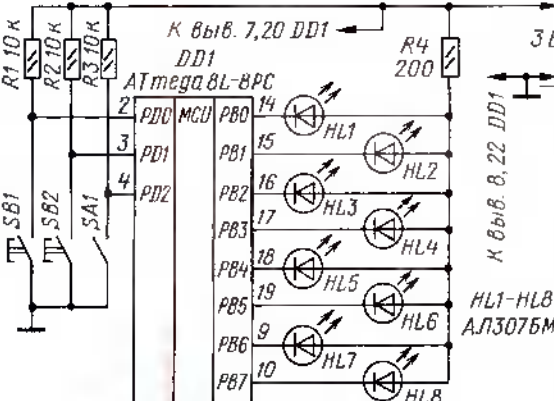


Таблица 1

.eseg
.org \$00a
.db 8, 254, 253, 251, 247
.db 239, 223, 191, 127
.org \$02a
.db 8, 238, 221, 187
.db 119, 238, 119
.db 187, 221
.org \$04a
.db 2, 255, 0
.org \$06a
.db 4, 238, 221, 187
.db 119
.org \$08a
.db 2, 85, 170
.org \$0aa
.db 16, 254, 252, 248
.db 240, 224, 192
.db 128, 0, 1, 3, 7, 15
.db 31, 63, 127, 255
.org \$0ca
.db 8, 214, 173, 91
.db 182, 109, 218
.db 181, 107

Таблица 2

:09000A000&FEFDFFB7EFDFFB7FEC
:09002A000&EEDDBB77EE77BBDDCB
:03004A0002FF0082
:05006A0004EEDDBB7790
:03008A000255AA72
:1000AA0010FEFCF8F0E0C080000103070F1F3F7F3D
:01000A000F646
:0900CA0008D6AD5BB66DAB56B2A
:00000001FF

В основном цикле программы "по кругу" считывает из оперативной памяти N байт и выводит их в порт В с задержкой, определяемой содержимым регистра Speed. При нажатии на кнопку SB1 в этот регистр записывается новая задержка. Если нажата кнопка SB2, в память загружаются другие M байт из EEPROM микроконтроллера, после чего программа снова переходит в основной цикл.

В табл. 1 показано, как выглядит содержимое EEPROM в ассемблерном тексте программы, оно начинается после директивы .eseg. Директива .org определяет адрес первого байта эффекта. Директива .db заносит по этому адресу число N байтов (до 31) в эффекте, за которым перечислены собственно значения этих байтов.

Всего в памяти имеются семь эффектов.

Коды, которые необходимо записать в EEPROM и память программ микроконтроллера, приведены соответственно в табл. 2 и 3.

Для замены какого-либо эффекта другим, разработанным самостоятельно, следует записать число N и нужные значения байтов, начиная с начального адреса исходного эффекта (\$00a, \$02a, \$04a и т. д.). Значения байтов вычисляют так. Поскольку катоды светодиодов соединены с соответствующими выводами порта В микроконтроллера, то когда на выхо-

Таблица 3

:020000020000FC
:02000001FC01F
:0400100058C03Ec0D5
:100040000F6E00E0BFF0E-076B00E001LBVE3
:1000500004E03Br05Le009Br789446e910e031e011
:1000600004E021E0E0E0DF1e08Ac259C00991CB
:1000700008B8A9509F003C0CE2FDF2FA8Z0F2D00B
:1000800001D0F5CF842F96EF9A95F1e78A95D9794
:1000900008950F930F870F9300B31027502F00958B
:1000A0001023012f1L52F0DFD0C001F01BC000F024
:1000B00052f0Lbd04L52f+0ebd01f910-fb0-9118
:1000C000189505E09BF0EC0220F21FD4C022F0D6
:1000D00004C023Fd04C044E68Cf4Dc2E6Cf46E984
:1000E00021E0e3C330F31FDCC032FD0CC033FD06
:1000F00004C0034FD0C035F0C036FD0CC037FD06
:100100000C08AE00DCD8Ae20Bc08AE409C08AE6D6
:1001100007C08AL805C08AEAC3C08Ac31e000C063
:10012000E2FDF2F8EBB00E00FB8E09Aa063Ba2F0E
:1001300083958EBB00E00FB8E09Aa0b309938395C6
:10014000A9509F06CFCF2FDF2FAB2F0FB707FD03
:040150008ECFADC02
:00000001FF

де порта присутствует высокий уровень, подключенный к нему светодиод погашен. Чтобы все светодиоды горе-

ли, на всех выходах порта должен быть низкий уровень. Для этого в порт В следует записать число 0b00000000 в двоичной, 0 в десятичной или \$00 в шестнадцатеричной системе, а чтобы все светодиоды были погашены — 0b11111111, 255 или \$ff. Можно следовать такому правилу: имеются восемь светодиодов и соответствующие им десятичные числа 1, 2, 4, 8, 16, 32, 64, 128 (начиная с HL1). Чтобы светодиод светил, вычитаем соответствующее ему число из 255. Чтобы светили несколько светодиодов, вычитаем сумму соответствующих чисел.

После того как внесены какие-либо изменения в файл проекта (программу или содержимое энергонезависимой памяти), его следует оттранслировать повторно. В результате будут созданы новые файлы содержимого EEPROM (с

расширением .eep) и исполняемой программы (с расширением .hex), которые необходимо записать соответственно в энергонезависимую память и память программ микроконтроллера.

К выводу 1 (RESET) DD1 можно подключить резистор сопротивлением 5...10 кОм (второй его вывод подключают к плюсовому линии питания) и конденсатор емкостью 0,1 мкФ (второй вывод соединяют с общим проводом) для установки микроконтроллера в исходное состояние при включении питания, но это совершенно не обязательно, ведь случайный перезапуск не будет иметь каких-либо последствий, кроме смены режима. В устройстве применимы любые светодиоды, выключатель и кнопки — любые, малогабаритные. Микроконтроллер Atmega8L допустимо заменить на Atmega8. В этом случае напряжение питания сле-

дует увеличить до 5 В и подобрать резистор R4 так, чтобы ток каждого светодиода не превышал 10...12 мА. Вместо светодиодов к выводам порта В микроконтроллера можно подключить, например, мощные полевые транзисторы или излучающие диоды оптронов для коммутации силы тока нагрузки.

Эффекты, приведенные в табл. 1, подобраны для случая расположения светодиодов по окружности. Автомат собран на макетной плате навесным монтажом.

От редакции. Текст и коды программы микроконтроллера имеются на нашем FTP-сервере по адресу <[ftp://ftp.radio.ru/pub/2009/10/sdu.zip](http://ftp.radio.ru/pub/2009/10/sdu.zip)>.

Редактор - В. Чуднов, графика - Ю. Андреев

Модернизация новогодней елочки

А. ЛЕЧКИН, г. Рязань

В настоящее время все более популярными становятся малогабаритные искусственные новогодние елочки. Многие из них снабжены электронной "начинкой", которая создает различные световые и звуковые эффекты. Однако зачастую эти эффекты однообразны, и поэтому радиолюбители модернизируют такие елочки с целью увеличения числа световых эффектов. Так сделал и автор предлагаемой статьи.

Чтобы порадовать себя и своих близких под Новый год, автор приобрел в магазине малогабаритную синтетическую ель (модель № IGT040EG1, высота ели — 40 см) с иллюминацией на основе светодиодов. Питание электронной "начинки" осуществляется от батареи напряжением 4,5 В, состоящей из трех гальванических элементов типа размера АА. Выключатель расположен со стороны основания рядом с отсеком для батареи питания, что не очень удобно. После включения питания елочка стала поочередно мигать красным и желтым цветами, что не оправдало надежд автора статьи, ожидавшего увидеть красочное световое представление. Разборка показала, что внутри находится бескорпусная микросхема, залитая компаундом, которая последовательно переключает два ярких светодиода красного и желтого цветов свечения (рис. 1). Среди ветвей елочки размещена гирлянда из светодиодов бело-

го цвета свечения. На верхушке елочки расположена звезда из прозрачного пластика со светодиодами внутри. Они электрически соединены с гирляндой.

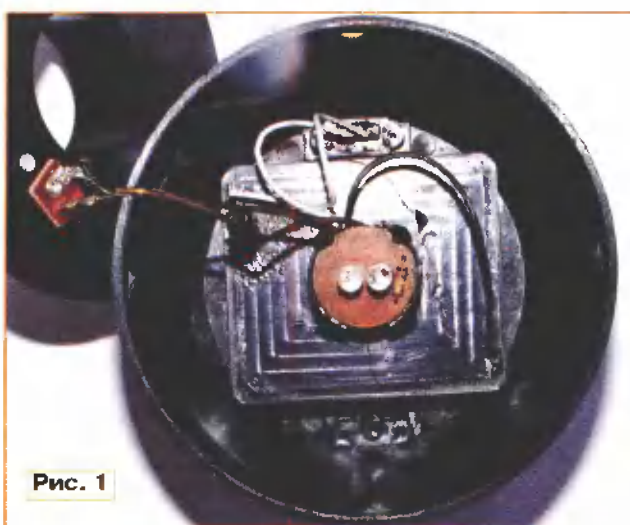


Рис. 1

Посчитав, что конструкция елочки позволяет воспроизвести большее число световых эффектов, была проведена ее модернизация — разработано и уста-

новлено взамен старого новое устройство управления светодиодами. В новом варианте елочка создает очень красивые световые узоры, динамические эффекты и может работать в четырех режимах. В первом — автоматическом — все световые эффекты циклически повторяются. Во втором — переключение световых эффектов происходит по хлопкам в ладони, в третьем — в такт с музыкой или речью. В четвертом — при изменении освещенности в помещении.

Более некоторые из световых эффектов, которые реализованы в программах: быстрые переключения трехцветных светодиодов (для каждого цвета), эффект "мерцание" (для каждого цвета), микширование цветов, быстрое включение — плавное гашение, последовательное переключение цветов с эффектом накопления и смены цвета, цветовые импульсы с малой паузой (для каждого цвета), изменение частоты вспышек, попеременное переключение елочки — гирлянда с изменением цвета свечения и т. д. Использование светодиодов повышенной яркости позволяет наблюдать световые эффекты при дневном свете, но лучшие результаты получаются в затемненном помещении.

Схема устройства показана на рис. 2, ее основа — микроконтроллер Atmega8L-8 (DD1) с минимальным напряжением питания 2,7 В. Для продления срока службы батареи питания и повышения экономичности все узлы питают преобразователь напряжения на микросхеме MC34063AP (DA1). Его выходное напряжение 3,5 В установлено резистивным делителем R5R7 и поступает на микроконтроллер, индикаторный

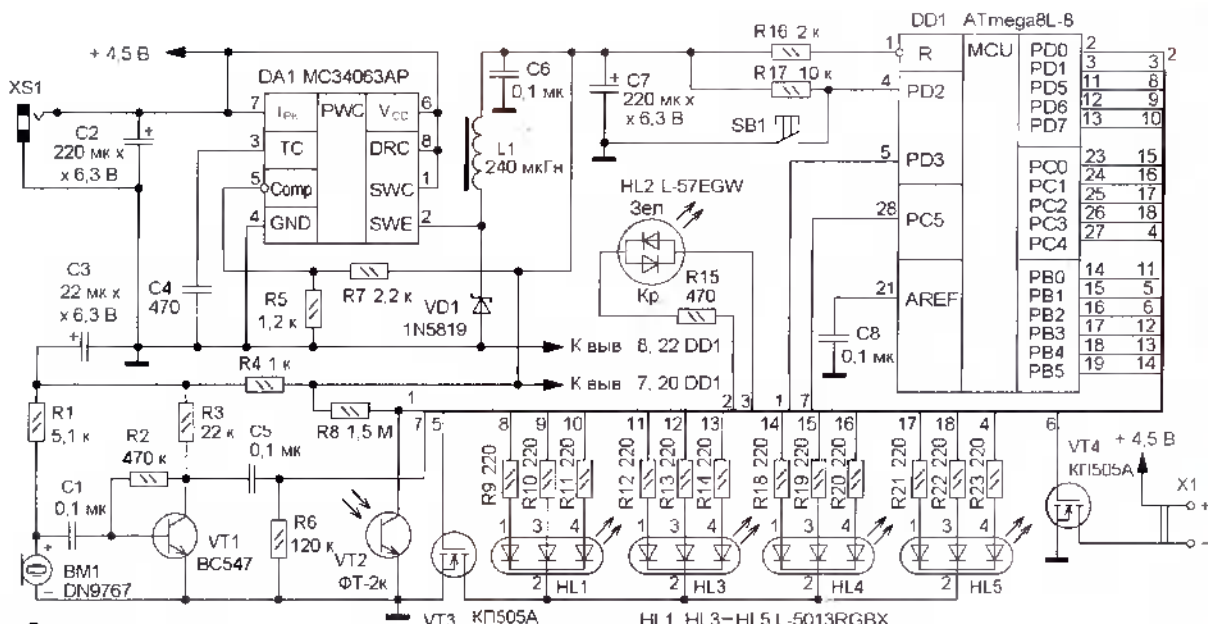


Рис. 2

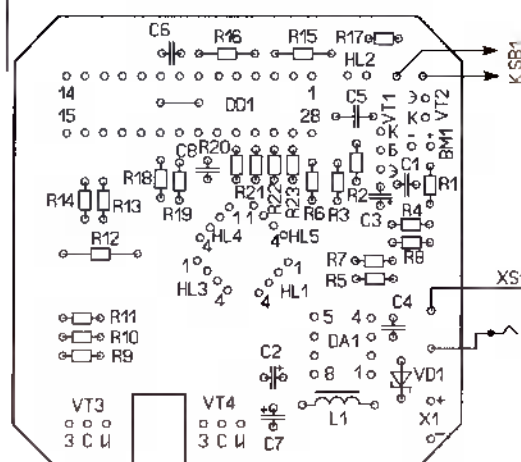
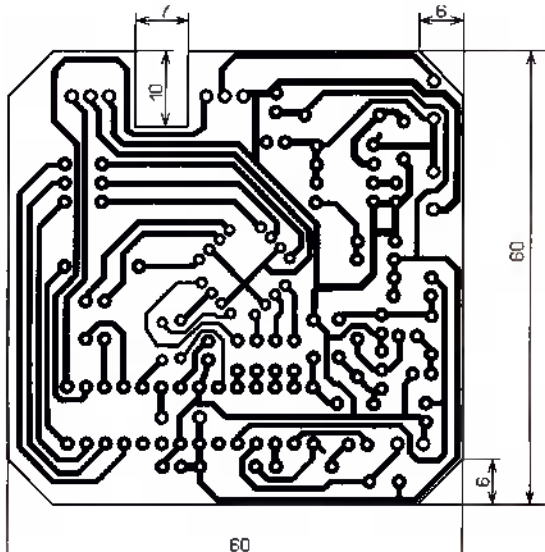


Рис. 3

светодиод HL2, трехцветные светодиоды HL1, HL3—HL5 и усилитель VT1. В памяти микроконтроллера DD1 запрограммированы алгоритмы воспроизведения световых эффектов и программа обработки сигналов от датчиков — фототранзистора VT2, микрофона BM1 и кнопки SB1. В микроконтроллере DD1 программно включен внутренний RC-генератор на частоту 4 МГц.

Переключают режимы кратковременными нажатиями на кнопку SB1, установленную на верхней крышке корпуса основания елочки. Размещенный рядом двухцветный светодиод HL2 (красный и зеленый) показывает установленный режим работы. Состояние кнопки SB1 контролирует линия PD2 (вывод 4) микроконтроллера DD1. Переключение режимов можно проводить в любой момент выполнения программы. Для защиты от дребезга контактов в программе заданы несколько большие выдержки, чем обычно принято. При переключении режимов это проявляется как небольшая задержка.

Напряжение на трехцветные светодиоды HL1, HL3—HL5 поступает с

выходов микроконтроллера DD1 через токоограничивающие резисторы R9—R14, R18—R23. Для создания большего разнообразия световых эффектов катоды этих светодиодов подключены к стоку полевого транзистора VT3. На его затвор с линии PB1 (вывод 15) микроконтроллера DD1 поступает ШИМ сигнал, который плавно изменяет яркость свечения всех трехцветных светодиодов. Аналогичный способ управления с помощью транзистора VT4 выбран и для гирлянд со звездой, размещенной на верхушке елочки. Так как здесь требуется более высокое напряжение питания (4,5 В), плюсовый контакт разъема X1 подключен непосредственно к батарее GB1. В исходном варианте гирлянда светила слишком ярко, поэтому программно уменьшена яркость ее свечения (скважность управляющих транзистором VT4 импульсов не может быть менее 2). Микроконтроллер не только управляет трехцветными светодиодами, но и комбинирует их включение с гирляндой, в результате чего получаются различные световые эффекты.

Звуковой сигнал преобразуется микрофоном BM1 в электрический и поступает на усилитель 34, питаемый через развязывающий фильтр R4C3. После усиления сигнал с резистора R6 поступает на линию PC5 (вывод 28) микроконтроллера DD1, программно сконфигурированную как вход встроенного АЦП. Микроконтроллер DD1 анализирует уровень сигнала и в зависимости от режима работы изменяет световые эффекты.

Автоматический режим запускается сразу после подачи питающего напряжения, циклически воспроизводя запрограммированные световые эффекты. При этом индикаторный светодиод



Рис. 4

HL2 не включен. Всего воспроизводится по двенадцать различных световых эффектов для каждого цвета свечения, поэтому общее их число — 36. Кроме того, каждый эффект повторяется несколько раз. Автоматический режим работы удобен тем, что не требует оперативного вмешательства, — все делает сама программа, создавая на елочке разнообразные световые узоры.

В режиме "включение по хлопку" индикаторный светодиод HL1 горит непрерывно красным цветом. Запуск режима производят одним коротким

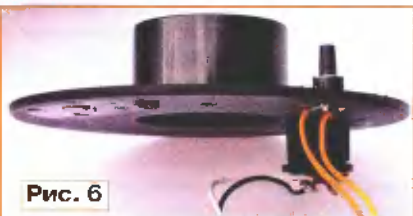


Рис. 6

нажатием на кнопку SB1. Елочка программно настроена на включение только после третьего хлопка и будет продолжать работать автономно, воспроизводя запрограммированные световые эффекты. В момент хлопка индикаторный светодиод на доли секунды гаснет, что является подтверждением полученного звукового сигнала. После третьего дальнейшие хлопки никакого эффекта не дадут. Этот режим можно использовать на вечерах, праздниках — там, где необходимо привлечь внимание, создать загадочную атмосферу, ввести элемент таинственности. Для повторного запуска этого режима нужно пять раз нажать на кнопку SB1 (так как после четырех нажатий программа вернется в исходный режим — "автоматический").

Для включения режима "в такт с музыкой или речью" необходимо два раза нажать на кнопку SB1 после подачи питания напряжения или один раз, если переход происходит из предыдущего режима ("включение по хлопку"). Инди-

каторный светодиод HL2 при этом начнет светить зеленым цветом. На каждый звуковой сигнал достаточной громкости елочка будет "откликаться" быстрой последовательной сменой трех цветов: синего, красного и зеленого. Чувствительность к звуковым сигналам в этом режиме высока, и устройство может реагировать даже на обычную речь. Елочка при этом работает как светодинамическая установка при исполнении песен под карaoke или при воспроизведении музыки.

портные, остальные — K10-17. Дроссель — EC24, кнопка — любая малогабаритная без фиксации. Микроконтроллер устанавливают в панель (рис. 4). Фототранзистор и светодиод HL2 монтируют после остальных элементов. Предварительно необходимо просверлить для них два отверстия в крышке корпуса основания, чтобы после установки печатной платы в корпус эта крышка свободно закрывалась, а индикаторный светодиод и фототранзистор на 1...3 мм выступали из отверстий (рис. 5). Кнопку устанавливают на крышке, в ней для этого сверлят два (или четыре) отверстия диаметром 1 мм, вставляют выводы кнопок и загибают их (рис. 6). С платой выводы соединяют гибкими монтажными проводами. Специальных отверстий для

Рис. 5



Для включения режима "фотодетектор" необходимо нажать на кнопку SB1 три раза (после подачи напряжения питания) или один раз, если переход производится из режима "в такт с музыкой". Светодиод HL1 станет мигать красным цветом, это означает, что начинается программный анализ уровня освещенности в помещении. Поэтому рекомендуется переходить в этот режим при уже включенном общем освещении. Затемнение фототранзистора или выключение освещения приведет к воспроизведению запрограммированных световых эффектов. Особенность этого режима в том, что при включении освещения световые эффекты на елочке выключаются. Последующее выключение вновь "запустит" световые эффекты с той части программы, где они были остановлены. При нажатии на кнопку SB1 (четвертое по счету после подачи питания напряжения) устройство перейдет в первый режим работы.

Большинство деталей установлены на печатной плате из односторонне фольгированного стеклотекстолита толщиной 1,5...2 мм, чертеж которой показан на рис. 3. Паз в плате предназначен для пластмассовой стойки основания корпуса. Применены резисторы С2-23, оксидные конденсаторы — им-

Рис. 7



микрофона в корпусе нет, поскольку устройство имеет высокую чувствительность. Внешний вид елочки показан на рис. 7.

Программа микроконтроллера написана на языке BASIC в среде программирования BASCOM-AVR. При программировании разряды конфигурации (fuse bits) устанавливать не требуется. Объем программы (в машинных кодах) около 4 Кбайт, что не превышает половины от объема ППЗУ микроконтроллера. Поэтому подготовленным радиолюбителям не составит труда добавить в программу дополнительные световые эффекты.

От редакции. Программа микроконтроллера новогодней елочки находится на нашем FTP-сервере по адресу <[ftp://ftp.radio.ru/pub/2009/10/elka.zip](http://ftp.radio.ru/pub/2009/10/elka.zip)>.

Простой таймер для зубной щетки

А. ОЗНОВИХИН, г. Иркутск

Предлагаемый таймер — упрощенный вариант аналогичного устройства, описанного автором в статье "Таймер для зубной щетки" ("Радио", 2009, № 1, с. 48, 49). Точность выдерживания временных интервалов у него меньше, но это вполне оправдывается простотой конструкции — таймер выполнен всего на одной микросхеме.

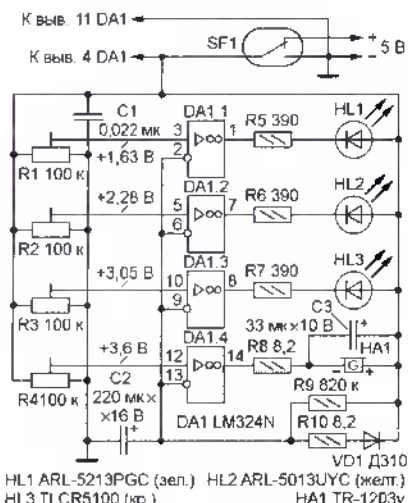


Рис. 1

Таймер включается и начинает отсчет времени при вынимании зубной щетки из трубы-держателя. С началом второй, третьей и четвертой минут по-следовательно зажигаются три светодиода (соответственно зеленого, желтого и красного цвета свечения), а по окончании четвертой включается тональный звуковой сигнал, извещающий об окончании времени, необходимого для тщательной очистки зубов. Сигнал звучит до тех пор, пока щетка не будет возвращена на место.

Каждая из четырех минут работы таймера предлагает чистить условно соответствующий ей очередной участок ротовой полости: первая и вторая — левый (соответственно верхний и нижний), третья и четвертая — правый (верхний и нижний). Такое "распределение" работы щетки позволяет равномерно и в достаточной степени очистить все четыре участка ротовой полости.

Таймер (его схема представлена на рис. 1) содержит четыре компаратора (ОУ DA1.1—DA1.4, R1—R4), времязадающую цепь C2R9, линейку светодиодов (HL1—HL3), узел звуковой сигнализации (HA1, C3, R8) и цепь VD1R10,

через которую разряжается конденсатор C2 после выключения питания.

Включается и выключается устройство герконом SF1, подвижный контакт которого изменяет свое положение под действием магнита, закрепленного на конце ручки щетки. При вынимании ее из трубы-держателя подвижный контакт устанавливается в положение,

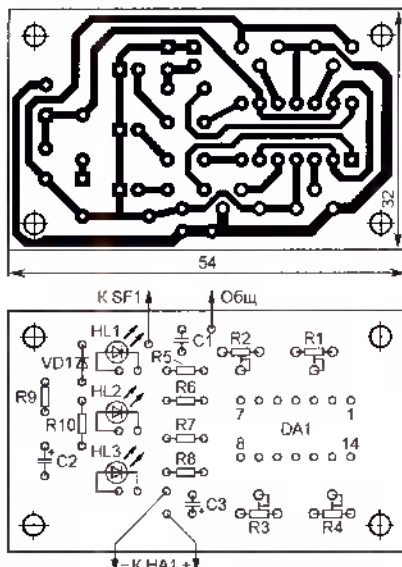


Рис. 2

показанное на схеме, таймер подключается к источнику питания и конденсатор C2 начинает медленно заряжаться через резистор R9. Параметры этих элементов определяют скорость нарастания напряжения на инвертирующих входах операционных усилителей DA1.1—DA1.4 и, как следствие, время включения светодиодов HL1—HL3 и звукоизлучателя HA1.

Как известно, при напряжении на неинвертирующем входе ОУ, большем, чем на инвертирующем, его выходное напряжение близко к напряжению питания $+U_{пит}$ (в данном случае +5 В), а при напряжении, меньшем, чем на инвертирующем, — к напряжению $-U_{пит}$ (в случае однополярного питания, как в этом устройстве, — к потенциалу общего провода).

В момент включения питания напряжение на инвертирующих входах (выходы 2, 6, 9, 13) ОУ DA1.1—DA1.4, соединенных с положительной обкладкой конденсатора C2, близко к нулю, а на неинвертирующих (выходы 3, 5, 10, 12) имеют вполне определенные значения, установленные при налаживании под-

строечными резисторами R1—R4. Поэтому на выходах всех ОУ (выводы 1, 7, 8, 14) присутствует высокий уровень, светодиоды HL1—HL3 не горят, а звукоизлучатель HA1 молчит. Идет первая ("темная") минута работы таймера.

По мере зарядки конденсатора C2 напряжение на нем возрастает и приблизительно через 1 мин, когда оно достигает значения примерно +1,6 В, т. е. становится больше напряжения, установленного подстроенным резистором R1 на неинвертирующем входе (выход 3) ОУ DA1.1, его выходное напряжение скачком уменьшается практически до нуля и светодиод HL1 (зеленого цвета свечения) зажигается. Аналогично, когда напряжение на конденсаторе C2 достигает значения примерно +2,3 В, срабатывает компаратор на ОУ DA1.2 и начинает светить светодиод HL2 (желтого цвета), а еще через минуту (при напряжении на конденсаторе около +3,1 В) — компаратор на ОУ DA1.3 и зажигается HL3 (красного). Таким образом, с наступлением четвертой минуты светят все три светодиода.

При напряжении на конденсаторе C2 около +3,6 В срабатывает компаратор на ОУ DA1.4 и включается звукоизлучатель HA1, издающий непрерывный тональный сигнал. После установки зубной щетки на место контакты геркона SF1 под действием закрепленного на конце ее ручки магнита устанавливаются в нижнее (по схеме) положение, питание таймера выключается, а конденсатор C2 разряжается через цепь R10VD1, подготавливая устройство к последующему включению.

Детали таймера монтируют на печатной плате (рис. 2), изготовленной из односторонне фольгированного гетинакса или стеклотекстолита толщиной 1,5 мм. Она рассчитана на применение постоянных резисторов МЛТ, С2-23, С2-33, подстроечных СП3-38а, керамического конденсатора К10-17 (C1) и импортных оксидных с малым током утечки (например, серии ТК фирмы Jamicon). Диод VD1 — любой германевый или кремниевый с возможно меньшим прямым падением напряжения. Возможная замена звукоизлучателя TR-1203У (3 В, 20 мА) — HMB-06 STAR (6 В, 30 мА). Геркон SF1 — любой переключающий, рассчитанный на коммутацию тока не менее 0,1 А. Указанные на схеме светодиоды заменимы любыми другими, желательно повышенной яркости свечения, в крайнем случае можно использовать и обычные, например, АЛ307НМ, АЛ307ГМ (HL1), АЛ307ЖМ, АЛ307ЕМ (HL2) и АЛ307КМ, АЛ307БМ (HL3). Для удобства замены микросхемы DA1 рекомендуется установить на плате специальную розетку (панель). Для питания таймера пригоден сетевой источник (адаптер) с выходным напряжением 5 В и током нагрузки не менее 100 мА.

Налаживание устройства начинают с проверки работоспособности компараторов. Включив питание и выждав 15...20 с (чтобы подзарядился конденсатор C2), поочередно поворачивают движки подстроечных резисторов R1—R4 из одного крайнего положения в другое и убеждаются в том, что соответствующие им нагрузки (HL1—HL3, HA1) переключаются.

Калибруют таймер с помощью часов, имеющих секундную стрелку (или индикацию секунд, если часы цифровые). Для этого при выключенном питании устанавливают движки всех подстроечных резисторов в среднее положение. Дождавшись показаний часов "00 секунд", включают таймер и через 55...60 с поворотом движка резистора R1 добиваются зажигания светодиода HL1. Не выключая питания, выжидают, пока пройдет еще минута, и подстроечным резистором R2 заставляют зажечься светодиод HL2. Далее (спустя последующие 55...60 с) таким же образом добиваются включения светодиода HL3 и, наконец (еще примерно через минуту), включения звукового сигнала. При этом должны светить все три светодио-

да. Указанные процедуры рекомендуется повторить, чтобы более точно установить временные интервалы между зажиганием светодиодов и появлением звукового сигнала окончания процесса. Первоначальную калибровку по показаниям часов можно заменить установкой (с помощью тех же резисторов) на неинвертирующие входах ОУ DA1.1—DA1.4 напряжений, указанных на схеме.

В заключение, если необходимо, подбирают резисторы R5—R7, добиваясь примерно одинаковой яркости свечения светодиодов HL1—HL3.

Для защиты от влаги настроенную плату желательно покрыть из пульверизатора несколькими слоями влагозащитного лака (не забудьте перед этим надеть на светодиоды отрезки поливинилхлоридной трубки, которые защитят их от попадания лака).

Плату таймера помещают в прямоугольный пластмассовый корпус подходящих размеров с вырезанными в его стенках отверстиями: одним в верхней (по диаметру трубки-держателя зубной щетки) и четырьмя в передней (под звукоизлучатель HA1 и светодиоды HL1—

HL3). Отверстия под светодиоды следует расположить вертикально. Трубка-держатель щетки может быть готовой или склеенной из нескольких слоев плотной бумаги, смазанной эпоксидным клеем. Ее внутренний диаметр должен быть таким, чтобы щетка свободно устанавливалась на место. В верхней стенке корпуса трубку закрепляют kleem. Геркон приклеивают к основанию корпуса (под трубкой) с таким расчетом, чтобы его контакт переключался при приближении магнита, закрепленного на конце ручки зубной щетки. Магнит лучше всего взять круглый, его проще закрепить на щетке (например, с помощью отрезка поливинилхлоридной трубы подходящего диаметра, наполовину надетого на ручку и магнита).

Звукоизлучатель HA1 вставляют в предназначеннное для него отверстие в передней стенке и закрепляют с внутренней стороны kleem "Момент". Диаметр отверстия должен быть таким, чтобы корпус звукоизлучателя входил в него с небольшим трением.

Редактор — В.Фролов, графика — В.Фролов

Игрушка "Спецсигнал"

Д. МАМИЧЕВ, п/о Шаталово-1 Смоленской обл.

Специальными сигналами — проблесковыми маячками с сиренами — оснащены автомобили скорой помощи, милиции, пожарной охраны, а также перевозящие опасные грузы. Дети довольно часто в своих играх имитируют их работу. Облегчить такой "нелегкий труд" призвана игрушка, описание которой представлено ниже.

Источником звукового сигнала в игрушке служит динамическая головка, светового — светодиоды разного цвета свечения, а источником электропитания — шаговый электродвигатель от пятидюймового дисковода ПК. Конструкция игрушки показана на рис. 1. Ротор шагового

двигателя закреплен на ручке, а на статоре размещены динамическая головка и печатная плата с установленными на ней элементами. Динамическая головка установлена в стороне от оси шагового двигате-

ля, поэтому при легком кистевом вращении игрушки в руке статор начинает вращаться относительно закрепленного ротора.

На обмотке двигателя появляется переменное напряжение питания — светодиоды начинают вспыхивать, и звучит сигнал. Поскольку эти элементы находятся в движении, то наблю-

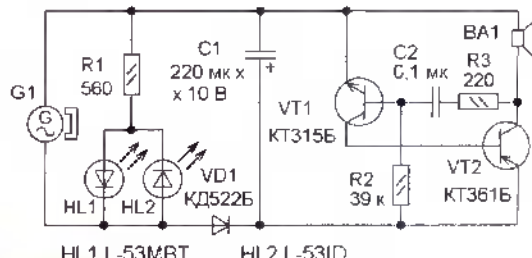


Рис. 2

датель воспринимает звуковой сигнал переменной тональности, а светодиоды формируют вращающиеся красно-синие кольца или овалы.

Схема игрушки показана на рис. 2. При вращении статора переменное напряжение поступает на светодиоды HL1, HL2 разного цвета свечения, и они поочередно вспыхивают. Частота вспышек зависит от скорости вращения, а яркость — как от частоты вра-



Рис. 1

щения, так и от сопротивления токоограничивающего резистора R1. Одновременно переменное напряжение поступает на выпрямитель, собранный на диоде VD1 и сглаживающем конденсаторе C1, а от выпрямителя питается генератор импульсов 34 на транзисторах VT1, VT2, нагрузкой которого служит динамическая головка BA1.

Большинство деталей размещены на печатной плате из односторонне фольгированного стеклотекстолита, чертеж которой показан на **рис. 3**. Основанием игрушки является деревянная ручка длиной 12...15 см, в торце которой сверлят глухое отверстие и плотно вставляют в него вал ротора шагового двигателя. Под стягивающие магнитопровод статора двигателя винты хомутом крепят динамическую головку. В ее крепежные отверстия вставляют стойки для платы такой длины, чтобы ось ротора проходила через ее плоскость.

Если в схему игрушки ввести "мигающий" светодиод (**рис. 4**), работа генератора импульсов станет прерывистой, и в динамической головке будут слышны перепады звука, который станет "зывывающим", а вращающиеся кольца или овалы — трехцветными (**рис. 5**). Дополнительный интересный вариант игрушки — вертолет, ее можно собрать согласно схеме, показанной на **рис. 6**. Введение в генератор импульсов акустического пьезоизлучателя со встроенным генератором позволяет получить звуковой имитатор работы вертолетного двигателя. Свечение светодиода при вращении статора шагового двигателя имитирует изображение плавно вращающихся лопастей вертолета. Для усиления эффекта желательно удлинить выводы светодиода на 1,5...2 см. При реализации игрушки по схемам на **рис. 5** и **6** топологию печатной платы придется изменить.

В игрушке и ее вариантах можно применять резисторы МЛТ, С2-23, оксидные конденсаторы — импортные, остальные — К10-17, К73-16, транзисторы серий КТ315, КТ361 с любыми буквенными индексами, диод может быть любой малогабаритный выпрямительный. Светодиоды желательно применить красного и синего цветов свечения с повышенной яркостью свечения диаметром 5 мм, "мигающий" светодиод — красного или зеленого цвета свечения такого же диаметра. Акустический сигнализатор со встроенным генератором — от компьютера "Роботрон". Динамическая головка — 0,25ГД-10 (8 Ом).

Редактор — Н. Нечаева, графика — Н. Нечаева,
фото — автора

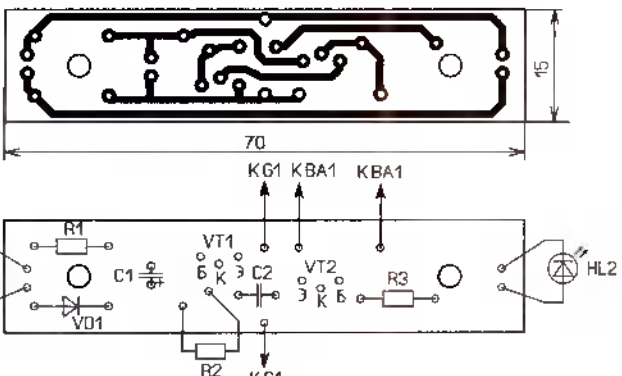


Рис. 3

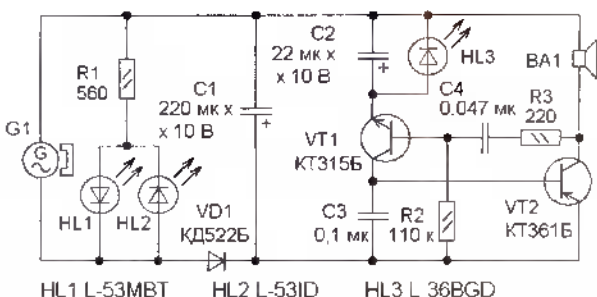


Рис. 4

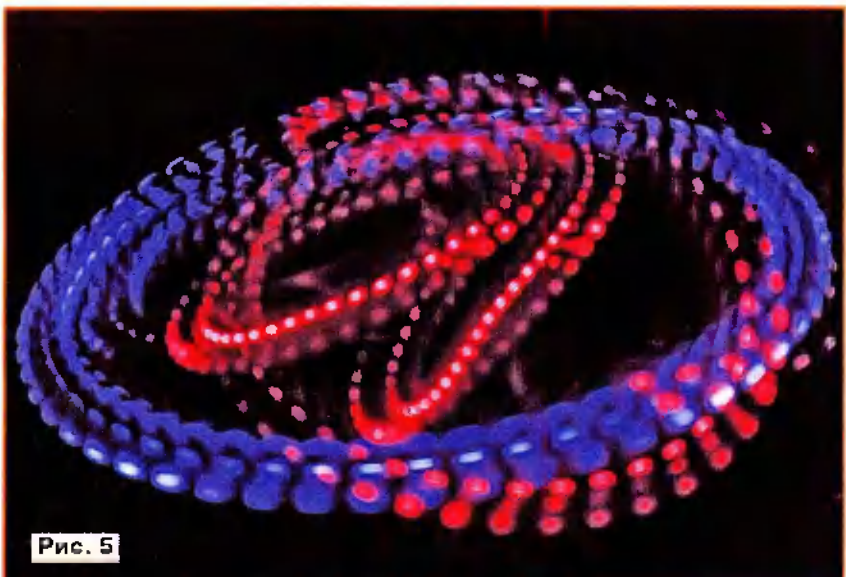


Рис. 5

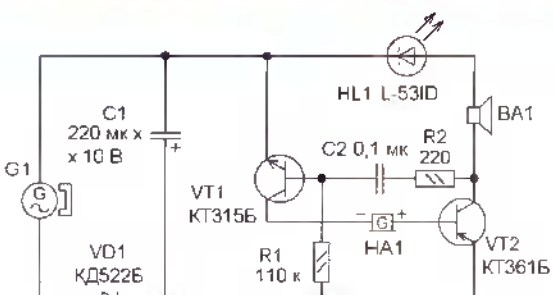


Рис. 6

Колокольный звон... из жестких дисков

Д. МАМИЧЕВ, п/о Шаталово Смоленской обл.

То, что еще вчера было новым и передовым, сегодня безнадежно устарело... Это в полной мере относится к компьютерной технике. Импульсный блок питания, электродвигатели и вентиляторы — вот, пожалуй, и все, что можно извлечь из старенького системного блока и использовать в радиолюбительских конструкциях.

транзисторными ключами VT1—VT4. Открываясь по очереди, они пропускают через полуобмотки статора импульсы тока, заставляющие ротор вращаться в одну определенную сторону. Импульс, появившийся на выводе 4 (вывод 10) микросхемы DD2, поступает на вход R и переводит счетчик в нулевое состояние, после чего

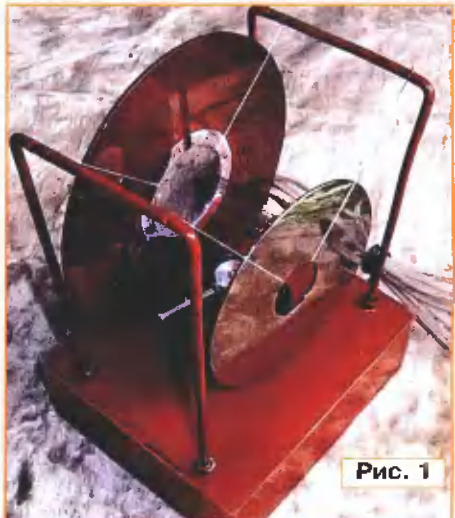


Рис. 1

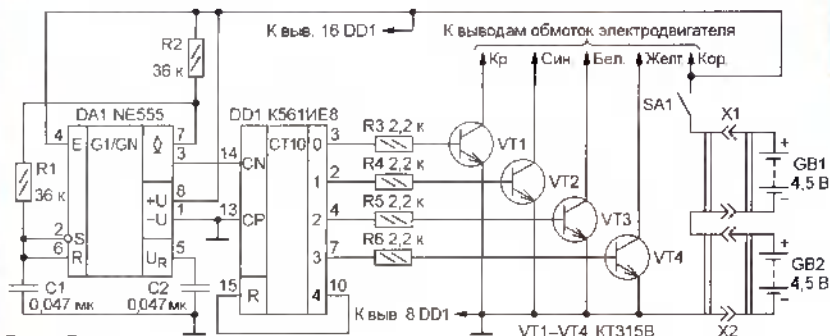


Рис. 2

Но оказалось, есть и еще кое-что, что может неожиданно стать полезным... Однажды, разбирав накопители на жестких дисках (винчестеры) таких системных блоков, я обнаружил внутри пару изящных дисков. Раздумывая, где бы их применить, подвесил один на нитке, и оказалось, что при легком постукивании он издает чистый и прозрачный звук, очень напоминающий колокольный звон. Так родилась идея сконструировать на основе таких дисков миниатюрную звонницу (рис. 1), о которой и пойдет речь далее.

Принцип действия устройства прост: толкатель, закрепленный на роторе работающего шагового электродвигателя, последовательно отклоняет подвешенные диски от положения равновесия, заставляя их колебаться и ударяться о боковые грани его корпуса. В конструкции применен шаговый двигатель от дисковода гибких магнитных пятидюймовых дисков. Его статор содержит пару обмоток с отводами от середины. Выводы одной из них выполнены проводами красного и белого цветов, другой — синего и желтого, отводы — коричневого.

На рис. 2 изображена схема питания двигателя от источника постоянного тока. Требуемую последовательность подачи напряжения на полуобмотки статора формирует устройство, состоящее из тактового генератора на таймере DA1 и счетчика DD2. На его выходах 0—3 (выводы 3, 2, 4, 7) последовательно появляются импульсы, управляющие

цикл повторяется. Частоту вращения ротора можно изменить подбором конденсатора C1.

Детали этого варианта устройства монтируют на печатной плате (рис. 3) из односторонне фольгированного стеклотекстолита. Все резисторы — МЛТ, С2-33, конденсаторы — КМ. Для питания используют две соединенные последовательно плоские батареи типоразмера 3R12 (3336) напряжением 4,5 В.

Схема питания шагового двигателя переменным током значительно проще (рис. 4) — понадобятся только понижающий трансформатор T1 (практиче-

ски любой с напряжением на вторичной обмотке 9 В при токе 50 мА) и два конденсатора (C1, C2), обеспечивающие необходимый для создания врачающего момента сдвиг фаз напряжения на обмотках. Однако этот вариант питания имеет и существенные недостатки: невозможность изменения частоты вращения ротора и "привязка" к розетке сети.

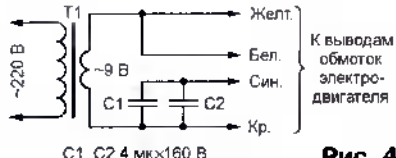


Рис. 4

Основу конструкции — коробчатое шасси (см. рис. 1) — склеивают из непрозрачного листового полистирола или органического стекла толщиной 3...4 мм (если материал прозрачный, его окрашивают изнутри нитрокраской). В средней части верхней стенки сверлят два отверстия под винты крепления электродвигателя. Перед его установкой на место вывинчивают из статора два расположенных по диагонали винта, заменяют их более длинными (на толщину стенки) и закрепляют ими двигатель на наружной стороне шасси. Для подвески дисков используют две П-образные скобы, согнутые из стальных прутков диаметром 4 мм с нарезанной на концах резьбой M4. На шасси их закрепляют гайками M4. Диски подвешиваются на тонкой капроновой леске с таким расчетом, чтобы между ними и боковинами статора двигателя образовался зазор 5...9 мм. В качестве толкателя дисков используют винт M3 длиной 25...40 мм, вкрученный в головку ротора. Смонтированную плату с батареей питания первого варианта и понижающим трансформатором с фазо-сдвигающими конденсаторами второго устанавливают в подвале шасси.

Редактор — В. Фролов, графика — В. Фролов, фото — автора

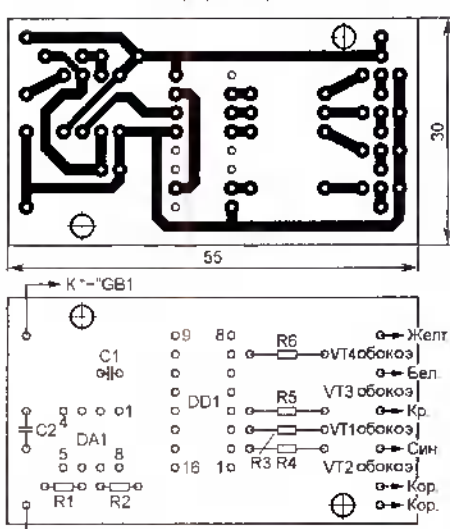


Рис. 3

тел. 607-68-89

E-mail: mail@radio.ru

РАДИО

При содействии Союза радиолюбителей России

ЖУРНАЛ В ЖУРНАЛЕ

Александру Степановичу Попову посвященные...

В марте этого года исполнилось 150 лет со дня рождения Александра Степановича Попова. Естественно, что эта дата широко отмечалась в радиолюбительском эфире. Из городов страны, с которыми была связана его жизнь и деятельность, вышли в эфир мемориальные радиостанции. Были учреждены несколько радиолюбительских дипломов и вымпелов, посвященных этой памятной дате. Прошла совместная радиоэкспедиция Главного радиочастотного центра страны и Союза радиолюбителей России на остров Гогланд, история которого тесно связана с историей РАДИО.

Редакция журнала "Радио" в марте организовала международные соревнования по радиосвязи на коротких волнах, участники которых своей работой в эфире выразили глубокое уважение к памяти Александра Степановича Попова. Отчеты об участии в них в редакцию прислали операторы 296 индивидуальных радиостанций и команды 21 коллективной радиостанции из 16 стран и территории мира (по списку диплома DXCC).

В группе индивидуальных радиостанций, работавших только телеграфом, лучшим был немецкий коротко-

волновик Аксель Шерникуа (DL6KVA) из Ростока. В группе SSB-стов победил Алексей Попов (UA6UDV) из поселка

Лиман Астраханской области. Среди тех, кто работал как телеграфом, так и телефоном, впереди Александр Суханов (RZ9OO) из Новосибирска.

У команд коллективных радиостанций на первое место вышел молодежный коллектив радиостанции UA9UZZ из Кемерова. В этой команде операторами были Сергей Свердлов (RK9UE), Евгений Капранов (UA9UIV) и Елена Шергова (RK9UIV).

В группе наблюдателей лучшим был болгарский SWL Илья Гетзов (L2ZF319) из Поликараште. Он хорошо знаком нашим коротковолновикам по активной работе во многих международных соревнованиях как LZ4UU.

Среди мемориальных радиостанций, работавших в честь 150-летия со дня рождения А. С. Попова, лучший результат показала команда R150IP из Удомли Тверской области. В соревнованиях ее работу обеспечили Андрей Горшков (RV3ID), Владимир Лактионов (RV3IN) и Николай Журавлев (UA3ICV).

В таблице по зачетным группам приведены результаты участников (место, позывной, число связей и число очков).



За участие в мемориальных соревнованиях, посвященных 150-летию со дня рождения

А. С. Попова

РАДИО

Фото: А. С. Попов

Результаты участников POPOV MEMORIAL CONTEST

SINGLE-OP CW		20	RW6IUV/6	119	4039	41	UT2LG	89	2093	62	UA1ORL	62	2072	83	RA3NC	44	1394		
1	DL6KVA	201	6893	22	UN8PT	111	3907	43	RW4AD	87	2874	63	UU7JF	63	2060	84	RL9YF	43	1377
2	RA9JP	192	6687	23	DJ4YE	110	3869	44	4K9W	73	2764	65	UA9FEX	60	2051	85	UT3WJ	39	1367
3	RT3T	197	6518	24	RA3EF	115	3855	45	RN4AO	83	2759	66	RA6MS	61	2028	86	UN5C	38	1329
4	UA4CCG	198	6411	25	RA3ZC	115	3833	46	RA1QD	87	2746	67	DL9LM	55	1967	88	RA4CW	41	1275
5	LY5W	189	6341	26	DL9ZP	108	3746	47	UA4FCO	86	2722	68	RU3XF	62	1937	89	UN7EX	38	1241
6	UA2FL	180	5183	27	RW9FTM	107	3728	48	US3IP	83	2721	69	RZ1OK	57	1871	90	FX3MM	37	1202
7	RA9AP	174	5875	28	RW3ZC	104	3558	49	RA3MU	84	2693	70	UN8FM	54	1853	91	RN1AN	35	1191
8	LY1CM	173	5734	29	RW0AJ	99	3482	50	RK6AX	78	2558	71	U3DI	56	1804	92	RL3XB	34	1155
9	RW9CW	155	5159	30	UX2IJ	103	3421	51	RZ6AK	74	2511	72	UT6SQ	52	1774	93	RV3PN	36	1151
10	RX3AJ	156	5087	31	RA2FN	98	3336	52	RA3BQ	79	2453	73	RW6CW	54	1745	94	US5VX	36	1148
11	RX0AW	141	5042	32	RN3QP	103	3320	53	RK3FY	78	2436	74	RV6LX	49	1651	95	FX0QA	32	1080
12	RA6MQ	143	4639	33	RA3YZ	98	3308	54	RZ3ABF	74	2420	75	YL2HK	49	1586	96	RL4CS	29	1048
13	UA9JZR	133	4547	34	EU1DZ	95	3260	55	UA3AKI	72	2359	76	YL3DX	45	1559	97	PM4AA/9	31	1046
14	UA4ALI	136	4503	35	UA3QG	101	3214	56	PG7V	70	2337	77	UA4NX	49	1543	98	UT7TA	30	1029
15	UA8BX	123	4313	36	LY2MM	91	3119	57	UA4CBJ	71	2318	78	UA3QR	44	1495	99	LZ7H	34	1023
16	UA9OA	121	4240	37	UW8SM	86	3024	58	RA0AA	64	2248	79	RA9CEX	43	1479	100	RA9OFA	29	954
17	RW3NI	126	4174	38	UX0HO	92	3022	59	UR7UD	64	2131	80	UR4CU	44	1444	101	FX9FW	28	947
18	EL6AA	125	4103	39	UA1CEC	91	2968	60	RV8YK	60	2105	81	RX9DJ	44	1437	102	UA8XBJ	28	877
19	YL2CV	122	4062	40	SE2T	86	2929	61	UA9QF	61	2092	82	UA1OAM	45	1435	103	UA9UOI	29	672

Радиомаяк

Алексей ГАВРИЛОВ, г. Таллин, Эстония

Автор статьи является заядлым грибником и довольно часто ему приходилось попадать в знакомую для многих грибников ситуацию, когда кто-то из компании не выходил из леса в обусловленное время к месту сбора — автомашине. Тогда лес на долгое время оглашался криками, и хорошо, если дело заканчивалось лишь опозданием и нервотрепкой. В такие моменты у автора всегда возникала мысль поставить на автомашину передатчик и снабдить полутчиков простыми малогабаритными радиопеленгаторами. "Последней каплей" послужил случай, когда сам автор в осеннюю пасмурную пору заблудился на болоте, откуда выбрался в течение трех часов. После этого был построен передатчик на 80-метровый диапазон и несколько радиопеленгаторов. С тех пор уже много лет наша компания всегда выходит к месту сбора вовремя. Более того, подобная "игра" пробудила у части молодежи снизившийся в последние десятилетия интерес к такому виду радиоспорта, как "охота на лис". Так что такой поиск автомашины можно рассматривать и как своеобразные тренировки в этом виде спорта.

В настоящей статье описывается один из последних вариантов радиомаяка, работающего в телеграфном режиме. Несмотря на простоту, он обладает хорошей стабильностью в работе и относительно большой выходной мощностью. Принципиальная схема передатчика приведена на рис. 1.

и питание пленгатора. Об устройстве подобного приемника автор расскажет в следующей статье.

Усилитель мощности на транзисторах VT3 и VT4 собран по двухтактной схеме с трансформаторным выходом. Начальное смещение на базах этих транзисторов отсутствует. Выходную

излучения пакета следует пауза. Длительность пакета, определяемую числом "тире", и длительность паузы между пакетами можно регулировать подбором резисторов R5 и R4 соответственно. Для удобства регулировки эти резисторы можно заменить на подстроечные. При указанных на схеме номиналах длительность пакета составляет примерно 20 с, а длительность паузы между пакетами — 45 с.

Основная масса деталей передатчика смонтирована на печатной плате размерами 139×106 мм из фольгированного стеклотекстолита толщиной 1,5 мм. На рис. 2 приведен чертеж платы со стороны печатных проводников. Там же показано расположение на ней радиоэлементов. Все постоянные резисторы в устройстве — МЛТ, переменный — СП4-2. Постоянные конденсаторы — КМ и КСО, подстроечный — КПВ-50, оксидные — желательно с малым током утечки, например танталовые. Прибор PA1 — М4206 с током полного отклонения 100 мА.

Транзисторы устройства установлены на теплоотводах. Теплоотвод транзистора VT1 имеет площадь 25 см², VT2 — 15 см², VT3 и VT4 — по 300 см². Трансформаторы T1 и T2 намотаны на кольцевых магнитопроводах типоразмеров K14×9×5 мм и K23×14×7 мм соответственно из феррита с магнитной проницаемостью 125. Катушка L1 намотана

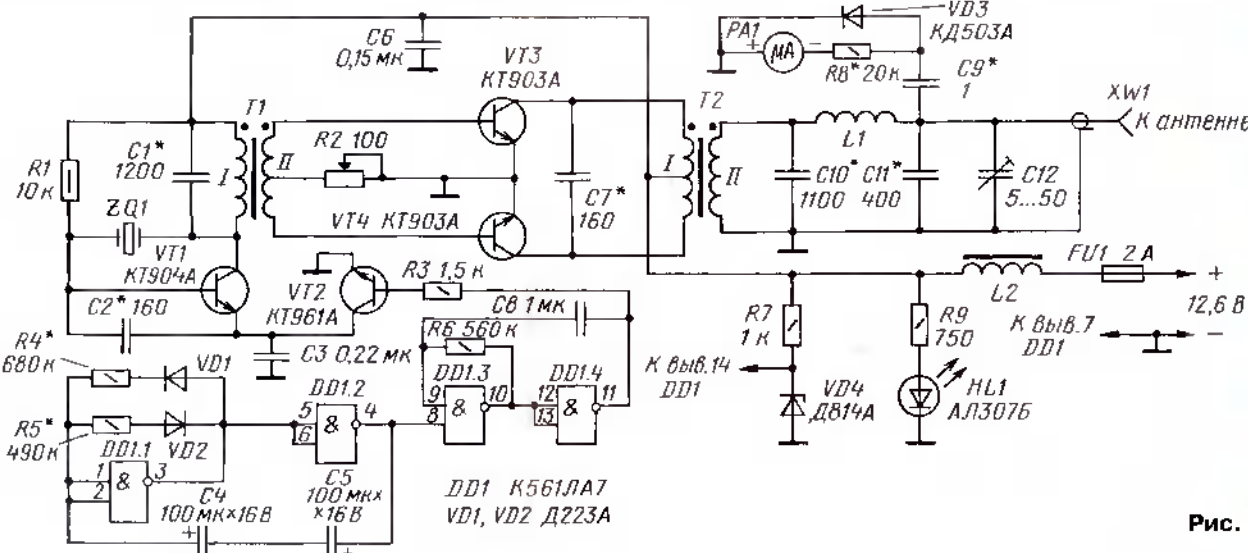


Рис. 1

Задающий генератор собран на транзисторе VT1. Частота его колебаний — 3,686 МГц, стабилизирована кварцевым резонатором ZQ1. Приобрести такой распространенный резонатор не составляет труда. Широко распространены и кварцевый резонатор с частотой, в два раза меньшей, — 1,843 МГц. Отметим, что последний используется в гетеродине нашего радиоприемника-пеленгатора, выполненного по схеме прямого преобразования частоты. Такой приемник не требует предварительной настройки на частоту передатчика, и вся его подготовка к работе сводится к подключению к нему разъема малогабаритного телефона, которым включается

мощность передатчика можно регулировать переменным резистором R2 в пределах 1,5...8 Вт. Вторичная обмотка выходного трансформатора T2 нагружена П-контуром (C10LTC11C12). Прибор PA1 служит индикатором выходного сигнала передатчика. Транзистор VT2 работает в качестве телеграфного ключа. На базу транзистора поступает сигнал с выхода формирователя телеграфной посылки, выполненного на четырех логических элементах микросхемы DD1.

Передатчик периодически излучает пакеты импульсов. Длительность каждого импульса в пакете составляет примерно 0,4 с. Длительность пауз между импульсами в пакете такая же. После

№	Индуктивность, мГн	Число витков	Диаметр провода, мм
T1-I	3	20	0,6
T1-II	3,3	5+5	0,6
T2-I	7,5	4+4	1,3
T2-II	9,2	10	0,8
L1	4,7	13	1,3
L2	290	28	0,8

виток к витку на фарфоровом основании с внешним диаметром 27 мм. Дроссель L2 выполнен на кольцевом магнитопроводе типоразмера K22×9×7 мм из феррита 400НН. Намоточные данные этих узлов и их индуктивность приведены в таблице. Данные последнего

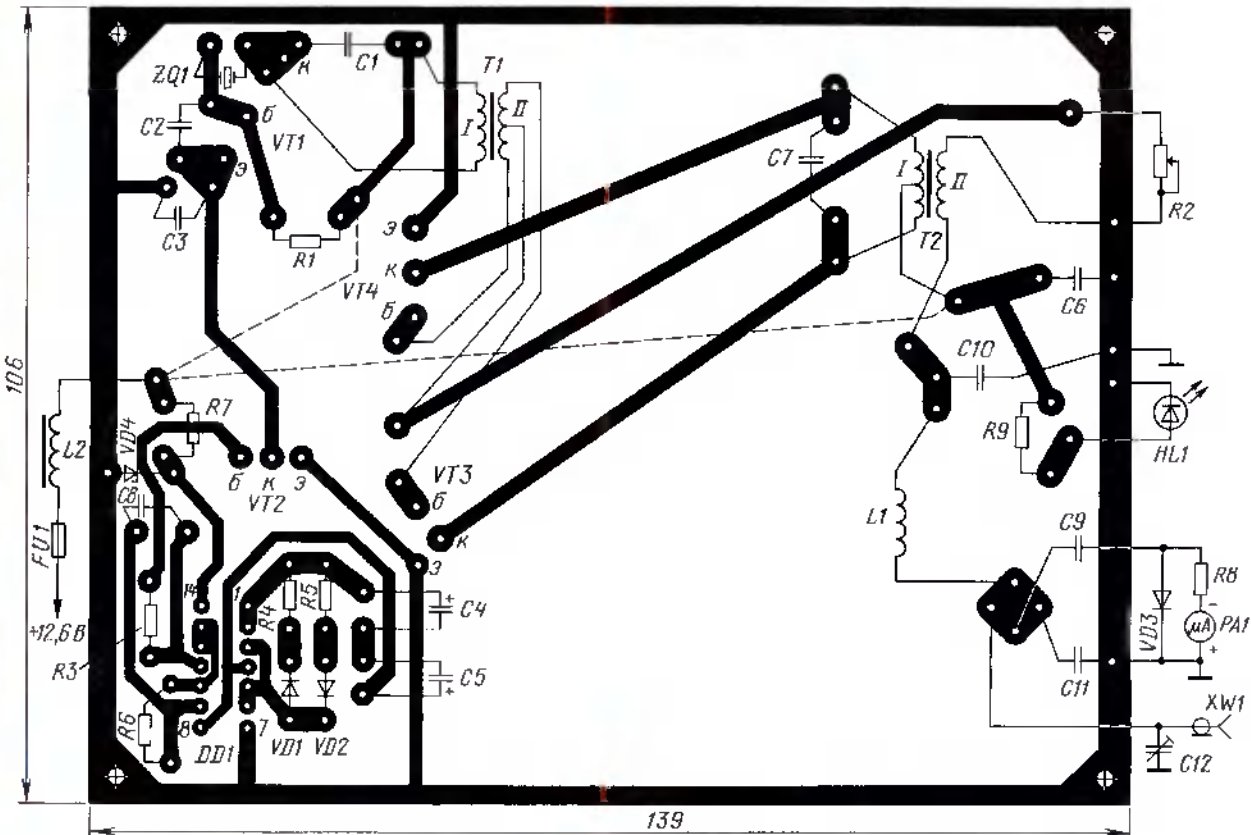


Рис. 2



столбца в таблице не критичны, поскольку автор использовал тот провод, которым располагал и который более-менее подходил для данной цели.

Радиомаяк смонтирован в дюролюминиевом корпусе размерами 210×120×90 мм. Масса устройства составила 1,5 кг. На фотографиях рис. 3, 4 показаны его внешний вид и вид монтажа изделия.

Подавать напряжение питания на передатчик следует только при подключенной к гнезду XW1 нагрузке, в качестве которой использовался эквивалент антенны — резистор с сопротивлением 50 Ом, составленный из четырех соединенных параллельно резисторов МЛТ-2 300 Ом. На схеме емкости конденсаторов С10 и С11 указаны именно для этого варианта.

Подбором конденсатора С2 следует добиться устойчивой работы задающего генератора. Затем, подключив к эквиваленту нагрузки через делитель напряжения осциллограф, подбором конденсаторов С1, С7, С10 и С11 (два последних удобно заменить на время настройки конденсаторами переменной емкости) установить на ней неискаженный синусоидальный сигнал максимальной амплитуды.

В качестве рабочей антенны использовалась штатная автомобильная телескопическая антenna длиной 120 см, питаемая по кабелю с волновым сопротивлением 50 Ом. При этом емкости конденсаторов С10 и С11 были равны 4000 и 270 пФ соответственно. Максимальное эффективное ВЧ напряжение на этой антенне доходило до 30 В.

Передатчик сохраняет работоспособность при снижении напряжения питания до 9,5 В (естественно, при этом уменьшается и максимальная выходная мощность). При увеличении напряжения питания до 14 В выходная мощность возрастает до 10 Вт.

Транзистор КТ904А (VT1) может быть заменен транзисторами КТ907А, КТ934А или импортным, например, 2SC598. В качестве транзистора VT2 можно использовать транзисторы с малым напряжением насыщения "коллектор—эмиттер" и максимальным током коллектора 0,4 А. Например, подойдут транзисторы КТ961А, КТ961В, КТ616А, КТ608В, КТ630А, 2SC2036. Транзисторы КТ903А (VT3, VT4) заменимы на КТ903Б,

KT902A, KT805A, 2SC517. Диоды D223A (VD1, VD2) могут быть заменены практически любыми кремниевыми диодами. В качестве диода VD3 подойдет любой ВЧ кремниевый диод.

От редакции. Напоминаем читателям, что при работе с устройствами, использующими радиочастотный спектр, необходимо руководствоваться положениями Федерального закона от 07.07.2003 № 126-ФЗ "О связи", иными законодательными актами РФ, правовыми актами Президента РФ и Правительства РФ, касающимися регулирования использования радиочастотного спектра. С этими документами можно ознакомиться на сайте Главного радиочастотного центра РФ по адресу <www.grfc.ru>.

Редактор — С. Некрасов, графика — Ю. Андреев.
Фото — автора

Рис. 4

Защита аппаратуры от превышения напряжения питания

Аркадий ПРОСКУРЯКОВ (UA3URB), г. Иваново

Приобретая дорогостоящую импортную связь аппаратуру (впрочем, и не только импортную), необходимо подумать о том, как защитить ее в процессе эксплуатации от повреждения, например, при пробое выходного регулирующего транзистора стабилизатора питания. В этом случае все напряжение, которое присутствует на слаживающем конденсаторе, включенном после диодного моста выпрямителя

пробое также работает на перегорание предохранителя, и, как правило, если допустимый ток стабилитрона много меньше тока перегорания предохранителя, такой стабилитрон приходится заменять вместе с предохранителем.

Появившиеся в последнее время в продаже компактные реле китайского производства с максимально допустимым током коммутации до 20 А при напряжении 14 В позволили автору

ходном напряжении стабилизатора 13,8 В (номинальное значение) протекающий через обмотку реле ток не превышает 20 мА. В случае повышения напряжения питания до некоторого недопустимого значения увеличивается ток в обмотке и реле срабатывает, размыкая своими контактами цепь питания эксплуатируемого аппарата. Повторное включение устройства возможно только при снижении напряжения на выходе источника питания до уровня значительно ниже номинального из-за наличия гистерезиса переключения реле. Подбором резистора R1 устанавливают напряжение, при котором реле K1 срабатывает. Недостатком данного устройства защиты является значительное потребление им тока в дежурном режиме, но если аппарат стационарный, например радиостанция, и потребляет в режиме приема значительно больший ток, то с этим недостатком можно смириться.

Схема второго устройства, построенного на аналоге динистора, изображена на рис. 2. Оно несколько сложнее, но потребляет в дежурном режиме ток не более 1 мА. Напряжение, при котором происходит открывание динистора, а следовательно, и переключение реле, определяет сопротивление резистора R3. При указанном на схеме номинале напряжение срабатывания — около 15,5 В. Диод VD1 служит для защиты аппарата в случае несоблюдения полярности при подключении источника питания (переполюсовке).

Реле K1 — типа SRA-12VDC-CL. Измеренный ток срабатывания — 30 мА, сопротивление обмотки — 240 Ом, максимальный ток коммутации (если верить надписи на корпусе) при напряжении 14 В — 20 А. Печатная плата устройства изготовлена из односторонне фольгированного стеклотекстолита. На рис. 3 и рис. 4 приведены два варианта платы: одна — для радиоэлементов с выводами; вторая, меньшего размера, рассчитана на установку резисторов R2 и R4 для поверхностного монтажа со

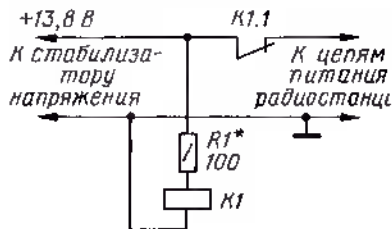


Рис. 1

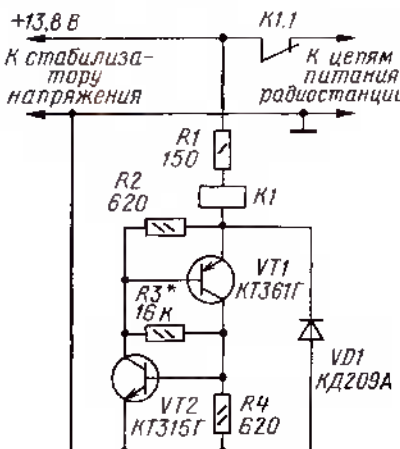


Рис. 2

стабилизатора, попадет в цепь питания аппарата. Последствия этого, как правило, плачевны... Так же опасна и переполюсовка питания, хотя на этот случай в некоторых импортных аппаратах фирма-производитель устанавливает мощный диод в обратном включении, работающий на перегорание предохранителя в цепи питания. Некоторые радиолюбители для защиты своего аппарата от превышения напряжения устанавливают в цепь питания мощный стабилитрон с напряжением стабилизации, несколько превышающим допустимое максимальное напряжение питания прибора. Этот стабилитрон при

изготовить простые устройства защиты многократного действия, лишенные вышеуказанных недостатков. Схема одного из них показана на рис. 1. Обмотка реле K1 подключена к выходу источника питания через резистор R1, и при вы-

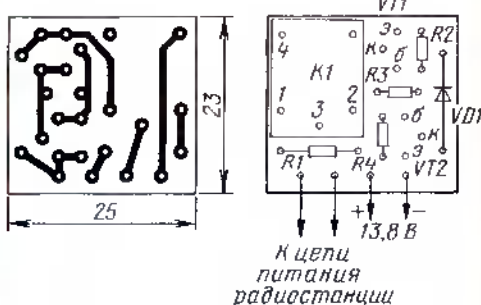


Рис. 3

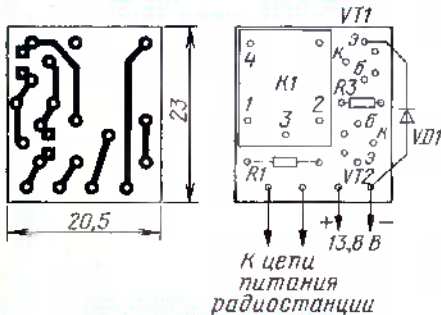


Рис. 4

стороны печатных проводников. Нумерация выводов реле на печатной плате: 1 и 2 — обмотки; 3 и 4 — нормально замкнутые контакты.

Работа устройства защиты на аналоге динистора была неоднократно проверена с радиостанцией ALINCO DR-140 при максимальной выходной мощности 36 Вт и токе до 9 А (рис. 5).

Такой ток контакты реле выдерживают normally.

Для подбора резистора R3 следует установить его с номиналом 18 кОм, параллельно ему подключить переменный резистор 1 МОм и подстроить по напряжению отсечки. Отпаять переменный резистор, измерить его сопротивление и со стороны проводников параллельно R3 аккуратно припаять планарный резистор ближайшего номинала. Плату обмотать скотчем и поместить в свободную полость в трансивере.

Отредакции. Следует иметь в виду, что предложенные устройства эффективны лишь при значительном и резком повышении напряжения. При медленном его изменении вблизи порога срабатывания может наблюдаться дребезжание контактов реле и их искрение с опасным для питаемого прибора многократным включением и выключением напряжения.

Редактор — С. Некрасов, графика — Ю. Андреев, фото — автора

Наша "УКВ" история

Восстанавливать историю радиолюбительства, даже относительно недавнюю, оказывается совсем непросто. Вот, например, любительская радиосвязь на ультракоротких волнах. Хотя она была в нашей стране и в военные годы, активное ее развитие в СССР началось примерно 50 лет назад — с середины 50-х годов прошлого века. Долгие годы единственным "хранителем" истории радиоспорта в стране в основном был только журнал "Радио". Если в журнале публиковались материалы о чемпионатах, всесоюзных и других соревнованиях, значит узнать о том, как они проходили и какие были их итоги, можно и сегодня, повозившись в архивах. Если нет (а журнал не мог физически вместить в себя всю массу этой информации), она сохранялась лишь в памяти их участников.

"Информационные материалы", которые со временем стали издавать Центральный радиоклуб СССР имени Э. Т. Кренкеля, стали серьезным подспорьем в сохранении истории радиоспорта. Они рассыпались во все

радиоклубы страны. Но события последних двух десятилетий нанесли практически непоправимый удар по этим "хранителям древности". Большая часть радиоклубов исчезла, а оставшаяся не очень, похоже, заботилась об



изация ультракоротковолновых диапазонов в СССР и на постсоветском пространстве, пришлось немало поковыряться и в подшивках журнала "Радио", и довоенного "Радиофронта". Редакция журнала "Радио", в которой сохранились эти журналы (довоенные — частично), помогла ему решить эту часть задачи. Остальное пришлось дополнять, связываясь с участниками событий тех лет, и по крупицам восстанавливать информацию, не попавшую в печатные издания. А иногда и с их родственниками, сохранившими архивы уже ушедших от нас радиолюбителей.

И вот результат этой работы — вышла из печати книга "История любительской радиосвязи на УКВ", в которой предпринята попытка собрать воедино и изложить хронологию зарождения, становления и дальнейшего развития любительской радиосвязи и соревнований по радиосвязи на УКВ на территории СССР, а также в нынешних государствах СНГ.

Приятно отметить, что есть радиолюбители, которым не безразлично сохранение истории радиолюбительства, и без финансовой помощи которых конечный продукт этой работы — книга UY5XE — мог и не увидеть свет.

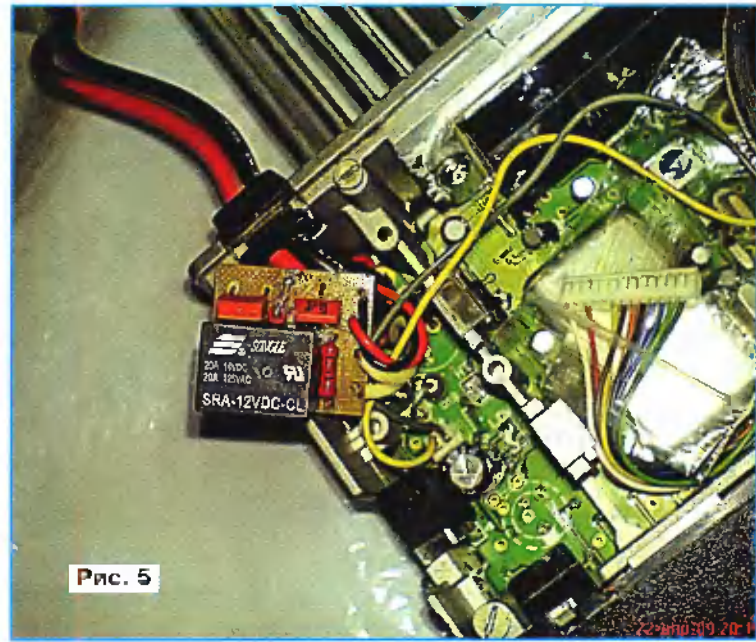


Рис. 5

Полосковый делитель мощности с лицевой связью

В. ВАСИЛЬЕВ, г. Оренбург

Хорошо известные полосковые направленные ответвители с боковой связью позволяют направить во вторичную линию лишь незначительную часть мощности волны, распространяющейся в первичной линии. Коэффициент связи между находящимися рядом в одной плоскости центральными проводниками первичной и вторичной линий для этого недостаточен. Увеличить его

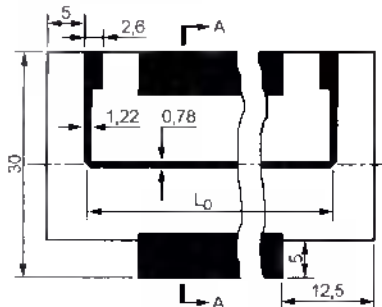


Рис. 1

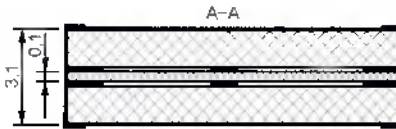


Рис. 2

можно, лишь наложив один плоский проводник на другой через изолирующую прокладку. Получившееся устройство называют направленным ответителем с лицевой связью. По такому принципу и построен предлагаемый ответвитель с переходным затуханием 3 дБ — делитель мощности входного сигнала на две равные части с развязкой между каналами 15...40 дБ. Фазовый сдвиг между выходными сигналами двух каналов — 90°.

Делитель состоит из двух одинаковых печатных плат из фольгированного с двух сторон стеклотекстолита толщиной 1,5 мм. Рисунок печатных проводников на одной из сторон каждой платы показан на рис. 1, металлизация вторых сторон сохранена полностью — она служит внешним проводником симметричной полосковой линии.

Через прокладку из стеклотекстиля толщиной 0,1 мм платы наложены одна на другую сторонами печатных проводников так, чтобы их центральные участки шириной 0,78 мм и длиной L_0 совпали как можно точнее, а боковые участки шириной 1,22 мм были направлены в разные стороны. Над окончными участками каждого центрального проводника шириной 2,6 мм диэлектрик противоположной ему платы удален. Образовавшиеся здесь отрезки несиммет-

ричной полосковой линии с волновым сопротивлением 50 Ом образуют порты (входы и выходы) устройства.

Разрез этой конструкции по А—А изображен на рис. 2 (без соблюдения масштаба). Оставленные по краям каждой платы широкие участки металла служат своеобразными прокладками, предотвращающими деформацию плат при сжатии. Размеры этих участков не имеют особого значения. Главное, чтобы зазоры между ними и центральными проводниками были симметричными и в несколько раз больше толщины стеклотекстолита, из которого платы изготовлены. Эти участки и сплошная металлизация свободных от печатных проводников сторон плат соединены между собой медьной фольгой, которой опаян почти весь периметр устройства.

Длину участка связи L_0 в миллиметрах можно определить по формуле

$$L_0 = K \left(\frac{300 \cdot 10^3}{f_{\min}} \right) \cdot \frac{1}{\sqrt{\epsilon_r}}$$

где f_{\min} — минимальная рабочая частота делителя, МГц; ϵ_r — относительная диэлектрическая проницаемость для стеклотекстолита равна 5. Значения коэффициента К при различной допустимой неравномерности коэффициента деления мощности в интервале от минимальной до максимальной (f_{\max}) частоты приведены в таблице. Там же даны расчетные значения L_0 при $f_{\min} = 350$ МГц.

Неравномерность, дБ	$\frac{f_{\max}}{f_{\min}}$	K	L_0 , мм
0,1	1,4752	0,202	77,4
0,2	1,7377	0,1826	70,0
0,5	2,4329	0,1456	55,8
1	3,68	0,1068	40,9

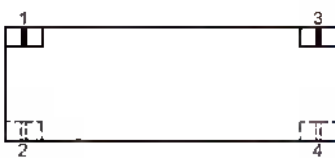


Рис. 3

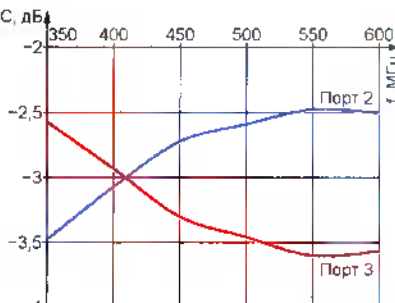


Рис. 4

Пользуясь формулой и таблицей, можно рассчитать делитель на любую частоту. Но его максимальная рабочая частота ограничена значением около 2000 МГц, поскольку выше потери в стеклотекстолите становятся неприменимыми.

При экспериментальной проверке делителя мощности входной сигнал подавался на его порт 1 (расположение портов показано на рис. 3). Выходные сигналы измерялись на согласованных нагрузках, подключенных к портам 2 и 3. К порту 4 также была подключена согласованная нагрузка (50 Ом), поглощающая сигналы, происхождение которых связано с неидеальностью делителя и его основных нагрузок. По результатам проверки были построены графики зависимости коэффициентов связи портов 2 и 3 с портом 1 от частоты, показанные на рис. 4. Они свидетельствуют о том, что даже изготовленный вручную с большими погрешностями делитель имеет неплохие параметры.

Редактор — А. Долгий, графика — А. Долгий

НА ЛЮБИТЕЛЬСКИХ ДИАПАЗОНАХ

Соревнования

В этом году соревнования "Память" будут проходить с 05.00 до 09.00 UTC 19 декабря. Они проводятся на диапазонах 10, 15, 20, 40 и 80 метров. Виды излучения — CW и SSB. К участию в них приглашаются коротковолновики всех стран мира.

Зачет производится только по всем диапазонам (отдельно CW, SSB и MIXED) в пяти подгруппах: радиостанции с одним оператором, работающие в память о друзьях и наставниках; радиостанции с несколькими операторами, работающие в память о "замолчавшем ключе"; все остальные радиостанции с одним оператором; все остальные радиостанции с несколькими операторами: наблюдатели.

При проведении соревнований передается RS(T) и возраст оператора. Коллективные радиостанции передают средний возраст операторов команды (не менее чем по двум из операторов). Участники соревнований, пожелавшие почтить память своих друзей или учителей, могут передавать дополнительные очки. Пример: UA3WW DE RW3KKK 59927 UA3VCS 33 (27 — возраст RW3KKK, 33 — число лет, которое прожил UA3VCS). В память об одном и том же человеке могут работать любое число радиолюбителей. Согласовывать работу в память о друзьях и учителях ни с кем не надо. В течение соревнований можно работать в память только об одном коротковолновике. Участники могут передавать в контрольном номере позывной коллектива радиостанции (бывший когда-то или даже действующий) и через дробь после него букву "U" (У — учителя) плюс соответствующие цифры возраста SK (ее начальника).

Очки начисляются в соответствии с возрастом в принятом контрольном номере. Число очков за QSO со станциями, работающими в память о коллегах, определяется суммой двух возрастов из контрольного номера. Повторные связи разрешаются на разных диапазонах, а в смешанном зачете — на одном, но разными видами работы.

Отчеты рекомендуется предоставлять в виде файла в формате EPMK или Cabrillo. Файл отчета присоединяется к письму, а в теме письма (subj) указываются только название соревнований и позывной участника. Например: RADIO-MEMORY UA3XXX. Зачетную подгруппу и любые другие данные здесь приходить не надо. В каждом письме надо отправлять только один отчет. Бумажные распечатки отчетов в этом году тоже принимаются.

Шаги в будущее:

вновь открывшиеся обстоятельства

Александр ГОЛЫШКО, канд. техн. наук, г. Москва

пытаешься увидеть в них наши будущие достижения.

Альберт был неправ?

*"Где умирает надежда,
там возникает пустота".*

Леонардо да Винчи

Сдвигая эпохи

Все, о чем мы говорили в прошлый раз, официально считается "лженаукой", хотя в ней есть попытки объяснять окружающий нас мир чуть с других ("неофициальных") позиций, причем не только теоретически, но и практически. Особенно это касается эфира. Ведь в эпоху Эйнштейна эксперименты показали, что никакого сверхтонкого межзвездного газоэфира нет, а свет и радиоволны распространяются в пустом пространстве. Правда, само понятие "пустотапространство" оказалось не таким простым, ибо может не только проводить свет и радиоволны, но и искривляться под действием мощной гравитации звезд. Вблизи сверхмассивных "черных дыр" пространство искривается так, как не снилось даже самым сумасшедшем художникам-сюрреалистам, и даже ученому человеку трудно понять, что там происходит в действительности. Быть может, для понимания нужны другие идеи?

Нетрудно заметить, что, к примеру, машина Хаэронимуса улавливала те же эффекты, что и лозоходцы, и группа Генриха Силанова. Или что эффект профессора Мышкина соединяет в логическую цепь экстрасенсов, целителей и астрологов со всей Природой на базе физики. А Джон Кили не только научился искусству "левитации", которым владеют тибетские монахи, но и подвел под него теоретическую базу. Причем индийские йоги могут проделывать все то же самое, научившись лучше управлять своим телом (как, впрочем, и другие духовно развитые люди). А Никола Тесла открыл, по-видимому, неисчерпаемый источник энергии, хотя побоялся доверить его алчному человечеству. Впрочем, Хаэронимус тоже осознавал неограниченные возможности своей машины и потому колебался и не захотел рассказать про нее все, что знает.

Часто получается и так, что новые открытия и возникающие на их основе гипотезы (например, о том, что эфир — отнюдь не газ) не противоречат как отдельным положениям религиозных учений, так и принципам материального единства мира, к которому, как

представляется, и должна стремиться человеческая наука в широком смысле. Но все это довольно трудно воспринимается представителями фундаментальной науки. Впрочем, подобные ситуации уже встречались. Точно так же теория относительности воспринималась приверженцами классической физики, неизменной со времен Ньютона. Но и она, разумеется, не догма, потому что знания человечества не стоят на месте.

Стоит обратить внимание и на то, что практически все мировые религии, духовные верования, секретные общества и "учения" шаманов-абorigенов настаивают на том, что человечество совершил однажды спонтанный беспрецедентный скачок в знании (этакий Сдвиг Эпох), в материальном и духовном развитии — буквальное преобразование материи, энергии и сознания на всех уровнях. Поскольку считалось, что многие культуры или группы, тысячелетиями предлагавшие эту информацию, не пребывали в прямом контакте друг с другом (такие, как ранние христиане, шаманы-абorigены Австралии и аборигенные народы Мезоамерики), не плохо было бы узнать, как все они пришли к одному и тому же пониманию. Воздавая должное истинной ценности их учений, представляется, что сущности, достигшие высших уровней сознания (такие, как Иисус, Будда, Мухаммед, Кришна, Виракоча и др.), систематически учили этой информации всех желающих слушать.

Впрочем, предсказываемое тысячелетиями время Сдвига Эпох нуждается в критической массе — времени, когда новая информация станет настолько сильной, что ее примут. Здесь мы не будем углубляться в теории и гипотезы, ибо официально непризнанных объяснений технологического единства мира существует множество: торсионные поля, вакуумные домены, единицы сознания, вибрации эфира и т. п. (как, впрочем, нет никаких четких доказательств, что наш мир — не программа в оперативной памяти чьего-то суперкомпьютера). Быть может, с известной долей допущения каждая из теорий имеет право на жизнь. Мы же будем по большей части интересоваться выводами,

Недавно физики-теоретики из британского Университета Сандерленда выдвинули версию о том, что Большой адронный коллайдер (LHC), построенный под эгидой CERN, не сработал не из-за механического отказа, а из-за фундаментальных ошибок, лежащих в основе теории относительности Альберта Эйнштейна, в соответствии с которой и разрабатывался весь проект [1].

А вот еще одно интересное мнение [2]. В феврале 2009 г. руководство CERN собралось на закрытой для посторонней публики конференции "Chamonix'2009" для обсуждения вопроса: как быть дальше? Специалисты были вынуждены признать, что человечество сейчас попросту не готово к Большому адронному коллайдеру. Установка оказалась слишком сложной не только для поддержания ее в рабочем состоянии, но и даже для нормального запуска. Руководству CERN ничего не остается, как прекратить попытки запустить LHC. Разумеется, это решение нигде не афишируется, и публику подготавливают постепенно. В официальных формулировках говорится, что запуск коллайдера откладывается до осени 2009 г. Не исключено, что потом будет объявлено о новой аварии, а там, глядишь, в свете финансового кризиса общество и вовсе позабудет про LHC. Впрочем, когда выйдет эта статья, мы, быть может, уже узнаем, кто был прав.

Задержки и аварии вкупе с финансовым кризисом могут кому-то показаться лишь чередой совпадений, но только не физикам Хольгеру Нильсену и Масао Ниномии. Еще два года назад в своей научной статье "Search for Effect of Influence from Future in Large Hadron Collider", которая была опубликована в престижнейшем журнале "International Journal of Modern Physics A", они предсказали именно такое развитие событий! Согласно их теории, загадочный хиггсовский бозон способен оказывать такое воздействие на окружающий мир, при котором его открытие становится невозможным. А поскольку LHC, по замыслу его создателей, должен был со стопроцентной гарантией найти бозон Хиггса, то получается, что коллайдер просто невозможно будет запустить. Удивительная связь, не правда ли?

Два взгляда на мир

Оставим эти утверждения на совести физиков и заявитников, но ведь в мире действительно были альтерна-

тивные концепции. Собственно, нам давно пора снова обратиться к наследию Николы Теслы.

Исходя из трудов Фарадея и Араго, с одной стороны, и Гальвани и Вольта — с другой, Никола Тесла на основе теории акустических резонаторов Гельмгольца и модифицированной модели эфира лорда Кельвина сумел создать свою оригинальную теорию мира, давшую в опытах поразительные результаты. Исходной аксиомой его теории было то, что всеобщая энергия одной физической системы основывается на законах резонанса колебаний, на совпадении колебаний частей системы. Он считал, что теорию эфира никак нельзя исключить из физики, ибо материю и пространство нельзя полностью разъединить [3].

К примеру, наземленность, по мнению Теслы, — это флюидное состояние, базирующееся на субстанции, наделенной свойствами восприятия и элементами сознания. В математике он был сторонником реалистического подхода, придерживаясь идеи соответствия свойств математических и физических объектов. В экспериментальном подходе к решению проблемы примером для него служил Архимед, утверждавший, что "время необходимо исключить из физики" как лишнее явление. Надо заметить, что еще в XIX веке Герц и Д'Аламбер попытались создать теоретическую физику вне понятия силы, но эта попытка не удалась; Н. А. Козырев следовал в том же русле, но и его теория не достигла уровня лабораторного применения. К примеру, проблема связи силы и времени в физике остается нерешенной.

Эксперименты Теслы в основном состояли в установлении глубинных совместных свойств физических систем, которые необходимо привести в резонанс. Доказательством служит его сложный электромагнитный генератор — башня Ворденклиф (построенная на Лонг-Айленде под Нью-Йорком в 1901—1905 гг.), с помощью которой он мог производить одновременные вибрации ионосферы и земного шара.

Различия взглядов Теслы и Эйнштейна на проблему физической реальности фундаментальны. По мнению Эйнштейна, человеческий опыт относителен, фиктивен и не соответствует подлинной физической реальности. Для Теслы физическая реальность универсальна и пропитывает все уровни космического бытия, т. е. познания истины никаким образом нельзя избежать.

По Эйнштейну, эфир не является реальной категорией, а существует как результат ошибочных научных воззрений. Для Теслы эфир — единое недифференцированное поле, состоящее из времени, пространства и энергии, а результат резонирующих процессов в эфире — рождение материи.

Эйнштейн утверждал, что время — это всего лишь череда явлений, оно не является физической категорией и

фиксируется измерениями в каждой системе. Для Теслы время — реальный алгоритм овеществленной математики и создается из эфира благодаря резонансу физических систем. В эфир же сно и возвращается.

Согласно Эйнштейну, максимальной скорости достигают в вакуме, и это — скорость света, равная 300 тыс. км/с. У Теслы скорость электромагнитных волн не ограничена. Проводимые им опыты и вычисления показывают, что в принципе возможен перенос волн и энергии на любые расстояния, а скорость механических и электрических волн, проходящих сквозь Землю, намного превышает скорость света в вакууме.

В разговорах с друзьями Тесла часто опровергал некоторые из утверждений Эйнштейна, и чаще в отношении кривизны пространства. Он считал, что этим нарушается закон действия и противодействия: "Если в результате огромных гравитационных полей образуется закругленность пространства, то из-за противодействия оно должно было бы выпрямляться".

Впрочем, Эйнштейн был человеком чистой теории, а Тесла — преимущественно экспериментатором. Нет сомнений, что двое ученых встречались и беседовали, но тем не менее Эйнштейн поздравил Теслу с 75-летием, выделив при этом одну из важнейших его заслуг в науке — многофазную систему генераторов и моторов переменного тока (что, быть может, является одним из наименее значительных его открытий). Но дадим слово Николе Тесле.

Спасибо Эйнштейну!

"Вы ошибаетесь, мистер Эйнштейн — эфир существует!" — так называется статья [4], которую мы приводим с небольшими сокращениями.

"Сейчас много говорят о теории Эйнштейна. Этот молодой человек доказывает, что никакого эфира нет, и многие с ним соглашаются. Но, по моему, это ошибка. Противники эфира в качестве доказательства ссылаются на эксперименты Майкельсона-Морли, которые пытались обнаружить движение Земли относительно неподвижного эфира. Их эксперименты закончились неудачей, но это еще не означает, что эфира нет. Я в своих работах всегда опирался на существование механического эфира и поэтому добился определенных успехов.

Что представляет из себя эфир, и почему его так трудно обнаружить? Я долго думал над этим вопросом, и вот к каким выводам я пришел: известно, что чем плотнее вещество, тем выше скорость распространения в нем волн. Сравнивая скорость звука в воздухе со скоростью света, я пришел к выводу, что плотность эфира в несколько тысяч раз больше плотности воздуха. Но эфир электрически нейтрален, и поэтому он очень слабо взаимодействует с нашим матери-

альным миром, к тому же плотность вещества материального мира ничтожна по сравнению с плотностью эфира. Это не эфир бесплотен — это наш материальный мир является бесплотным для эфира.

Несмотря на слабое взаимодействие, мы все же ощущаем присутствие эфира. Пример такого взаимодействия проявляется в гравитации, а также при резком ускорении или торможении. Я думаю, что звезды, планеты и весь наш мир возникли из эфира, когда по каким-то причинам часть его стала менее плотной. Это можно сравнить с образованием пузырьков воздуха в воде, хотя такое сравнение очень приближенное. Сжимая наш мир со всех сторон, эфир пытается вернуться в первоначальное состояние, а внутренний электрический заряд в веществе материального мира препятствует этому. Со временем, потеряв внутренний электрический заряд, наш мир будет сжат эфиром и сам превратится в эфир. Из эфира вышел — в эфир и уйдет.

Каждое материальное тело, будь то Солнце или самая маленькая частица, — это область пониженного давления в эфире. Поэтому вокруг материальных тел эфир не может оставаться в неподвижном состоянии. Исходя из этого можно объяснить, почему эксперимент Майкельсона-Морли закончился неудачно. Чтобы понять это, перенесем эксперимент в водную среду. Представьте, что вашу лодку крутят в огромном водовороте. Попробуйте обнаружить движения воды относительно лодки. Вы не обнаружите никакого движения, так как скорость движения лодки будет равна скорости движения воды. Заменив в своем воображении лодку Землей, а водоворот — эфирным смерчом, который вращается вокруг Солнца, вы все поймете.

В своих исследованиях я всегда придерживаюсь принципа, что все явления в природе, в какой бы физической среде они не происходили, проявляются всегда одинаково. Волны есть в воде, в воздухе..., а радиоволны и свет — это волны в эфире. Утверждение Эйнштейна о том, что эфира нет, ошибочно. Трудно представить себе, что радиоволны есть, а эфира — физической среды, которая переносит эти волны, нет. Эйнштейн пытается объяснить движение света в отсутствии эфира квантовой гипотезой Планка. Интересно, а как Эйнштейн без существования эфира сможет объяснить шаровую молнию? Эйнштейн говорит — эфира нет, а сам фактически доказывает его существование.

Взять хотя бы скорость распространения света. Эйнштейн заявляет — скорость света не зависит от скорости движения источника света. И это правильно. Но это правило может существовать только тогда, когда источник света находится в определенной физической среде (эфире), которая своими свойствами огра-

ничивает скорость света. Вещество эфира ограничивает скорость света так же, как вещество воздуха ограничивает скорость звука. Если бы эфира не было, то скорость света сильно зависела бы от скорости движения источника света.

Поняв, что такое эфир, я стал проводить аналогии между явлениями в воде, в воздухе и в эфире. Как-то раз я наблюдал, как один моряк выпускал из рта дым маленькими кольцами, которые пролетали значительное расстояние. Взяв металлическую банку, я вырезал с одной стороны небольшое отверстие, а с другой — натянул тонкую кожу. Налив в банку чернил, я опустил ее в бассейн с водой. Когда я резко ударил пальцами по коже, из банки вылетали чернильные кольца, которые пересекали весь бассейн и, столкнувшись с его стенкой, разрушались, вызывая значительные колебания воды у стенки бассейна. Вода в бассейне при этом оставалась совершенно спокойной.

— Да это же передача энергии... — воскликнул я.

И вдруг понял, что такое шаровая молния и как передавать энергию без проводов на дальние расстояния. Я создал генератор, который генерировал эфирные вихревые кольца, которые я называл эфирными вихревыми объектами. Я находился в эйфории. Я много чего набрался, не исследовав до конца этого явления, и за это жестоко поплатился. Мне перестали давать деньги на мои исследования, а самое страшное — мне перестали верить. И тогда я решился на свой безумный эксперимент...

Работая с эфирными вихревыми объектами, я понял, что они ведут себя не совсем так, как я думал раньше. Выяснилось, что при прохождении вихревых объектов вблизи металлических предметов они теряли свою энергию и разрушались, иногда со взрывом. Глубокие слои Земли поглощали их энергию также сильно, как и металлы, и я мог передавать энергию только на небольшие расстояния.

Тогда я обратил внимание на Луну. Если послать эфирные вихревые объекты к Луне, то они, отразившись от ее электростатического поля, вернутся обратно на Землю на значительном удалении от передатчика. И тут мне в голову пришла мысль, что если я смогу создать резонансную систему между Землей и Луной, то мощность передатчика может быть маленькой, а энергию можно извлекать очень большую. Из расчета следовало, что так можно полностью разрушить большой город. Тогда я впервые понял, что моя система может быть опасна для человечества, и стал выбирать безлюдное место эксперимента (остановился он на Сибири).

Принцип эксперимента был очень простой. Для того чтобы лучше понять его, необходимо сначала разобраться, что представляют из себя эфирный вихревой объект и шаровая молния. В принципе это одно и тоже. Отличие только в том, что шаровая

молния — это эфирный вихревой объект, который видно, что обеспечивается большим электростатическим зарядом. Это можно сравнить с подкраской чернилами водяных вихревых колец в моем эксперименте в бассейне. Проходя через электростатическое поле, эфирный вихревой объект захватывает в нем заряженные частицы, которые вызывают свечение шаровой молнии.

Чтобы создать резонансную систему Земля—Луна, необходимо было создать большую концентрацию заряженных частиц между ними. Для этого я использовал свойства эфирных вихревых объектов захватывать иноссят заряженные частицы. Генератором в сторону Луны излучались эфирные вихревые объекты. Они, проходя через электрическое поле Земли, захватывали в нем заряженные частицы. Так как электростатическое поле Луны имеет ту же полярность, что и электрическое поле Земли, эфирные вихревые объекты отражались от него и спятьшли к Земле, но уже под другим углом. Вернувшись к Земле, эфирные вихревые объекты снова отражались электрическим полем Земли обратно к Луне и так далее. Таким образом, производилась накачка заряженными частицами резонансной системы. Энергия, усиленная в миллион раз резонансными свойствами системы, в электрическом поле Земли превращалась в эфирный вихревой объект колоссальной мощности. Но это были только мои предположения.

Прочитав после эксперимента в газетах о необычных явлениях, я понял — какое страшное оружие создал. Я, конечно, ожидал, что будет сильный взрыв. Но это была катастрофа (получается, что это был так называемый тунгусский метеорит в 1908 г.)!

После этого эксперимента я твердо решил, что тайна моего изобретения умрет вместе со мной. Конечно, я понимал, что кто-нибудь другой может легко повторить этот безумный эксперимент. Но для этого надо было признать существование эфира, а наш научный мир все дальше уходил в сторону от истины. Я даже благодарен Эйнштейну и другим за то, что они своими ошибочными теориями увеличили человечество с этого опасного пути, по которому шел я. И может быть, в этом их главная заслуга. Может быть, лет через сто, когда разум у людей возьмет верх над животными инстинктами, мое изобретение послужит на пользу людям.

Работая со своим генератором, я заметил одно странное явление. При его включении явно ощущался ветерок, дующий в сторону генератора. Сначала я подумал, что это связано с электростатикой. Потом я решил проверить это. Свернув вместе несколько газет, я зажег и сразу потушил их. От газет повалил густой дым. С этими дымящими газетами я обошел вокруг генератора. Из любой точки лаборатории дым шел к генератору и, поднимаясь над ним, уходил вверх, как в

вытянутую трубу. Когда генератор был выключен — это явление не наблюдалось (в прошлый раз мы рассказывали, как похожий эффект обнаружил в наше время д-р Подклетнов).

Обдумав это явление, я пришел к выводу — мой генератор, воздействуя на эфир, уменьшает силу тяжести! Чтобы удостовериться в этом, я построил большие весы. Сторона тщательно уравновешенных весов, которая располагалась над генератором, быстро пошла вверх. Я машинально выключил генератор. Весы пошли вниз и стали колебаться, пока не пришли в равновесие. После этих опытов я задумал построить летательную машину, которая могла бы летать не только в воздухе, но и в космосе. Принцип работы: установленным на летательной машине генератором в направлении ее полета удаляется эфир. Так как со всех других сторон эфир продолжает давить с прежней силой, то летательная машина начнет двигаться. В такой машине вы не будете чувствовать ускорения, так как эфир не будет препятствовать вашему движению. К сожалению, от создания летательной машины пришлось отказаться. Во-первых, для тайного проведения этих работ у меня нет денег. Но самое главное, в Европе началась большая война, а я не хочу, чтобы мои изобретения убивали! Когда же эти безумцы остановятся?"

Послесловие

Похоже, тот же принцип получения энергии из эфира Тесла использовал в упоминавшемся нами ранее эксперименте с электромобилем. Не правда ли, идеи и изобретения Теслы похожи на достижения Кили (как, впрочем, и судьба).

Никола Тесла, первый великий учений, отказался от нобелевской премии, — человек, которого все физики мира считают и величайшим гением, и величайшим шарлатаном. Он умер в Нью-Йорке, в гостинице "Нью-Йоркер" 7 января 1943 г. Сначала его отпевали по православному обычью, а затем тело было сожжено по буддистскому церемониалу.

Многие рукописи Теслы исчезли, и большую часть опытов не удалось повторить ни в одной лаборатории мира. А, может, это пока и к лучшему?

ЛИТЕРАТУРА

1. **Люльчак Е.** Неоднозначный Эйнштейн. — <<http://www.rbcdaily.ru/2009/05/18/cnews/414780>>.

2. **Иванов И.** Большому адронному коллайдеру грозит полный демонтаж. — <<http://elementy.ru/news/431042>>.

3. **Мазурин Ю. В.** Никола Тесла — славянский гений. — <http://www.invur.ru/index.php?page=proj&cat=neob&doc=tesla_geniy#soderj>.

4. Неизвестная рукопись Никола Тесла. — <<http://istina.rin.ru/uto/text/233.html>>.

НАША КОНСУЛЬТАЦИЯ

ШИРЯЕВ И. Устройство охраны с сигнализацией по телефонной линии. — Радио, 2001, № 6, с. 36, 37.

Печатная плата.

Чертеж возможного варианта платы представлен на рис. 1. На ней размещены все детали, кроме кнопок. Плата рассчитана на применение постоянных резисторов МЛТ, керамических конденсаторов K10-47а (C1—C3, C10) и КМ (C4—C9, C13), оксидных серии ТК фирмы Jamicon (остальные), кварцевого резонатора в корпусе НС-49S и вариостора СН2-1Б 150 В. Для микросхемы DD3 желательно установить розетку (панель). Расстояние между микросхемами DD2 и DD3 выбрано с таким расче-

тром, чтобы в розетку под DD3 можно было установить микросхемы-аналоги в корпусах с 18 и 20 выводами. Не показанные на схеме конденсаторы C14 и

МАРКОВ В. Индикатор присутствия. — Радио, 2009, № 1, с. 51.

Печатная плата.

Индикатор собирают на плате, чертеж которой показан на рис. 3. Все постоянные резисторы — МЛТ, подстроечный R2 — проволочный СП5-2ВЕ или непро-

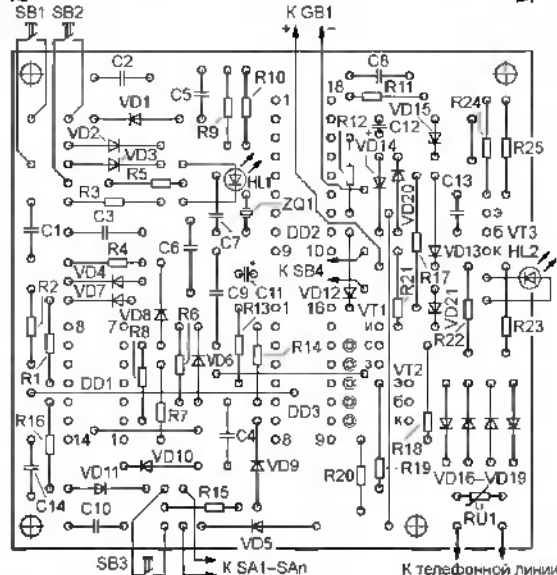
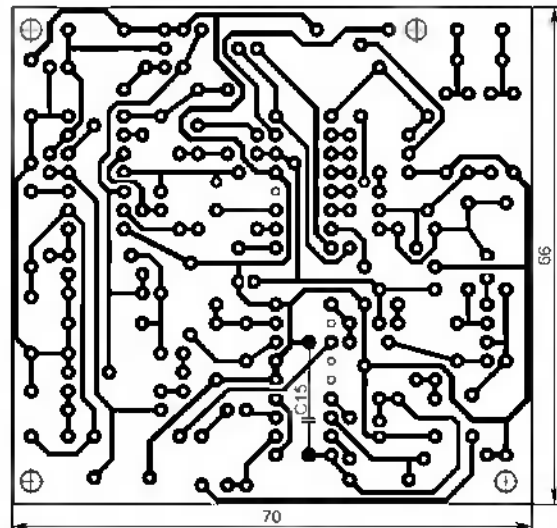


Рис. 1

том, чтобы в розетку под DD3 можно было установить микросхемы-аналоги в корпусах с 18 и 20 выводами. Не показанные на схеме конденсаторы C14 и

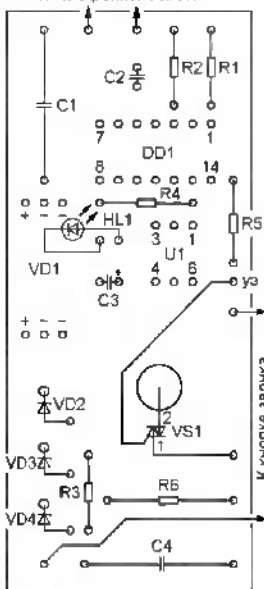
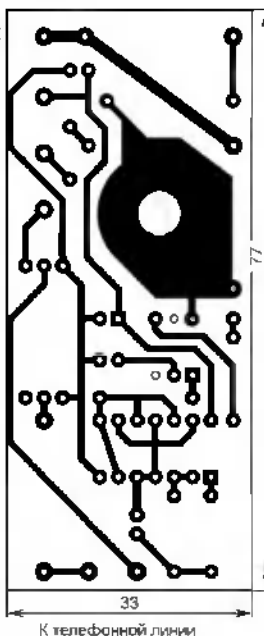


Рис. 2

платы устройства изображен на рис. 2. Она рассчитана на применение резисторов МЛТ, конденсаторов K73-17 (C1, C4), K10-17 (C2) и K50-35 (C3).

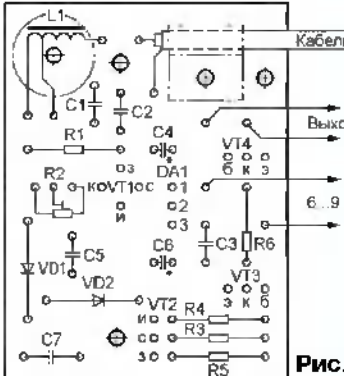
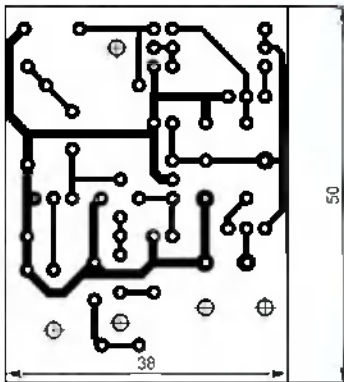


Рис. 3

волочный импортный (например, 3296W), конденсаторы C1, C2 — КД-1, C3, C5, C7 — КМ, остальные — оксидные серии ТК фирмы Jamicon. Коаксиальный кабель закрепляют на плате с помощью хомутика (изображен штрихпунктирными линиями) и винта с гайкой M2. Под головку винта крепления катушки L1 (также M2) подкладывают шайбу диаметром 10 мм из изоляционного материала.

ОБРАТИТЕ ВНИМАНИЕ

АБЗЕЛИЛОВ И. Переговорное устройство на усилителях с Z-состоянием. — Радио, 2007, № 9, с. 50—52 (редактор — А. Долгий).

На чертеже печатной платы устройства (см. рис. 3 в статье) позиционные обозначения резисторов 1R5 и 1R6, 2R5 и 2R6 необходимо поменять местами, а полярность включения оксидного конденсатора 2C3 и диода 3VD4 — изменить на обратную.

СОЛОВЬЕВ М. Приставка "дистофон" для электрогитары. — Радио, 2007, № 12, с. 46—49 (редактор — Л. Ломакин).

На чертеже печатной платы блока питания (см. рис. 7 в статье) полярность включения диода 3VD4 необходимо изменить на обратную.

Редактор — В. Фролов, графика — В. Фролов